

**TUGAS AKHIR**

**ANALISIS FONDASI TIANG PANCANG PADA PROYEK  
PEMBANGUNAN GEDUNG KELAS POLITEKNIK PEKERJAAN  
UMUM SEMARANG**

**Disusun dalam Rangka Memenuhi Persyaratan Penyelesaian Pendidikan  
Program Sarjana Strata Satu (S1) Program Studi Teknik Sipil  
Universitas Islam Sultan Agung**



**Disusun Oleh :**

**Alwi Maharani**

**NIM : 30201900034**

**Fadhilla Noor Damar Djati**

**NIM : 30201900082**

**PROGRAM STUDI TEKNIK SIPIL FAKULTAS TEKNIK  
UNIVERSITAS ISLAM SULTAN AGUNG  
SEMARANG**

**2023**

## LEMBAR PENGESAHAN

### ANALISIS FONDASI TIANG PANCANG PADA PROYEK PEMBANGUNAN GEDUNG KELAS POLITEKNIK PEKERJAAN UMUM SEMARANG



Alwi Maharani

NIM : 30201900034

Fadhillah Noor Damar Djati

NIM : 30201900082

Telah disetujui dan disahkan di Semarang Januari 2023

Tim Pengaji

Tanda Tangan

1. Dr. Ir. H. Soedarsono, M.Si

NIDN : 0620065301

2. Dr. Abdul Rochim, ST, MT

NIDN : 0608067601

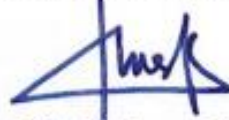
3. Selvia Agustina, ST., M.Eng

NIDN : 0609099001

Ketua Program Studi Teknik Sipil

Fakultas Teknik

Universitas Islam Sultan Agung



Muhamad Rusli Ahyar, ST., M.Eng.

NIDN: 0625059102

## **BERITA ACARA BIMBINGAN TUGAS AKHIR**

No: 03/A.2/SA-T/IX/2022

Pada hari ini tanggal dd-mm-yyyy berdasarkan surat keputusan Dekan Fakultas Teknik, Universitas Islam Sultan Agung perihal penunjukan Dosen Pembimbing Utama dan Dosen Pembimbing Pendamping:

1. Nama : Dr. Ir. H. Soedarsono, M.Si

Jabatan Akademik :

Jabatan : Dosen Pembimbing Utama

2. Nama : Dr. Abdul Rochim, ST. MT

Jabatan Akademik :

Jabatan : Dosen Pembimbing Pendamping

Dengan ini menyatakan bahwa mahasiswa yang tersebut di bawah ini telah menyelesaikan bimbingan Tugas Akhir:

Alwi Maharani

NIM : 3.02.019.00034

Fadhillah Noor Damar Djati

NIM : 3.02.019.00082

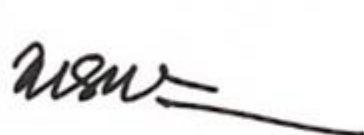
Judul : ANALISIS FONDASI TIANG PANCANG PADA PTOYEK PEMBANGUNAN GEDUNG KELAS POLITEKNIK PEKERJAAN UMUM SEMARANG  
جامعة سلطان عبد الرحمن الإسلامية

Dengan tahapan sebagai berikut :

| No | Tahapan                     | Tanggal       | Keterangan |
|----|-----------------------------|---------------|------------|
| 1  | Penunjukan dosen pembimbing | 16/09/2022    | ACC        |
| 2  | Pengumpulan data            | Oktober 2022  | ACC        |
| 3  | Seminar Proposal            | 10/11/2022    | ACC        |
| 4  | Analisis Data               | November 2022 | ACC        |
| 5  | Penyusunan Laporan          | Desember 2022 | ACC        |
| 6  | Selesai Laporan             | 06/01/2023    | ACC        |

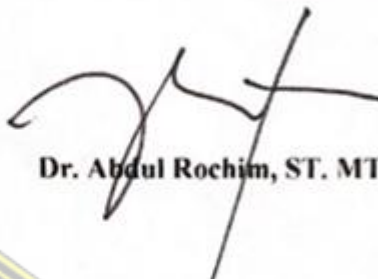
Demikian Berita Acara Bimbingan Tugas Akhir / Skripsi ini dibuat untuk diketahui dan dipergunakan seperlunya oleh pihak-pihak yang berkepentingan

Dosen Pembimbing Pendamping

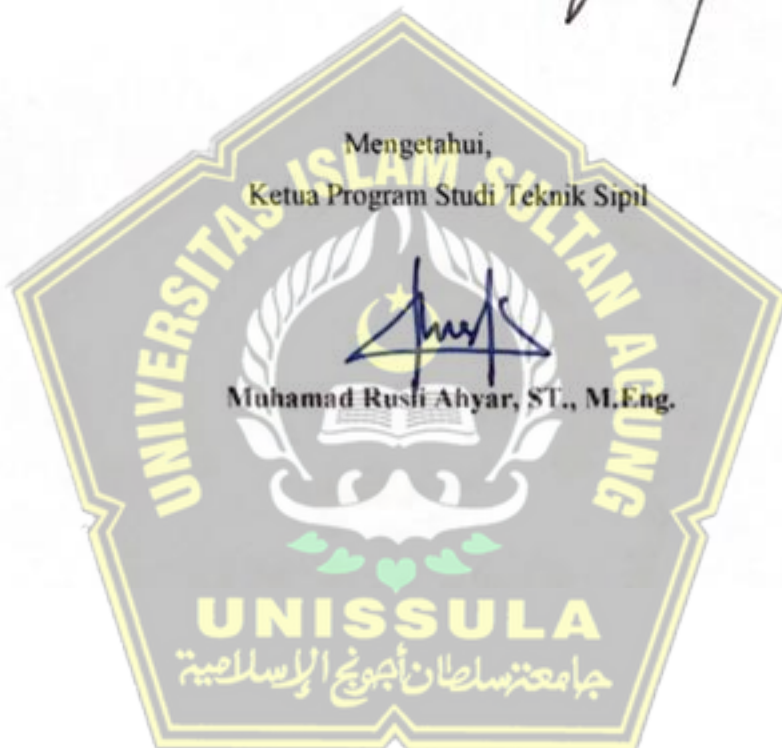


Dr. Ir. H. Soedarsono, M.Si

Dosen Pembimbing Pendamping



Dr. Abdul Rochim, ST. MT



## PERNYATAAN BEBAS PLAGIASI

Saya yang bertanda tangan dibawah ini :

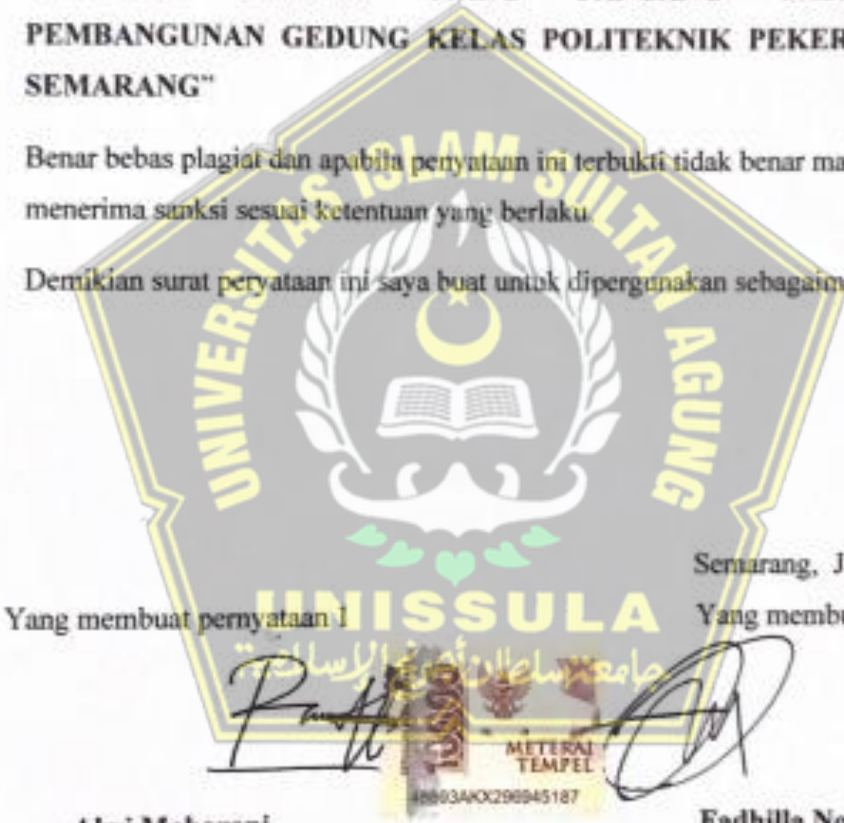
1. Nama : Alwi Maharani  
NIM : 30201900034
2. Nama : Fadhillah Noor Damar Djati  
NIM : 30201900082

Dengan ini menyatakan bahwa Tugas Akhir yang berjudul :

**"ANALISIS FONDASI TIANG PANCANG PADA PROYEK PEMBANGUNAN GEDUNG KELAS POLITEKNIK PEKERJAAN UMUM SEMARANG"**

Benar bebas plagiat dan apabila pernyataan ini terbukti tidak benar maka saya bersedia menerima sanksi sesuai ketentuan yang berlaku.

Demikian surat pernyataan ini saya buat untuk dipergunakan sebagaimana mestinya.



Yang membuat pernyataan 1

Alwi Maharani

NIM : 3.02.019.00034

Semarang, Januari 2023

Yang membuat pernyataan 2

Fadhillah Noor Damar Djati

NIM : 3.02.019.00082

## PERNYATAAN KEASLIAN

Saya yang bertanda tangan dibawah ini :

1. Nama : Alwi Maharani  
NIM : 30201900034
2. Nama : Fadhillah Noor Damar Djati  
NIM : 30201900082

JUDUL : ANALISIS FONDASI TIANG PANCANG PADA PROYEK PEMBANGUNAN GEDUNG KELAS POLITEKNIK PEKERJAAN UMUM SEMARANG

Menyatakan dengan sesungguhnya bahwa Tugas Akhir ini merupakan hasil penelitian, pemikiran dan persiapan asli saya sendiri. Saya tidak mencantumkan tanpa pengakuan bahan – bahan yang telah dipublikasikan sebelumnya atau ditulis oleh orang lain, atau sebagai bahan yang pernah diajukan untuk gelar atau ijazah pada Universitas Islam Sultan Agung Semarang atau perguruan tinggi lainnya.

Apabila dikemudian hari terdapat penyimpangan dan ketidakbenaran dalam pernyataan ini, maka saya bersedia menerima sanksi akademik sesuai dengan peraturan yang berlaku di Universitas Islam Sultan Agung Semarang.

Demikian pernyataan ini saya buat.

Yang membuat pernyataan 1

  
  
**Alwi Maharani**

NIM : 3.02.019.00034

Semarang, Januari 2023

Yang membuat pernyataan 2



**Fadhillah Noor Damar Djati**

NIM : 3.02.019.00082

## MOTTO

كُنْتُمْ خَيْرَ أَمَّةٍ أُخْرِجْتُ لِلنَّاسِ تَأْمُرُونَ بِالْمَعْرُوفِ وَتَنْهَوْنَ عَنِ الْمُنْكَرِ وَتُؤْمِنُونَ بِاللَّهِ وَلَوْلَا إِيمَانَ أَهْلِ الْكِتَابِ لَكَانَ خَيْرًا لَّهُمْ مِنْهُمُ الْمُؤْمِنُونَ وَأَكْثَرُهُمُ الْفَسِيْلُونَ

“Kamu adalah umat yang terbaik yang dilahirkan untuk manusia, menyuruh kepada yang ma'ruf, dan mencegah dari yang munkar, dan beriman kepada Allah. Sekiranya Ahli Kitab beriman, tentulah itu lebih baik bagi mereka, di antara mereka ada yang beriman, dan kebanyakan mereka adalah orang-orang yang fasik”.

(Qs : Ali Imron ayat 110)

مَنْ خَرَجَ فِي طَلَبِ الْعِلْمِ فَهُوَ فِي سَبِيلِ اللَّهِ

“Barang siapa keluar untuk mencari ilmu maka dia berada di jalan Allah ”

(HR.Turmudzi)

يُحِبُّ اللَّهُ الْعَامِلُ إِذَا عَمِلَ أَنْ تُخْسِنَ . رواه الطبراني

“Allah mencintai pekerjaan yang apabila bekerja ia menyelesaiannya dengan baik”.

( HR. Thabranji )

مَنْ أَمْسَى كَا لَا مِنْ عَمَلِ يَدِهِ أَمْسَى مَغْفُرَةً لَهُ . رواه أَحْمَد

“Barang siapa merasa letih di malam hari karena berkerja, maka di malam itu ia

diampuni”.

(H.R. Ahmad )

الصَّلَاةُ عِمَادُ الدِّينِ الصَّلَاةُ مَفْتُحُ كُلِّ خَيْرٍ

(رواه الطبراني )

“Shalat itu adalah tiang agama, shalat itu adalah kunci segala kebaikan”.

( H.R. Tablani)

## **PERSEMBAHAN**

Alhamdulillah, puji syukur kehadirat Allah SWT, Tuhan pemilik jiwa dan alam semesta yang telah melimpahkan rahmat dan karunia-Nya. Sholawat serta salam selalu tercurahkan kepada Nabi Muhammad SAW, keluarganya, sahabatnya dan juga para pengikutnya. Tugas akhir ini saya persembahkan kepada:

1. Kedua orang tua saya, Bapak saya Drs. Alamsyah Juniardi dan Ibu saya Dwi Indah Retno Wulan Sari, atas semua dukungan moral maupun material, kasih sayang, kesabaran dan do'a.
2. Bapak Dr. Ir. H. Soedarsono, M.Si dan Dr. Abdul Rochim, ST. MT selaku dosen pembimbing, serta ibu Selvia Agustina, ST.,M.Eng selaku dosen penguji yang telah meluangkan waktu, tenaga dan pikirannya untuk memberikan bimbingan pada kami agar bisa menyelesaikan tugas akhir ini dengan baik.
3. Seluruh dosen Fakultas Teknik Program Studi Teknik Sipil UNISSULA, terimakasih atas semua ilmunya yang sangat bermanfaat.
4. Keluarga saya kaka – kakak dan adik – adik saya yang selalu menghibur dan telah memberi support kepada saya.
5. Teman – teman dan juga partner laporan tugas akhir saya Fadhillah Noor Damar Djati, terimakasih telah menjadi partner yang terbaik yang tetap kompak satu visi misi sehingga dapat menyelesaikan tugas akhir ini.
6. Teman-teman grup Assalamualaikum saya yang telah memberi support dan menghibur hari-hari saya selama diperkuliahan ini.
7. Semua teman-teman Fakultas Teknik Sipil UNISSULA angkatan 2019, terimakasih atas semua bantuan, perhatian dan semangatnya.

**Alwi Maharani**

**NIM : 3.02.019.00034**

## **PERSEMBAHAN**

Alhamdulilah, puji syukur kehadirat Allah SWT atas segala rahmat dan hidayahNya, sehingga penulis bisa menyelesaikan laporan Tugas Akhir ini. Laporan Tugas Akhir ini saya persembahkan untuk :

1. Kedua orang tua saya, Bapak saya Imron Fahrudin dan Ibu saya Eny Rohmawati, atas semua dukungan moral maupun material, kasih sayang, kesabaran, dan doanya selama ini.
2. Keluarga saya yang selalu mendoakan untuk keberkahan saya dalam mencari ilmu yang bermanfaat.
3. Bapak Dr. Ir. H. Soedarsono, M.Si dan Dr. Abdul Rochim, ST. MT yang telah meluangkan waktu, tenaga dan pikirannya untuk memberikan bimbingan pada kami agar bisa menyelesaikan tugas akhir ini dengan baik.
4. Seluruh dosen Fakultas Teknik Program Studi Teknik Sipil UNISSULA, terimakasih atas semua ilmunya yang sangat bermanfaat.
5. Sahabat sekaligus partner laporan tugas akhir saya Alwi Maharani terima kasih atas segala waktu, usaha, dan semangatnya sehingga dapat menyelesaikan tugas akhir ini.
6. Semua teman-teman Fakultas Teknik Sipil UNISSULA angkatan 2019, terima kasih atas semua bantuan, perhatian dan semangatnya khususnya kepada teman-teman dekat saya, yang selalu menghibur dan selalu ada buat saya.
7. Teman-teman SMA saya yang saat ini masih berjuang dan jarang bertemu, terima kasih telah mendengarkan segala keluh kesah perjalanan awal-akhir kuliah saya.

**Fadhilla Noor Damar Djati**

**NIM : 3.02.019.00082**

## KATA PENGANTAR

Syukur Alhamdulillah, segala puji bagi Allah SWT, karena hanya dengan rahmat dan karunia-Nya laporan Tugas Akhir ini dapat terselasaikan dengan baik tentang “Analisis Fondasi Tiang Pancang Pada Proyek Pembangunan Gedung Kelas Politeknik Pekerjaan Umum Semarang”, guna memenuhi persyaratan dalam menyelesaikan Program Sarjana Teknik Sipil di Universitas Islam Sultan Agung Semarang.

Pada kesempatan ini, penulis hendak menyampaikan ucapan terimakasih yang sebesar-besarnya kepada semua pihak yang telah mendukung dalam penyusunan tugas akhir ini, yaitu:

1. Bapak Ir. H. Rachmat Mudiyono, MT., Ph.D selaku Dekan Fakultas Teknik Universitas Islam Sultan Agung Semarang.
2. Bapak M. Rusli Ahyar, ST., M.Eng selaku Ketua Program Studi Teknik Sipil Fakultas Teknik Universitas Islam Sultan Agung Semarang.
3. Bapak Dr. Ir. H. Soedarsono, M.Si. selaku Dosen Pembimbing I Tugas Akhir, yang telah meluangkan waktu, tenaga dan pikiran untuk memberikan bimbingan pada kami agar bisa menyelesaikan tugas akhir ini dengan baik.
4. Bapak Dr. Abdul Rochim, ST. MT selaku Dosen Pembimbing II Tugas Akhir, yang telah meluangkan waktu, tenaga dan pikiran untuk memberikan bimbingan pada kami agar bisa menyelesaikan tugas akhir ini dengan baik.
5. Seluruh Dosen Program Studi Teknik Sipil UNISSULA dan semua pihak yang telah memberikan ilmunya kepada penulis

Penulis menyadari bahwa tugas akhir ini masih banyak kekurangan baik isi maupun susunannya, semoga tugas akhir ini bermanfaat tidak hanya bagi penulis juga bagi para pembacanya.

Semarang, Januari 2023

Penulis

## DAFTAR ISI

|  |       |
|--|-------|
| HALAMAN JUDUL .....                                  | i     |
| LEMBAR PENGESAHAN .....                              | ii    |
| BERITA ACARA BIMBINGAN TUGAS AKHIR .....             | iii   |
| PERNYATAAN BEBAS PLAGIASI .....                      | v     |
| PERNYATAAN KEASLIAN .....                            | vi    |
| MOTTO .....  | vii   |
| PERSEMAHAN.....                                      | viii  |
| KATA PENGANTAR .....                                 | x     |
| DAFTAR ISI.....                                      | xi    |
| DAFTAR TABEL.....                                    | xv    |
| DAFTAR GAMBAR.....                                   | xvi   |
| ABSTRAK.....   | xviii |
| BAB I PENDAHULUAN .....                              | 1     |
| 1.1 Latar Belakang.....                              | 1     |
| 1.2 Rumusan Masalah .....                            | 2     |
| 1.3 Batasan Masalah .....                            | 2     |
| 1.4 Maksud dan Tujuan .....                          | 3     |
| 1.5 Sistematika Penulisan.....                       | 3     |
| BAB II TINJAUAN PUSTAKA .....                        | 5     |
| 2.1 Tanah .....                                      | 5     |
| 2.1.1 Parameter Tanah.....                           | 5     |
| 2.2 Klasifikasi Tanah.....                           | 7     |
| 2.3 Penyelidikan Tanah .....                         | 8     |
| 2.3.1 Pekerjaan Sondir.....                          | 9     |
| 2.3.2 Pekerjaan Bor Mesin .....                      | 9     |
| 2.3.3 Pengujian Standar Penetration Test (SPT) ..... | 10    |
| 2.4 Fondasi .....                                    | 11    |
| 2.4.1 Syarat Fondasi .....                           | 12    |
| 2.5 Klasifikasi Fondasi .....                        | 12    |

|         |  |    |
|---------|--|----|
| 2.5.1   | Fondasi Dangkal .....                                    | 12 |
| 2.5.2   | Fondasi Sedang.....                                      | 14 |
| 2.5.3   | Fondasi Dalam.....                                       | 15 |
| 2.6     | Fondasi Tiang Pancang (Driven Pile).....                 | 17 |
| 2.6.1   | Klasifikasi Fondasi Tiang Pancang .....                  | 18 |
| 2.6.2   | Fondasi Tiang Pancang Berdasarkan Cara Pemasangan .....  | 21 |
| 2.6.3   | Alat Tiang Pancang .....                                 | 22 |
| 2.7     | Kapasitas Daya Dukung Aksial Tanah Fondasi .....         | 23 |
| 2.7.1   | Metode Reese & Wright 1977 .....                         | 23 |
| 2.7.2   | Metode Meyerhof .....                                    | 26 |
| 2.7.3   | Metode Tomlinson.....                                    | 28 |
| 2.8     | Kapasitas Daya Dukung Lateral Tanah Fondasi .....        | 30 |
| 2.8.1   | Metode Broms .....                                       | 30 |
| 2.9     | Penurunan Fondasi Tiang Pancang dengan Metode Vesic..... | 31 |
| 2.9.1   | Penurunan Fondasi Tiang Tunggal.....                     | 31 |
| 2.9.2   | Penurunan Fondasi Kelompok Tiang .....                   | 33 |
| 2.10    | Perhitungan Pile Cap .....                               | 34 |
| 2.11    | Analisa Pembebanan Menggunakan ETABS 18.1 .....          | 35 |
| 2.12    | Analisa Menggunakan Program Plaxis .....                 | 37 |
| 2.13    | Analisa Menggunakan Program Allpile .....                | 38 |
| 2.14    | Perbedaan dengan Penelitian Terdahulu .....              | 39 |
| BAB III | METODOLOGI PENELITIAN .....                              | 45 |
| 3.1     | Pendahuluan .....  | 45 |
| 3.2     | Bahan dan Alat .....                                     | 45 |
| 3.2.1   | Bahan .....  | 45 |
| 3.2.2   | Alat.....  | 45 |
| 3.3     | Metode Pengolahan Data.....                              | 45 |
| 3.3.1   | Permodelan Menggunakan Program ETABS .....               | 46 |
| 3.3.2   | Permodelan Menggunakan Program Software Plaxis 8.6.....  | 47 |
| 3.3.3.  | Permodelan Dengan Program AllPile .....                  | 48 |
| 3.3.4.  | Metode Perhitungan .....                                 | 49 |

|   |     |
|---|-----|
| 3.3.5. Cara Pengolahan Data.....  | 50  |
| 3.4 Metode Analisa.....   | 51  |
| BAB IV HASIL DAN PEMBAHASAN .....   | 52  |
| 4.1 Tinjauan Umum.....  | 52  |
| 4.2 Permodelan Struktur Atas dengan Program ETABS 18.1.....                   | 54  |
| 4.2.1 Data Bangunan .....   | 54  |
| 4.2.2 Analisis Pembebanan Struktur .....                                      | 55  |
| 4.3 Daya Dukung Aksial Tanah Fondasi Existing (Single Pile) .....             | 65  |
| 4.3.1 Daya Dukung Aksial Tanah Fondasi Metode Reese & Wright .....            | 66  |
| 4.3.2 Daya Dukung Aksial Tanah Fondasi Metode Maryerhof .....                 | 70  |
| 4.3.3 Daya Dukung Tanah Fondasi Metode Tomlinson.....                         | 74  |
| 4.3.4 Hasil Perhitungan .....   | 78  |
| 4.4 Daya Dukung Lateral Pondasi Satu Tiang (Single Pile) .....                | 79  |
| 4.4.1 Daya Dukung Lateral Ultimit Menurut Metode Broms .....                  | 79  |
| 4.5 Daya Dukung Fondasi Kelompok Tiang (Group Pile).....                      | 81  |
| 4.5.1 Menetukan Jumlah Pile .....   | 81  |
| 4.5.2 Menentukan Jarak Tiang .....  | 81  |
| 4.5.3 Perhitungan Daya Dukung Kelompok Tiang .....                            | 82  |
| 4.6 Penurunan Pondasi Tiang Pancang Menggunakan Metode Vesic .....            | 87  |
| 4.6.1 Perhitungan Penurunan Fondasi Tiang Pancang Tunggal (Single Pile).....  | 87  |
| 4.6.2 Perhitungan Penurunan Kelompok Tiang Fondasi Tiang Pancang (Group Pile) |     |
| 89  |     |
| 4.7 Hasil Perhitungan Menggunakan Aplikasi.....                               | 91  |
| 4.7.1 Penurunan Fondasi Tiang Pancang Menggunakan Plaxis 8.6.....             | 91  |
| 4.7.2 Analisa Permodelan dengan Program Aplikasi (AllPile).....               | 97  |
| 4.7.3 Hasil Perhitungan Penurunan Fondasi .....                               | 101 |
| 4.8 Perhitungan Pile Cap .....  | 102 |
| 4.8.1 Berat Sendiri Pile Cap .....  | 102 |
| 4.8.2 Perhitungan Beban Maksimum Yang Diterima Satu Tiang .....               | 103 |
| 4.8.3 Perhitungan Tinggi Pile Cap .....                                       | 106 |
| 4.8.4 Perhitungan Penulangan Pile Cap .....                                   | 111 |

|   |     |
|---|-----|
| 4.9 Perbandingan Hasil Data 5 Lantai dan 7 Lantai ..... | 122 |
| BAB V KESIMPULAN DAN SARAN .....                        | 123 |
| 5.1 Kesimpulan .....                                    | 123 |
| 5.2 Saran .....   | 124 |
| DAFTAR PUSTAKA .....                                    | 125 |
| LAMPIRAN.....   | 126 |



## DAFTAR TABEL

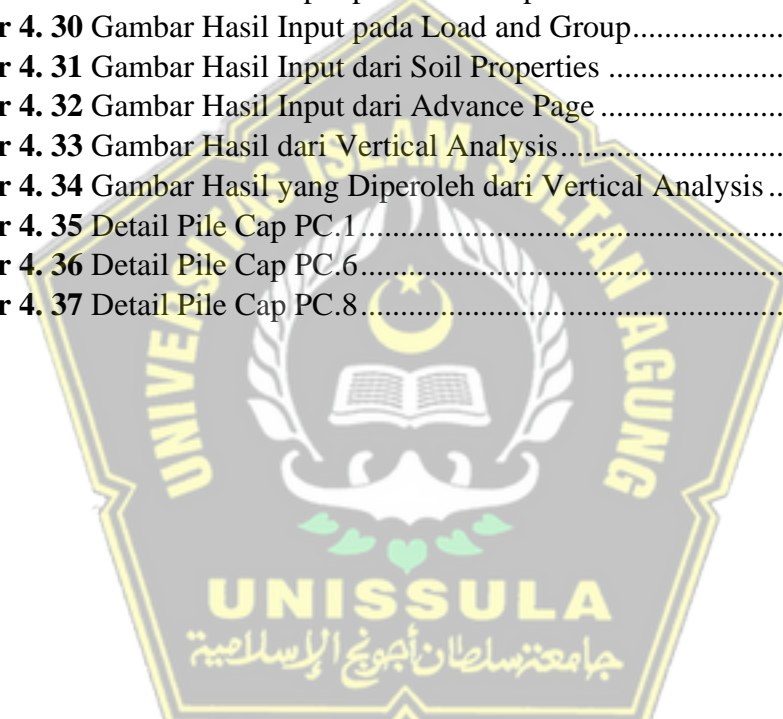
|   |     |
|---|-----|
| <b>Tabel 2. 1</b> Hubungan Antara Jenis Tanah dan Poisson Ratio .....                   | 6   |
| <b>Tabel 2. 2</b> Hubungan Jenis Tanah dan Sudut Geser Dalam .....                      | 7   |
| <b>Tabel 2. 3</b> Nilai Koefisien $C_p$ .....   | 33  |
| <b>Tabel 2. 4</b> Interval Nilai Modulus Elastisitas untuk Berbagai Tanah .....         | 33  |
| <br>  |     |
| <b>Tabel 4. 1</b> Faktor Keutamaan Struktur .....                                       | 60  |
| <b>Tabel 4. 2</b> Faktor Reduksi Gempa.....   | 62  |
| <b>Tabel 4. 3</b> Beban Struktur Atas .....   | 64  |
| <b>Tabel 4. 4</b> Daya Dukung Aksial Menggunakan Metode <i>Reese &amp; Wright</i> ..... | 70  |
| <b>Tabel 4. 5</b> Daya Dukung Aksial Menggunakan Metode <i>Mayerhof</i> .....           | 74  |
| <b>Tabel 4. 6</b> Perbandingan Perhitungan Daya Dukung Aksial Fondasi .....             | 78  |
| <b>Tabel 4. 7</b> Perhitungan Jumlah Tiang Akibat Beban Aksial .....                    | 81  |
| <b>Tabel 4. 8</b> Perhitungan Daya Dukung Kelompok Tiang Pondasi .....                  | 87  |
| <b>Tabel 4. 9</b> Hasil Perhitungan .....   | 101 |
| <b>Tabel 4. 10</b> Perbandingan Hasil Data Struktur 5 Lantai dan 7 Lantai.....          | 122 |



## DAFTAR GAMBAR

|  |                              |
|--|------------------------------|
| <b>Gambar 2. 1</b> Alat bor mesin dengan “core barrel” (L.D. Wesley 1972) .....  | 10                           |
| <b>Gambar 2. 2</b> Uji Standard Penetration test (SPT) (L.D. Wesley 1972) .....  | 11                           |
| <b>Gambar 2. 3</b> Fondasi Memanjang atau Menerus (Hardiyatmo 2018).....   | 13                           |
| <b>Gambar 2. 4</b> Pondasi Telapak (Hardiyatmo 2018).....  | 14                           |
| <b>Gambar 2. 5</b> Pondasi Rakit (Hardiyatmo 2018) .....   | 14                           |
| <b>Gambar 2. 6</b> Fondasi Sumuran (Hardiyatmo 2018) .....   | 15                           |
| <b>Gambar 2. 7</b> Pondasi Tiang (Pile Foundation) (Sosrodarsono 1990).....  | 16                           |
| <b>Gambar 2. 8</b> Pondasi Tiang Pancang Kayu (Sosrodarsono 1990) .....  | 18                           |
| <b>Gambar 2. 9</b> Fondasi Tiang Baja Profil (Agnes Dwiyanti Winoto 2017).....   | 19                           |
| <b>Gambar 2. 10</b> Pondasi Tiang Beton Pracetak (Sosrodarsono 1990) .....   | 20                           |
| <b>Gambar 2. 11</b> Pondasi Tiang Beton Pratekan 1990) .....   | 20                           |
| <b>Gambar 2. 12</b> Fondasi Tiang Komposit Kayu dan Beton .....  | 21                           |
| <b>Gambar 2. 13</b> Skema Alat Pemukul Tiang hammer.....   | 23                           |
| <b>Gambar 2. 14</b> Grafik Hubungan Tahanan Ujung Ultimit dengan NsPT.....   | 24                           |
| <b>Gambar 2. 15</b> Grafik Hubungan antara Tahanan Selimut dengan NsPT .....   | 26                           |
| <b>Gambar 2. 16</b> Grafik Hubungan antara Kohesi Tanah (Hardiyatmo 2018) .....  | 27                           |
| <b>Gambar 2. 17</b> Grafik Daya Dukung Lateral Ultimit (Broms 1964) .....  | 31                           |
| <b>Gambar 2. 18</b> Contoh Desain Bangunan Menggunakan ETABS .....   | 37                           |
| <br>   |                              |
| <b>Gambar 3. 1</b> Diagram Alir Analisis Fondasi Tiang Pancang .....   | 51                           |
| <br>   |                              |
| <b>Gambar 4. 1</b> Denah Pondasi (PT. Ciriajasa) .....   | 53                           |
| <b>Gambar 4. 2</b> Pemodelan Struktur Dengan Program ETABS 18.1 .....  | 54                           |
| <b>Gambar 4. 3</b> Respons Spektrum Jenis Tanah Lunak Wilayah Semarang .....   | 61                           |
| <b>Gambar 4. 4</b> Respons Spektrum Jenis Tanah Lunak Wilayah Semarang<br>( <a href="http://puskim.pu.go.id/Aplikasi/">http://puskim.pu.go.id/Aplikasi/</a> . 2019)..... | Error! Bookmark not defined. |
| <b>Gambar 4. 5</b> Titik Joint yang Direncanakan (PT. CIRIAJASA) .....   | 63                           |
| <b>Gambar 4. 6</b> Data Tanah (PT CIRIAJASA).....  | 65                           |
| <b>Gambar 4. 7</b> Keterangan Tanah (PT CIRIAJASA) .....   | 66                           |
| <b>Gambar 4. 8</b> Detail pondasi PC.1 .....   | 83                           |
| <b>Gambar 4. 9</b> Detail pondasi PC.6 .....   | 84                           |
| <b>Gambar 4. 10</b> Detail pondasi PC.8 .....  | 86                           |
| <b>Gambar 4. 11</b> Pengaturan global - dimensi .....  | 91                           |
| <b>Gambar 4. 12</b> Permodelan Profil Tanah .....  | 91                           |
| <b>Gambar 4. 13</b> Data Umum Material Fill .....  | 92                           |
| <b>Gambar 4. 14</b> Data parameter.....  | 92                           |
| <b>Gambar 4. 15</b> Data Antar Muka Material.....  | 92                           |
| <b>Gambar 4. 16</b> Data Material Fondasi .....  | 93                           |
| <b>Gambar 4. 17</b> Permodelan Fondasi Tiang Pancang.....  | 93                           |

|                     |  |     |
|---------------------|--|-----|
| <b>Gambar 4. 18</b> | Input Pembebanan .....                                   | 94  |
| <b>Gambar 4. 19</b> | Beban pada Tiang Pancang.....                            | 94  |
| <b>Gambar 4. 20</b> | Susunan Jaringan Elemen.....                             | 94  |
| <b>Gambar 4. 21</b> | Muka Air Tanah .....                                     | 95  |
| <b>Gambar 4. 22</b> | Tekanan Air Pori Aktif.....                              | 95  |
| <b>Gambar 4. 23</b> | Mengaktifkan Tekanan Air Pori Awal .....                 | 96  |
| <b>Gambar 4. 24</b> | Tahap-tahap Perhitungan Konstruksi .....                 | 96  |
| <b>Gambar 4. 25</b> | Perpindahan Total Ekstrim .....                          | 97  |
| <b>Gambar 4. 26</b> | Gambar Input pada Pile Type.....                         | 97  |
| <b>Gambar 4. 27</b> | Gambar Input pada Pile Profile .....                     | 98  |
| <b>Gambar 4. 28</b> | Gambar Hasil Input pada Pile Section.....                | 98  |
| <b>Gambar 4. 29</b> | Gambar Hasil Input pada Pile Properties .....            | 99  |
| <b>Gambar 4. 30</b> | Gambar Hasil Input pada Load and Group.....              | 99  |
| <b>Gambar 4. 31</b> | Gambar Hasil Input dari Soil Properties .....            | 100 |
| <b>Gambar 4. 32</b> | Gambar Hasil Input dari Advance Page .....               | 100 |
| <b>Gambar 4. 33</b> | Gambar Hasil dari Vertical Analysis.....                 | 100 |
| <b>Gambar 4. 34</b> | Gambar Hasil yang Diperoleh dari Vertical Analysis ..... | 101 |
| <b>Gambar 4. 35</b> | Detail Pile Cap PC.1 .....                               | 114 |
| <b>Gambar 4. 36</b> | Detail Pile Cap PC.6.....                                | 118 |
| <b>Gambar 4. 37</b> | Detail Pile Cap PC.8.....                                | 122 |



# **ANALISIS FONDASI TIANG PANCANG PADA PROYEK PEMBANGUNAN GEDUNG KELAS POLITEKNIK PEKERJAAN UMUM SEMARANG**

## **Abstrak**

Pembangunan Gedung Kelas Politeknik Pekerjaan Umum Semarang yang berlokasikan di Jalan Arteri Soekarno-Hatta Gayamsari Semarang, Jawa Tengah. Dalam penyusunan tugas akhir ini ditujukan untuk mengetahui perhitungan besar pembebanan struktur atas gedung yang semula 5 lantai didesain kembali menjadi 7 lantai, daya dukung fondasi, serta penurunan fondasi yang terjadi. Agar menghasilkan perhitungan struktur bangunan yang aman dan efisien sesuai dengan SNI yang ada di Indonesia.

Perencanaan awal dilakukan dengan memperhitungkan beban aksial dengan menggunakan program ETABS v.18.1. Sehingga memperoleh hasil *output* yang akan digunakan untuk menghitung daya dukung fondasi aksial dan lateral dengan menggunakan metode Resse & Wright, Mayerhoff, Tomlinson, dan Brooms. Selanjutnya dilakukan perhitungan penurunan dengan menggunakan metode manual Vesic, serta program Aplikasi Allpile dan Plaxis.

Dalam Analisa daya dukung pondasi spun pile dengan diameter 600 mm yang dihitung secara manual, didapat nilai daya dukung ujung (QP) pada kedalaman 30 meter sebesar 42,5313 kN, daya dukung selimut sebesar 246,321 kN, daya dukung aksial (Qu) sebesar 288,852 kN, dan nilai daya dukung ijin (Qall) sebesar 96,2841 kN. Daya dukung lateral pada fondasi menggunakan metode *Brooms* sebesar 7,9497715 kN. Analisa penurunan yang terjadi akibat beban aksial dan beban lateral pada fondasi spun pile secara manual didapat nilai penurunan total Se 6,704 mm, dengan batas nilai penurunan yang diijinkan yaitu 60 mm. Analisa penurunan fondasi *spun pile* menggunakan program Plaxis menghasilkan penurunan pada fondasi *spun pile* sebesar 0,044 mm. Selanjutnya Analisa penurunan fondasi *spun pile* menggunakan program Allpile memiliki besar penurunan yaitu 0,14 mm.

**Kata Kunci : *Daya Dukung, Fondasi, Tiang Pancang, Penurunan.***

**ANALYSIS OF PILE FOUNDATION IN PUBLIC WORKS POLYTECHNIC  
CLASS BUILDING PROJECT IN SEMARANG**

***Abstrack***

*Construction of the Semarang Public Works Polytechnic Class Building which is located on Soekarno-Hatta Gayamsari Arterial Road Semarang, Central Java. In preparing this final project it is aimed at knowing the calculation of the loading of the superstructure of the building which was originally 5 floors to be redesigned to 7 floors, the bearing capacity of the foundation, and the settlement of the foundation that occurs. In order to produce safe and efficient calculations of building structures in accordance with SNI in Indonesia.*

*Initial planning is carried out by calculating the axial load using the ETABS v.18.1 program. So as to obtain the output results that will be used to calculate the bearing capacity of the axial and lateral foundations using the Resse & Wright, Mayerhoff, Tomlinson, and Brooms methods. Furthermore, settlement calculations were carried out using the Vesic manual method, as well as the Allpile and Plaxis Application programs.*

*In the analysis of the bearing capacity of the spun pile foundation with a diameter of 600 mm which is calculated manually, the value of the end bearing capacity ( $Q_p$ ) at a depth of 30 meters is 42.5313 kN, the blanket bearing capacity is 246.321 kN, the axial bearing capacity ( $Q_u$ ) is 288.852 kN, and the allowable carrying capacity ( $Q_{all}$ ) of 96.2841 kN. The lateral bearing capacity of the foundation using the Brooms method is 7.9497715 kN. Settlement analysis that occurs due to axial loads and lateral loads on spun pile foundations manually obtained a total settlement value of 6.704 mm, with a limit of allowable settlement value of 60 mm. Analysis of the settlement of spun pile foundations using the Plaxis program resulted in a settlement of 0.044 mm in spun pile foundations. Furthermore, the settlement analysis of spun pile foundations using the Allpile program has a settlement of 0.14 mm.*

***Keywords : Bearing Capacity, Foundation, Piling, Settlement***

## BAB I

### PENDAHULUAN

#### 1.1 Latar Belakang

Kota Semarang merupakan salah satu kota di Indonesia yang menjadi pusat perdagangan, bisnis, dan pendidikan. Hal ini mendorong warga berbagai daerah di Indonesia seperti di luar kota maupun luar pulau untuk pergi dan menetap di Semarang dalam rangka mencari penghasilan ataupun untuk menimba ilmu pendidikan. Akibatnya, Semarang menjadi kota yang padat akan penduduk sehingga sarana prasarana pendidikan semakin dibutuhkan. Untuk menyediakan sarana prasarana pendidikan yang baik maka perlu dibangun tempat pendidikan yang berkualitas dan nyaman, sehingga proses pendidikan berjalan dengan baik. Maka dari itu Kementerian PUPR melaksanakan Proyek Pembangunan Politeknik Pekerjaan Umum Semarang.

Politeknik sendiri merupakan perguruan tinggi yang menyediakan pelatihan kejuruan dalam berbagai ilmu pengetahuan. Pendidikan yang lebih menitikberatkan pada penyediaan kualifikasi atau keahlian dikenal dengan pendidikan kejuruan. Politeknik berbeda dengan universitas yang utamanya menyediakan materi kuliah berbasis teori sedangkan politeknik lebih berkonsentrasi pada keterampilan dan ilmu terapan.

Pembangunan Politeknik Pekerjaan Umum Semarang yang berlokasikan di Jalan Arteri Soekarno-Hatta Gayamsari Semarang, Jawa Tengah. Politeknik ini terbagi atas 2 zona yaitu zona A dan zona B. Dalam penelitian pada tugas akhir ini akan terfokuskan pada zona B yaitu pada Gedung Kelas, hal ini dikarenakan gedung kelas memiliki 5 lantai. Dimana lantai tersebut merupakan lantai yang paling tinggi dibanding dengan gedung lainnya. Akan tetapi dalam perhitungan yang lebih detail untuk memperhitungkan beban pada fondasi, perencanaan yang semula 5 lantai ditambah lagi 2 lantai menjadi 7 lantai. Sehingga fondasi tiang pancang jenis *spun pile* yang digunakan harus diperhitungkan dengan baik dan mengurangi terjadinya penurunan tanah yang akan menyebabkan kegagalan bangunan dengan metode

perencanaan perhitungan beban aksial menggunakan *software* ETABS v.18.1 serta penurunan fondasi tiang pancang jenis *spun pile* menggunakan perhitungan manual metode vesic, *software* Plaxis v.8.6, dan *software* AllPile.

Sehingga berdasarkan penjelasan di atas, maka penulis akan menyusun Tugas Akhir ini dengan judul **“Analisis Fondasi Tiang Pancang pada Proyek Pembangunan Gedung Kelas Politeknik Pekerjaan Umum Semarang”**.

## 1.2 Rumusan Masalah

Rumusan masalah yang terdapat pada tugas akhir ini sebagai berikut:

- a. Bagaimana perencanaan dan berapa beban aksial struktur atas pada Pembangunan Gedung Kelas Politektik Pekerjaan Umum Semarang dengan menggunakan *software* ETABS v.18.1?
- b. Bagaimana perhitungan nilai daya dukung aksial dan daya dukung lateral yang diterima fondasi tiang pancang pada perencanaan Pembangunan Gedung Kelas Politeknik Pekerjaan Umum Semarang ?
- c. Bagaimana hasil perhitungan penurunan fondasi yang terjadi dengan menggunakan metode vesic, *software* Plaxis v.8.6, dan *software* AllPile?

## 1.3 Batasan Masalah

Batasan masalah pada penulisan tugas akhir ini sebagai berikut:

- a. Membuat perencanaan struktur atas dengan *software* ETABS v.18.1 dan berat beban aksial yang diterima oleh fondasi tiang pancang yang akan direncanakan.
- b. Perhitungan nilai daya dukung tanah aksial dan daya dukung tanah lateral.
- c. Perhitungan nilai penurunan pondasi tiang pancang dengan menggunakan merode vesic, *software* Plaxis v.8.6, dan *software* AllPile.
- d. Perhitungan yang direncanakan ditinjau hanya fokus pada fondasi tiang pancang.
- e. Denah fondasi menggunakan gambar kerja pada proyek Pembangunan Gedung Kelas Politeknik Pekerjaan Umum Semarang.
- f. Perhitungan perbedaan hasil perhitungan 5 lantai menjadi 7 lantai

- g. Data tanah berdasarkan hasil pengujian yang telah dilakukan oleh konsultan perencana PT Ciriajasa proyek Pembangunan Gedung Kelas Politeknik Pekerjaan Umum Semarang.

#### **1.4 Maksud dan Tujuan**

Maksud dan Tujuan yang hendak dicapai dalam penulisan tugas akhir ini adalah:

- a. Mengetahui besar pembebanan struktur atas 7 lantai pada perencanaan fondasi tiang pancang Proyek Pembangunan Gedung Kelas Politeknik Pekerjaan Umum Semarang dengan menggunakan *software* ETABS v.18.1.
- b. Mengetahui berapa nilai daya dukung aksial dan lateral pada fondasi tiang pancang dengan perhitungan manual, metode *Broms* metode *Resse and Wright*, metode *Mayerhoff*, dan metode *Tomlinson*.
- c. Mengetahui perbandingan angka penurunan yang terjadi akibat beban yang diterima pada fondasi tiang pancang dengan *software* Plaxis v.8.6 dan *software* AllPile serta menggunakan manual metode *Vesic*.

#### **1.5 Sistematika Penulisan**

Sistematika penulisan laporan pada tugas akhir “Analisis Fondasi Tiang Pancang pada Proyek Pembangunan Gedung Kelas Politeknik Pekerjaan Umum Semarang” adalah sebagai berikut :

#### **BAB I**

#### **PENDAHULUAN**

Pada bab ini menjelaskan latar belakang, rumusan masalah, batasan masalah, maksud dan tujuan, dan sistematika penulisan yang akan digunakan untuk penyusunan tugas akhir.

#### **BAB II**

#### **TINJAUAN PUSTAKA**

Pada bab ini menjelaskan tentang dasar teori, rumus, dan segala sesuatu yang akan dijadikan untuk menyelesaikan penyusunan tugas akhir ini yang didapatkan dari berbagai sumber seperti buku literatur, jurnal ilmiah, *website*, serta hasil penelitian sebelumnya.

### **BAB III            METODOLOGI PENELITIAN**

Pada bab ini menjelaskan mengenai tahap penelitian, pengumpulan data, metode pengolahan hasil, bagian alir, dan jadwal pelaksanaan dalam penyusunan tugas akhir ini.

### **BAB IV            HASIL DAN PEMBAHASAN**

Pada bab ini menjelaskan mengenai hasil perhitungan pembebanan struktur atas, perhitungan daya dukung dan penurunan fondasi tiang pancang yang diperoleh dari pengolahan data-data secara manual maupun dengan menggunakan *software*.

### **BAB V            KESIMPULAN DAN SARAN**

Pada bab ini menjelaskan kesimpulan yang ditinjau berdasarkan dari perencanaan yang telah disusun serta saran terhadap penelitian berikutnya.



## BAB II

### TINJAUAN PUSTAKA

#### 2.1 Tanah

Tanah terbentuk karena adanya pelapukan fisika dan pelapukan kimiawi pada batuan. Pelapukan fisika di Indonesia disebabkan oleh pembahasan dan pengeringan terus menerus sehingga menghancurkan batuan menjadi pasir atau kerikil. (L.D. Wesley 1972). Definisi tentang tanah yang dipergunakan oleh seorang insinyur sipil agar bersifat kesepakatan dan berbeda dengan definisi yang digunakan oleh seorang ahli geologi ahli ilmu tanah, maupun orang awam. Seorang insinyur sipil menganggap tanah termasuk semua bahan, organik dan anorganik, yang ada diatas lapisan batuan tetap. Di dalam menafsirkan dan mempergunakan pekerjaan definisi lain insinyur harus selalu ingat bahwa terdapat banyak perbedaan dasar dalam terminologi dan definisi yang digunakan untuk mengklasifikasikan dan menjelaskan perilaku tanah secara fisis dan kimiawi.

Klasifikasi tanah berdasarkan lekatan antar butirnya tanah dibagi menjadi 2 jenis secara umum yaitu, tanah kohesif dan tanah non kohesif. Tanah kohesif yaitu tanah yang memiliki lekatan antar butir-butirnya seperti lempung. Sementara tanah non kohesif / tidak berkoesif adalah jenis tanah lekatan antar butirnya sangatlah sedikit atau bahkan tidak ada.

Dalam melakukan perencanaan diperlukan pemahaman mengenai karakteristik tanah dengan paham dan jelas. Beberapa karakteristik tanah diantaranya berupa ukuran dari butiran tanah, berat jenis tanah, kadar air tanah, kerapatan, angka pori, serta sudut geser pada tanah, dari karakteristik tersebut digunakan sebagai unsur pendukung suatu fondasi.

##### 2.1.1 Karakteristik Tanah

Elemen tanah mempunyai 3 (tiga) fase, yaitu butiran padat, air, dan udara. Pemahaman mengenai komposisi tanah untuk memutuskan dalam memperoleh parameter tanah serta hubungan antar volume dengan berat. Dibawah ini parameter

tanah yang digunakan untuk mendeskripsikan sifat dan karakteristik pada tanah yaitu:

a. Elastisitas Tanah

Nilai Modulus Young menunjukkan nilai elastisitas tanah yang merupakan perbandingan antara tegangan yang terjadi terhadap regangan. Nilai ini bisa didapatkan dari *Triaxial Test*. Suatu Nilai Modulus Elastisitas (Es) secara empiris dapat ditentukan melalui data sondir dan jenis tanah.

b. *Poisson Ratio*

Gaya tekan poros terhadap ekspansi lateral digunakan untuk menghitung rasio poisson. Jenis tanah dapat digunakan untuk menentukan nilai rasio poisson, seperti yang ditunjukkan pada Tabel 2.2 di bawah ini:Tabel 2. 1 Hubungan Antara Jenis Tanah dan *Poisson Ratio*.

| Jenis Tanah              | Poisson Ratio ( $\mu$ ) |
|--------------------------|-------------------------|
| Lempung jenuh            | 0,4-0,5                 |
| Lempung tak jenuh        | 0,1-0,3                 |
| Lempung berpasir         | 0,2-0,3                 |
| Lanau                    | 0,3-0,35                |
| Pasir                    | 0,1-1,0                 |
| Batuan                   | 0,1-0,4                 |
| Umum dipakai untuk tanah | 0,3-0,4                 |

(Sumber :(Das 2011))

c. *Sudut Geser Dalam* ( $\phi$ )

Ketahanan tanah terhadap tegangan kerja dalam bentuk tekanan tanah lateral ditentukan oleh nilai sudut geser internal dan kohesi. Pengukuran Uji Geser Langsung juga dapat menghasilkan nilai ini. Tabel 2.3 menampilkan hubungan antara jenis tanah dan internal sudut geser:

**Tabel 2. 2 Hubungan Jenis Tanah dan Sudut Geser Dalam**

| <b>Jenis Tanah</b> | <b>Sudut Geser Dalam (<math>\phi</math>)</b> |
|--------------------|--|
| Kerikil kepasiran  | $35^\circ - 40^\circ$                        |
| Kerikil kerakal    | $35^\circ - 40^\circ$                        |
| Pasir padat        | $35^\circ - 40^\circ$                        |
| Pasir lepas        | $30^\circ$                                   |
| Lempung kelanauan  | $25^\circ - 30^\circ$                        |
| Lempung            | $20^\circ - 25^\circ$                        |

(Das 2011)

*d. Kohesi Tanah (c)*

Gaya tarik yang terjadi antar butir tanah disebut dengan kohesi. Kohesi secara simultan dengan sudut geser tanah dan kuat geser tanah untuk menentukan ketahanan tanah terhadap deformasi yang disebabkan oleh regangan. Ketika tegangan geser dan tegangan normal digabungkan dalam keadaan kritis, terjadi deformasi. Geser Langsung Temuan pengujian memberikan dasar untuk nilai ini. Berikut ini adalah bagaimana nilai ini ditentukan dari data sondir (qc):qc/20 kg/cm<sup>2</sup> adalah kohesi (c).

## **2.2 Klasifikasi Tanah**

Sistem klasifikasi tanah digunakan untuk mengelompokkan tanah-tanah sesuai dengan perilaku umum dari tanah pada kondisi fisis tertentu. Tanah-tanah yang dikelompokan dalam urutan berdasarkan satu kondisi-kondisi fisis tertentu bisa saja mempunyai urutan yang tidak sama jika didasarkan kondisi fisis tertentu lainnya. Oleh karena itu sejumlah sistem klasifikasi telah dikembangkan disesuaikan dengan maksud yang diinginkan oleh sistem itu.

Klasifikasi dapat memberi tuntunan umum secara empiris yang diperoleh dari hasil pengalaman lapangan orang lain. Akan tetapi, sistem klasifikasi harus dipergunakan secara hati-hati. Klasifikasi tanah bertujuan untuk mengelompokkan tanah berdasarkan kesamaan dan kemiripan sifatnya, hal ini digunakan untuk mengetahui tentang karakteristik dari pemandangan, kekuatan suatu tanah, berat isi tanah dan lain sebagainya dalam bentuk suatu data. Sistem ini bisa menggunakan

beberapa sistem yaitu sistem klasifikasi AASHTO (*American Association of Highway and Transportation Officials*) dan *Unified Soil Classification System* (USCS).

Sistem klasifikasi AASHTO (*American Association of State Highway and Transportation Officials Classification*) berguna untuk menentukan kualitas tanah dalam perencanaan timbunan jalan, *subbase*, dan *subgrade*. Sistem klasifikasi AASHTO membagi tanah ke dalam 8 kelompok, A-1 sampai A-7 termasuk sub-sub kelompok. Tanah-tanah dalam tiap kelompoknya dievaluasi terhadap indeks kelompoknya yang dihitung dengan rumus-rumus empiris.

Klasifikasi Tanah *Unified Soil Classification System* (USCS) ialah system klasifikasi tanah yang paling terkenal di kalangan para ahli Teknik tanah dan fondasi. Sistem ini pertama-tama dikembangkan oleh Casagrande (1948) dan dikenal sebagai sistem klasifikasi *Airfield*.

Pada sistem ini membagi tanah kedalam tiga kelompok utama yaitu tanah berbutir kasar, tanah butir halus dan tanah sangat organik. Berikut adalah garis besarnya membedakan tanah atas tiga kelompok besar, yaitu:

1. Tanah berbutir kasar (*coarse-grained-soil*), tanah yang lebih dari 50 % bahannya tertahan pada ayakan no. 200 (0,075 mm). Tanah butir kasar dibagi atas kerikil (G) dan pasir (S).
2. Tanah berbutir halus (*fine-grained-soil*), tanah yang lebih dari 50 % bahannya lewat ayakan No. 200. Tanah butir halus ini dibagi menjadi lanau (M), lempung (C), serta lanau dan lempung organic (O) tergantung bagaimana tanah itu terletak pada grafik plastisitas (hubungan batas cair, indeks plastisitas).
3. Tanah organik (Gambut/Humus), tanah ini dapat diidentifikasi secara visual atau secara laboratorium dapat ditentukan jika perbedaan batas cair tanah contoh yang belum dioven dengan yang telah dioven sebesar  $> 25\%$ .

### **2.3 Penyelidikan Pada Tanah**

Penyelidikan tanah ini bertujuan untuk mengetahui kondisi tanah dan jenis lapisannya. Daya dukung dan jenis pondasi yang akan digunakan dalam perencanaan dipengaruhi dalam penelitian ini. Ada dua jenis pemeriksaan tanah, yaitu

pemeriksaan lapangan seperti: pemeriksaan sondir, uji penetrasi baku (SPT), dan pemeriksaan di laboratorium.

### **2.3.1 Pekerjaan Sondir**

Tes sondir dilakukan dengan menggunakan alat sondir yang dapat mengukur nilai perlawanan konus (*Cone Resistance*) dan hambatan lekat (*Local Friction*) secara langsung di lapangan. Hasil penyondiran disajikan dalam bentuk diagram sondir yang memperlihatkan hubungan antara kedalaman sondir dibawah muka tanah dan besarnya nilai perlawanan konus ( $qc$ ) serta jumlah hambatan pelekatan (TF). (Anugrah Pamungkas & Erny Harianti 2013)

Penyelidikan sondir ini bertujuan untuk menentukan tahanan geser (*local friction* =  $fs$  dalam kg/cm) sepanjang lubang setelah kerucut dilewati dengan melakukan pengukuran langsung tahanan ujung (*conus resistance* =  $qc$  dalam kg/cm<sup>2</sup>) pada suatu titik. Uji sondir dilakukan dengan kecepatan konstan 2 cm/detik setiap 20 cm. Hasil dan penggambaran grafik meliputi:

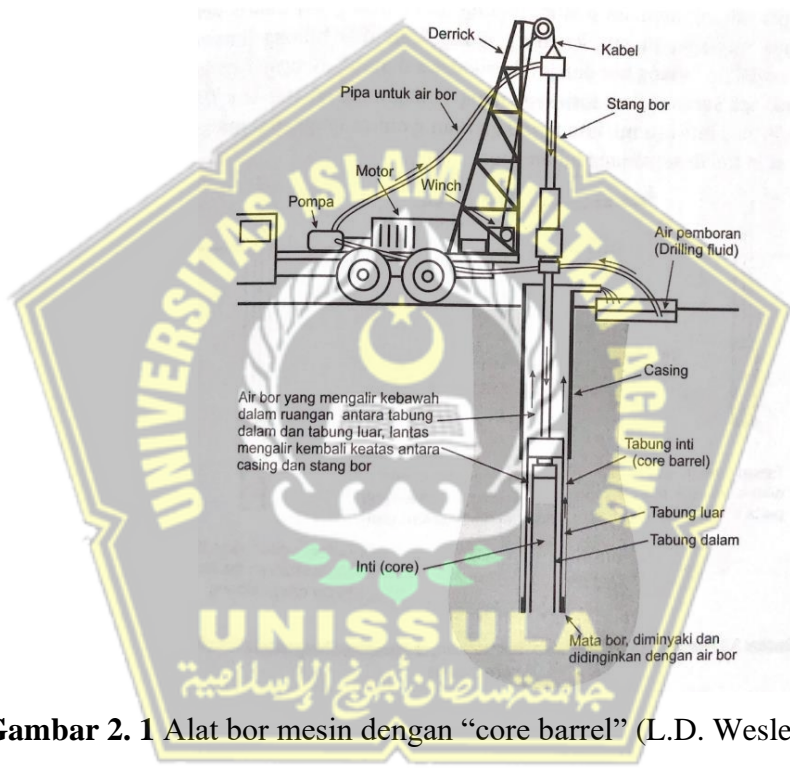
- Grafik yang menunjukkan hubungan antara tahanan konus (*conus resistance*) terhadap kedalaman
- Grafik yang menunjukkan lekatan setempat (*local friction*)
- Grafik yang menunjukkan jumlah hambatan lekat (*total friction*)
- Grafik yang menunjukkan hubungan antara geser lokal dengan tekanan kerucut (*friction ratio*).

### **2.3.2 Pekerjaan Bor Mesin**

Untuk melakukan pengeboran sampai dalam atau dalam tanah yang keras, perlu digunakan alat bor mesin. Pengujian ini dilakukan secara langsung di lapangan. Prinsip operasi mesin ini ditunjukkan pada Gambar 2.1. Alat semacam ini umumnya terdiri dari tiga bagian berikut:

- Alat yang dapat memutar setang-setang bor dengan kecepatan yang bisa diatur, juga dapat memberikan gaya ke bawah.

- Pompa, untuk memompakan air pengeboran (air pencuci) ke bawah melalui lubang di tengah-tengah setang bor. Fungsi air ini pertama-tama adalah untuk mendinginkan dan melumasi pahat (*bit*), dan kedua adalah mengangkat potongan-potongan tanah (atau batu) ke atas sampai ke luar pada permukaan tanah.
- Roda pemutar (*winches*) dan derik atau tripod untuk menaikan dan menurunkan setang-setang bor dan alat-alat lain dalam lubang bor.



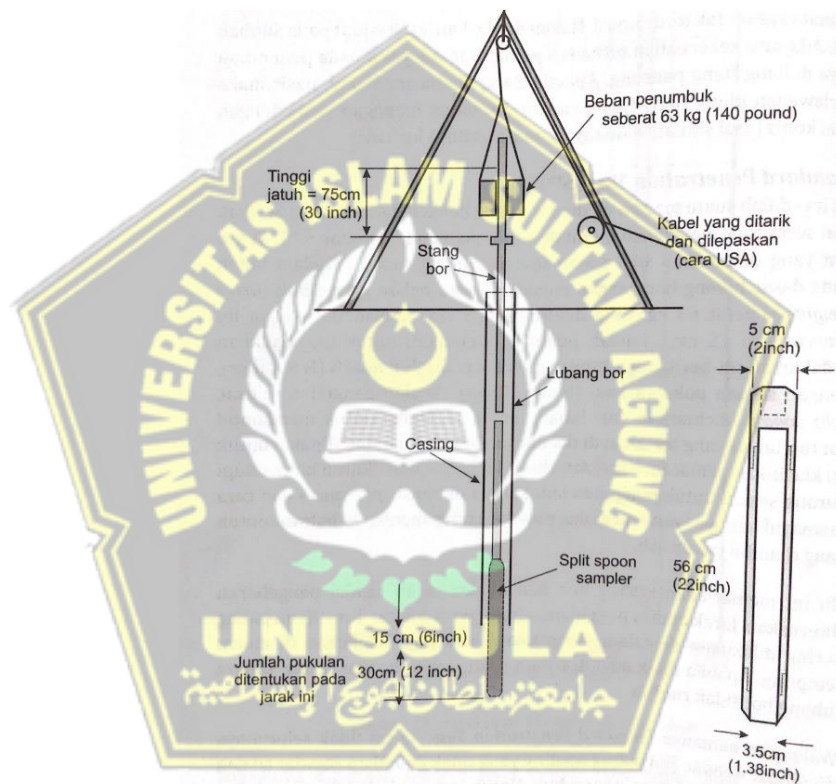
**Gambar 2. 1** Alat bor mesin dengan “core barrel” (L.D. Wesley 1972)

### 2.3.3 Pengujian SPT (*Standar Penetration Test*)

*Standard Penetration Test* (SPT) dilaksanakan pada lubang bor setelah pengambilan contoh tanah pada setiap beberapa interval kedalaman. Cara uji dilakukan untuk memperoleh parameter perlawanahan penetrasi lapisan tanah di lapangan. Parameter tersebut diperoleh dari jumlah pukulan terhadap penetrasi konus, yang dapat dipergunakan untuk mengidentifikasi perlapisan tanah.

Uji ini adalah suatu macam uji dinamis yang berasal dari Amerika Serikat. Alat serta cara melakukan uji ini diperlihatkan pada gambar 2.2. suatu alat yang

dinamakan *split spoon sampler* dimasukan ke dalam tanah pada dasar lubang bor dengan memakai suatu beban penumbuk (*drive weight*) seberat 63 kg, yang dijatuhkan 75 cm. Setelah *split spoon* ini dimasukkan 15 cm, jumlah pukulan ditentukan untuk memasukkan sedalam 30 cm berikutnya. Jumlah pukulan ditentukan untuk memasukkan sedalam 30 cm berikutnya. Jumlah pukulan ini disebut N (*N number*), dengan satuan pukulan/kaki (*blows/30 cm*). Setelah pengujian selesai, *split spoon* dikeluarkan dari lubang bor dan dibuka untuk mengambil contoh tanah yang tertahan di dalamnya.



**Gambar 2. 2 Uji Standard Penetration test (SPT) (L.D. Wesley 1972)**

## 2.4 Fondasi

Fondasi adalah struktur bangunan paling bawah yang berhubungan langsung dengan tanah. Semua bangunan memerlukan alas yang kuat untuk menopang beban bangunan dan gaya luar (seperti gempa dan angin). Fondasi tersebut berfungsi agar bangunan dapat berdiri kokoh dan stabil. Sebagai penopang bangunan, fondasi harus

direncanakan dengan cermat. Jika fondasi gagal menopang beban bangunan diatasnya, seluruh bangunan dapat runtuh. (Agnes Dwiyanti Winoto 2017)

#### **2.4.1 Syarat Fondasi**

- a. Material yang digunakan sebagai fondasi harus tahan lama dan tidak mudah hancur
- b. Fondasi harus kuat menahan muatan geser akibat muatantegak ke bawah
- c. Fondasi harus dapat menyesuaikan pergerakan tanah yang tidak stabil
- d. Fondasi harus diletakan pada lapisan tanah yang keras dan padat. Fondasi yang tidak diletakan pada lapisan tanah yang keras dapat
- e. Fondasi harus diletakan menerus di bawah seluruh dinding bangunan dan di bawah kolom yang berdiri bebas
- f. Fondasi harus diletakan pada lapisan tanah yang keras dan padat. Fondasi yang tidak diletakan pada lapisan tanah yang keras dapat mengakibatkan penurunan fondasi
- g. Fondasi tidak boleh diletakan sebagian pada tanah yang keras dan sebagian lagi pada tanah yang lembek karena bisa mengakibatkan fondasi retak atau patah.

#### **2.5 Klasifikasi Fondasi**

Klasifikasi fondasi berdasarkan kedalamannya dapat dibedakan menjadi 3 jenis yaitu, pondasi dangkal pondasi sedang, dan pondasi dalam. Berikut 3 jenis pondasi tersebut :

##### **2.5.1 Fondasi Dangkal**

Jika digunakan pada kedalaman tanah keras fondasi dangkal tidak terlalu jauh dengan permukaan tanah. Fondasi dangkal umumnya digunakan untuk menahan beban bangunan yang tidak besar seperti rumah sederhana. Karena fondasi jenis ini meneruskan beban ke lapisan tanah, maka alasnya adalah tempat fondasi dangkal ini memperoleh kekuatannya. Fondasi dangkal adalah fondasi yang kedalamannya kurang dari atau sama dengan lebar pondasi. ( $D \leq B$ ) (Terzaghi, 1940). Terdapat 5 macam pengklafikasian fondasi dangkal, yaitu :

- a. Fondasi setempat (*single footing*)

Fondasi setempat memiliki fungsi untuk menahan beban bangunan yang dipusatkan pada bagian tertentu bangunan seperti kolom. Dalam konstruksi bangunan kayu, fondasi ini biasanya digunakan pada bagian bawah struktur kolom yang terdapat di daerah rawa.

b. Fondasi menerus (*continuous footing*)

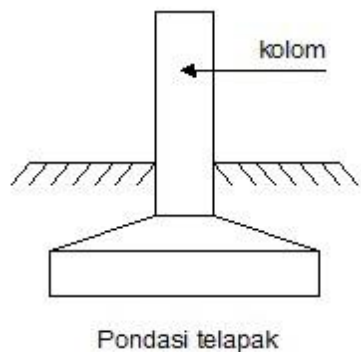
Fondasi menerus disebut juga dengan fondasi lajur. Fondasi menerus biasa digunakan pada bangunan sederhana (tidak bertingkat) dengan daya dukung tanah yang baik. Konstruksi pada fondasi menerus ini mendistribusikan beban bangunan secara rata ke lapisan tanah pada dinding. Fondasi menerus / *continuous footing* ditunjukkan pada Gambar 2.3



Gambar 2. 3 Fondasi Menerus (Hardiyatmo 2018)

c. Fondasi telapak

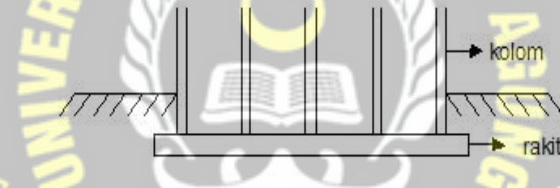
Untuk kolom struktural dan beban titik lainnya dengan daya dukung yang bervariasi, digunakan fondasi ini. Fondasi telapak dapat dilihat pada Gambar 2.4



**Gambar 2. 4** Fondasi Telapak (Hardiyatmo 2018)

d. Fondasi rakit

Untuk tanah lunak, digunakan fondasi rakit dengan jarak kolom ke segala arah. Sisi-sisi telapak bertemu di tengah saat digunakan. Fondasi rakit dapat dilihat pada Gambar 2.5



**Gambar 2. 5** Pondasi Rakit (Hardiyatmo 2018)

e. Fondasi sarang laba – laba

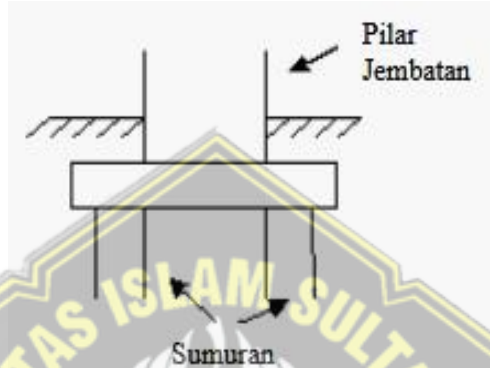
Fondasi sarang laba-laba digunakan untuk tanah lunak dan tanah dengan sifat kembang susut yang tinggi. Konstruksi fondasi sarang laba-laba adalah fondasi plat beton tipis dan tinggi (disebut dengan rib) yang dibentuk sedemikian rupa sehingga menyerupai sarang laba-laba.

### 2.5.2 *Fondasi Sedang*

Fondasi sedang adalah fondasi yang pada kedalaman dangkal dan dalam, menyalurkan beban bangunan ke dalam tanah keras atau batuan. Jika fondasi tiang tidak dapat digunakan, maka digunakan fondasi karena proses ereksi menimbulkan

getaran yang dapat mengganggu kestabilan bangunan di sekitarnya. Contoh klasifikasi fondasi sedang yaitu fondasi sumuran (*strauss pile*).

Fondasi sumuran dikategorikan dalam fondasi sedang karena fondasi ini adalah peralihan dari fondasi dangkal ke fondasi dalam. Disebut dengan fondasi sumuran karena pelaksanaan pekerjaan fondasi ini mirip pelaksanaan pekerjaan membuat sumur. Fondasi sumuran dapat dilihat pada Gambar 2.6



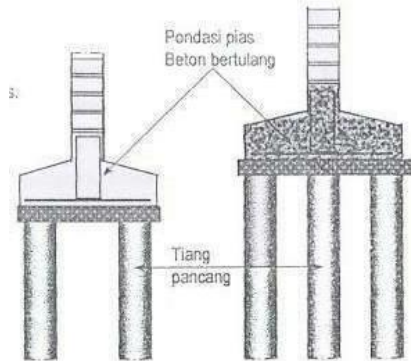
Gambar 2.6 Fondasi Sumuran (Hardiyatmo 2018)

### 2.5.3 *Fondasi Dalam*

Jika beban pada bangunan yang dipikul sangat besar dan kedalaman tanah keras jauh dengan permukaan tanah, digunakan fondasi dalam. Dalam kebanyakan kasus, fondasi memiliki kedalaman yang lebih besar dari lebarnya ( $D > B$ ). Beban bangunan atas dipindahkan dari fondasi ini ke lapisan yang lebih dalam sampai ditemukan jenis tanah yang dapat menopang beban tersebut. Fondasi memiliki berbagai jenis, yaitu :

- a. Fondasi tiang (*pile foundation*)

Fungsi dari fondasi ini adalah untuk menyalurkan beban horizontal dan vertikal ke tanah. Fondasi ini biasanya memiliki panjang yang lebih pendek dan diameter yang lebih kecil dari fondasi sumur. Tanah pendukung juga dikenal sebagai fondasi tiang pancang, dapat ditemukan 10 meter di bawah permukaan tanah. Fondasi tiang dapat dilihat pada Gambar 2.7.



**Gambar 2. 7** Pondasi Tiang (*Pile Foundation*) (Sosrodarsono 1990)

Berdasarkan metode pelaksanaannya, fondasi tiang pancang dikategorikan sebagai berikut::

1. Fondasi tiang pancang (*driven pile*)

Untuk pemasangan fondasi tiang ini melibatkan pencetakan dan kemudian menekan bahan di tanah dalam bentuk persegi atau bulat.

2. Fondasi tiang bor (*bored pile*)

Untuk emasangan pondasi tiang pancang ini melibatkan pengeboran tanah sampai kedalaman tertentu. Setelah itu, beton dicor di atas tulangan baja.

3. Kaison (*caisson*)

Bentuk pondasi tiang pancang adalah kotak atau silinder yang telah dicetak sebelum dimasukkan ke dalam tanah sampai kedalaman tertentu dan dicor dalam beton. Tiang bor berdiameter besar adalah nama lain dari tiang pancang Kaison.

Tergantung pada jenis tiang dan bagaimana mentransfer beban ke tanah dasar pondasi, Hal ini tergantung pada jenis pondasi yang akan mendukung beban kerja, yaitu :

- a. Beban akan diterima jika daya dukung pondasi mencapai tanah keras di ujung pondasi tiang.
- b. Beban yang akan diterima tiang akan tertahan di antara tiang dan tanah di sekitar pondasi jika tiang berada di atas tanah dengan nilai kuat

gesek yang tinggi (jenis tanah pasir). *Friction Pile* adalah nama yang diberikan untuk tiang jenis ini. .

- c. Perekat antara tanah yang mengelilingi permukaan tiang menahan beban yang diterima oleh beban pada tiang jika tiang tersebut berada di dasar tanah pondasi dengan nilai kohesi yang tinggi. Tiang Perekat adalah nama lain dari tiang ini.

## 2.6 Fondasi Tiang Pancang (*Driven Pile*)

Fondasi tiang pancang ini berbentuk tiang yang ditancapkan ke dalam tanah. Fondasi ini digunakan jika lapisan tanah keras letaknya jauh dari permukaan tanah dan beban bangunan sangat besar. Umumnya fondasi ini digunakan untuk fondasi jembatan, Gedung pencakar langit, jalan tol, dan sebagainya.

Perencanaan fondasi tiang harus memperhatikan hal-hal berikut:

- a. Besar beban bangunan, daya dukung tanah, dan situasi bangunan disekitar lokasi proyek.
- b. Diameter, jenis, panjang, jumlah, dan susunan kelompok tiang;
- c. Beban horizontal dan vertikal untuk tiap-tiap tiang;
- d. Memperkirakan penurunan tanah.

Pengaturan tiang-tiang fondasi perlu memperhatikan hal-hal berikut:

- a. Tiang harus memiliki kualitas bahan dan diameter yang sama;
- b. Jika gaya horizontal yang bekerja pada tiang terlalu besar untuk ditahan oleh tiang vertikal, diperlukan tiang yang dipasang miring;
- c. Jarak antar tiang satu dengan yang lainnya antara 0.60-2 m.

Berdasarkan cara penyaluran beban ke dalam tanah, fondasi tiang dibedakan menjadi dua yaitu: fondasi tiang dengan penahan ujung (*end bearing pile*) dan fondasi tiang dengan penahan gesekan (*friction pile*).

- a. Fondasi tiang dengan penahan ujung (*end bearing pile*)

Tiang-tiang dipancang melesak ke dalam tanah sampai ujung tiang menyentuh lapisan batuan yang keras. Beban bangunan diteruskan dari tiang ke lapisan batuan keras.

- b. Fondasi tiang dengan penahan gesekan (*friction pile*)

Fondasi ini meneruskan beban ke dalam tanah melalui gesekan antara tiang dengan tanah disekelilingnya. Sebagai gambaran, bila kita menginjak lumpur, saat kaki diangkat terasa berat seakan-akan sepatu yang kita pakai menempel pada lumpur tersebut.

### 2.6.1 Klasifikasi Fondasi Tiang Pancang

Klasifikasi dari tiang pancang ini dikategorikan berdasarkan bahan yang dibuat dan berdasarkan cara pembuatannya :

- a. Fondasi tiang pancang kayu

Fondasi tiang pancang kayu merupakan fondasi tiang yang pertama kali digunakan. Jenis fondasi ini banyak diterapkan dalam konstruksi rumah adat panggung di Indonesia, seperti rumah adat suku Toraja (Rumah Tongkonan) dari Sulawesi Selatan dan rumah adat suku Dayak (Rumah Betang) dari Kalimantan Barat. Pondasi tiang pancang kayu ditunjukkan pada Gambar 2.8.



Gambar 2.8 Pondasi Tiang Pancang Kayu (Sosrodarsono 1990)

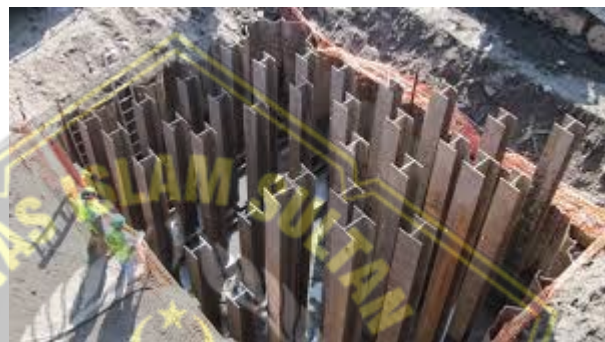
- b. Fondasi tiang pancang baja

Fondasi tiang pancang baja umumnya menggunakan baja berbentuk H. Baja lebih tahan terhadap momen lentur sehingga resiko patah saat transportasi dan proses pemancangan dapat diminimalisir.

Tiang pancang baja sangat dipengaruhi oleh karat. Tingkatan karat dipengaruhi oleh tekstur tanah dan tingkat kelembapan tanah. Jika tekstur tanah kasar, tingkat karat mendekati karat yang terjadi di udara terbuka. Jika kadar oksigen dalam tanah sedikit, tingkat karat mendeati karat yang terjadi karena

terendam air. Jika tiang baja diletakkan pada lapisan tanah yang padat dan letaknya sangat dalam, resiko karat akan rendah karena kadar oksigennya sangat sedikit.

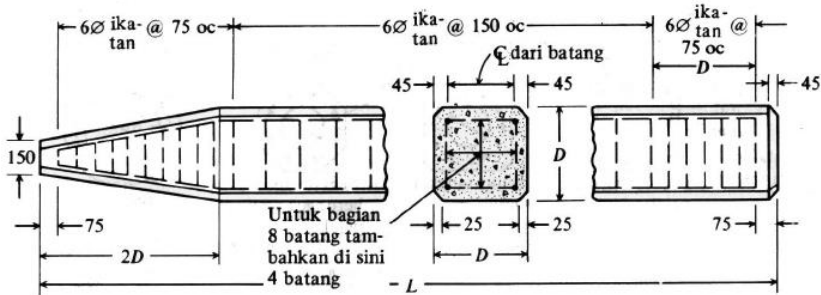
Umumnya, tiang pancang baja akan berkarat di bagian atas yang dekat dengan permukaan tanah. Hal ini disebabkan adanya udara pada pori-pori tanah dan adanya bahan-bahan organik dari air tanah. Cara penanggulangannya dengan memoles tiang baja dengan cat anti karat. Fondasi tiang baja ditunjukkan pada Gambar 2.9.



**Gambar 2. 9** Fondasi Tiang Baja Profil (Agnes Dwiyanti Winoto 2017)

c. Fondasi tiang pancang beton precast

Tiang beton pracetak dicetak, dirawat, dan disimpan di lapangan atau di pabrik sebelum didirikan, seperti namanya. Tiang jenis ini dapat memiliki berbagai bentuk penampang, tetapi yang paling umum adalah lingkaran, kotak, segitiga, dan segi delapan. Selain memikul beban yang dibutuhkan, pondasi tiang pancang beton pracetak harus dirancang untuk menahan gaya dan momen lentur yang terjadi selama perencanaan serta tegangan yang terjadi selama pemancangan. Gambar 2.10 menggambarkan pondasi tiang pancang beton pracetak.



**Gambar 2. 10** Pondasi Tiang Beton Pracetak (Sosrodarsono 1990)

d. Fondasi tiang beton pratekan

Tiang pancang beton pratekan lebih kuat dan kecil kemungkinannya rusak saat diangkat atau didorong. Bila tiang panjang dengan daya dukung tinggi diperlukan, tiang jenis ini adalah pilihan yang sangat baik. Untuk mengurangi berat keseluruhan tiang, bagian tengahnya dapat dilubangi. Gambar 2.11 menggambarkan pondasi tiang pancang beton pratekan.

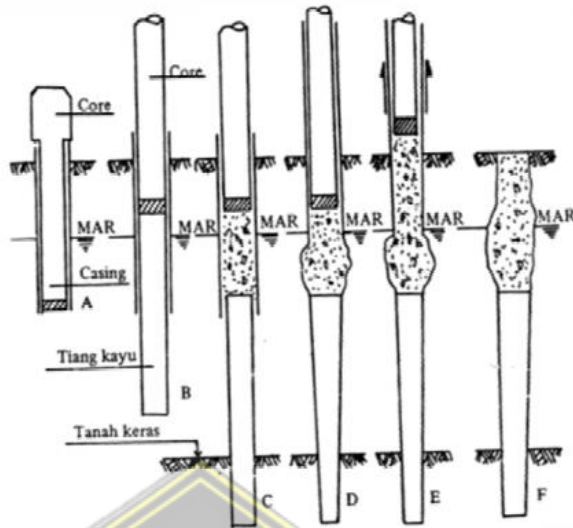


**Gambar 2. 11** Pondasi Tiang Beton Pratekan (Suyono Sosrodarsono dan Kazuto Nakazawan 1990)

e. Fondasi tiang pancang komposit

Fondasi dengan tiang komposit menggabungkan dua bahan yang berbeda untuk membentuk satu tiang, seperti baja dan beton atau kayu dan beton. Tiang komposit dapat berupa segmen yang menyambung, atau dapat berupa bahan beton yang dituangkan ke dalam pipa baja.

Karena ikatan antara kedua bahan tersebut menyebabkan masalah sambungan segmen, terutama pada beton dan kayu, metode ini tidak lagi digunakan. Padahal ikatan beton dan baja cukup baik. Gambar 2.12 menggambarkan pondasi tiang komposit kayu dan beton.



**Gambar 2. 12 Fondasi Tiang Komposit Kayu dan Beton**

### 2.6.2 *Fondasi Tiang Pancang Berdasarkan Cara Pemasangan*

1. Tiang pancang pracetak
 

Setelah tiang pancang baru yang kuat dapat dipancang, tiang pracetak adalah tiang pancang yang dicetak dan dicor di bekisting. Pemasangan tiang pracetak adalah sebagai berikut:

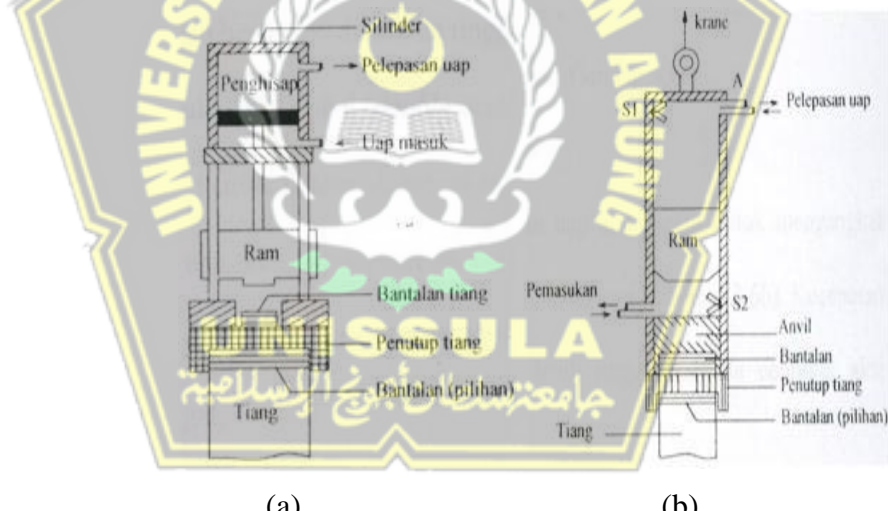
  - a. Cara penumbukan : cara pemasangan ini dilakukan dengan cara tiang pancang dipancang ke dalam tanah menggunakan alat penumbuk yang disebut *hammer*.
  - b. Cara penggetaran : tiang pancang dipancang menggunakan alat penggetar yang disebut *vibrator*.
  - c. Cara penanaman : cara pemasangan ini terlebih dahulu dibuat lubang di permukaan tanah yang akan dilakukan pemancangan baru setelah itu tiang pancang dimasukkan ke dalam lubang tersebut kemudian ditimbun kembali dengan menggunakan tanah.
2. Tiang yang dicor di tempat (*cast in place pile*)

Tiang dicor di tempat ini ada beberapa cara menurut teknik penggaliannya yakni :

- Cara penetrasi alas, metode ini dilakukan terlebih dahulu pipa baja dipancang ke dalam tanah kemudian diisi dengan beton sampai terisi penuh.
- Cara penggalian, metode penggalian dapat dilakukan dengan tenaga manusia dan dengan tenaga mesin. Pada penggalian dengan tenaga manusia ini dilakukan untuk kedalaman yang tidak terlalu dalam, sementara penggalian dengan tenaga mesin dilakukan dengan cara membuat lubang dengan menggunakan mesin yang tentunya pekerjaan menjadi lebih cepat dan efisien.

### 2.6.3 Alat Tiang Pancang

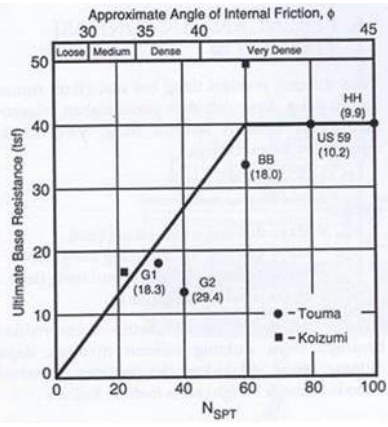
Dalam proses pekerjaan fondasi tiang pancang agar fondasi ini dapat berdiri sempurna dan mampu menahan beban dari gedung, diperlukan proses pemasangan yang benar. Proses pemasangan yang benar pun perlu alat-alat pemukul tiang pancang yang baik juga. Berikut skema gambar macam-macam alat pemukul pancang yang ditinjukkan pada Gambar 2.13.



(a)

(b)





**Gambar 2. 14** Grafik Hubungan Tahanan Ujung Ultimit dengan N<sub>SPT</sub> Tanah Non-Kohesif (Reese, L.C. & Wright 1977)

Pada tanah kohesif untuk mendapatkan nilai  $q_p$  digunakan rumus sebagai berikut:

$$C_u = N_{SPT} \times \frac{2}{3} \times 10 \quad \dots\dots\dots(2.2)$$

$$q_p = 9 \times C_u \quad \dots\dots\dots(2.3)$$

$$Q_p = A_p \times q_p \quad \dots\dots\dots(2.4)$$

Sementara pada tanah non-kohesif untuk mendapatkan nilai  $Q_p$  digunakan rumus sebagai berikut :

Untuk  $N \leq 60$ , maka :

$$Q_p = 7 \times \frac{N_1 + N_2}{2} \times A_p \quad \dots\dots\dots(2.5)$$

### b. Daya Dukung Aksial Selimut Tiang

Rumus daya dukung ultimit selimut tiang adalah sebagai berikut:

$$Q_s = f \times L_i \times k_{ll} \quad \dots\dots\dots(2.6)$$

Dimana :

$Q_s$  = Daya dukung *ultimate* selimut tiang (ton)

$f$  = Gesekan selimut persatuan luas (ton/m<sup>2</sup>)

$L_i$  = Panjang kedalaman (m)

$k_{ll}$  = Keliling penampang tiang (m)

Gesekan selimut tiang persatuan luas ( $f$ ) pada metode Reese & Wright, ditentukan dan dipengaruhi oleh parameter kuat geser tanah dan juga jenis tanah.

Untuk tanah kohesif nilai gesekan selimut persatuan luas ( $f$ ) dinyatakan dalam rumus sebagai berikut :

$$f = \alpha \times Cu \dots \dots \dots \quad (2.7)$$

Sementara untuk tanah non-kohesif nilai  $f$  dinyatakan dengan rumus sebagai berikut :

$$f = 0,32 \times N_{SPT} \dots \dots \dots \quad (2.8)$$

Dimana :

$f$  = Gesekan selimut tiang ( $\text{ton/m}^2$ )

$\alpha$  = Faktor adhesi

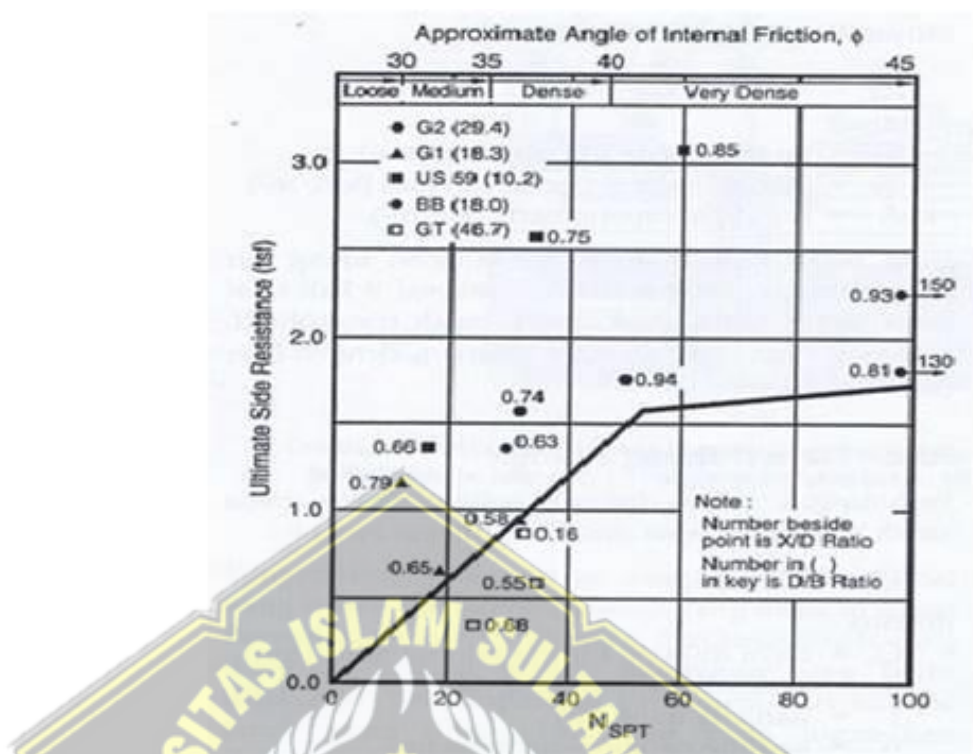
- Berdasarkan pada penelitian Reese & Wright (1977) faktor adhesi ( $\alpha$ ) = 0,55

- Berdasarkan penelitian dari Kullway (1984), pada Grafik *Undrained Shearing Resistance VS Adhesion Factor*

$Cu$  = Kohesi tanah ( $\text{ton/m}^2$ )

$N_{SPT}$  = Nilai SPT per lapis tanah

Menurut penelitian Reese & Wright, nilai  $\alpha$  dapat diambil dengan nilai 0,55 untuk tanah kohesif. Sementara untuk tanah yang sifatnya non-kohesif, nilai gesekan selimut tiang ( $f$ ) untuk  $N < 53$  ialah  $0,32 N$  ( $\text{ton/m}^2$ ) dan untuk  $53 < N \leq 100$  maka nilai gesekan selimut tiang ( $f$ ) didapatkan dari korelasi langsung dengan  $N$ -SPT seperti pada Gambar 2.15 berikut:



**Gambar 2. 15** Grafik Hubungan antara Tahanan Selimut dengan N<sub>SPT</sub> (Reese & Wright, 1977)

### 2.7.2 Metode Meyerhoff

Pada metode Meyerhoff ini perhitungan kapasitas daya dukung tanah fondasi menggunakan hasil SPT. Persamaan yang digunakan pun terbagi menjadi dua yakni persamaan pada tanah kohesif dan non-kohesif. Sebelum dilakukan perhitungan terlebih dahulu dilakukan peninjauan terhadap tanah untuk menentukan kohesifitasnya. Klasifikasi tanah berdasarkan sifat lekatnya dibagi menjadi dua jenis yakni :

1. Tanah kohesif adalah tanah yang memiliki sifat lekatan antar butir-butirnya seperti tanah lempung (mengandung lempung yang sangat banyak)
2. Tanah non kohesif adalah tanah yang tidak mempunyai atau sedikit sekali lekatan antar butir-butirnya seperti pasir (pasir hamper tidak mengandung lempung).

Menurut (Mayerhof 1965) pada tanah kohesif dinyatakan dalam persamaaan sebagai berikut :

- Ujung tiang (Q<sub>p</sub>)

$$Cu = N \cdot SPT \times 2/3 \times 10 ..... (2.9)$$

$$Q_p = 9 \times Cu \times A_p ..... (2.10)$$

Dimana :

Q<sub>p</sub>= Daya dukung ujung tiang (kN)

Cu= Kohesi tanah (kN/m<sup>2</sup>)

A<sub>p</sub>= Luas penampang tiang (m<sup>2</sup>)

- Selimut tiang (Q<sub>s</sub>)

$$Q_s = \alpha \times Cu \times kll \times L_i ..... (2.11)$$

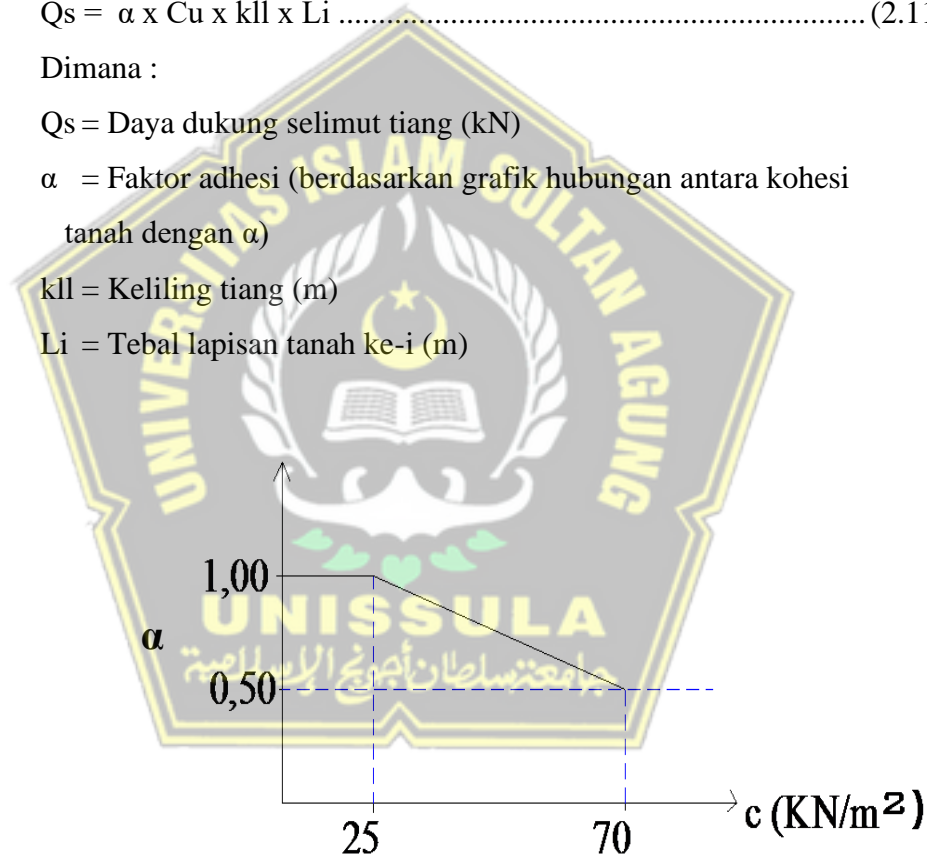
Dimana :

Q<sub>s</sub> = Daya dukung selimut tiang (kN)

$\alpha$  = Faktor adhesi (berdasarkan grafik hubungan antara kohesi tanah dengan  $\alpha$ )

kll = Keliling tiang (m)

L<sub>i</sub> = Tebal lapisan tanah ke-i (m)



**Gambar 2. 16** Grafik Hubungan antara (Cu) dengan ( $\alpha$ )

(Hardiyatmo 2018)

Sementara pada tanah non-kohesif menurut Meyerhof dapat dinyatakan dalam persamaan berikut :



Dimana:

$N_c$  = faktor kapasitas dukung bawah ujung tiang pancang

$Q_e$  = Kapasitas dukung ujung tiang ( $\text{kg}/\text{cm}^2$ )

$A$  = luas penampang tiang pancang ( $\text{cm}^2$ )

$C$  = kohesi yang terdapat pada ujung tiang ( $\text{kg}/\text{cm}^2$ )

Untuk tanah berbutir kasar ( $\phi$ -*soils*), Tomlinson memberikan persamaan kapasitas dukung ujung yaitu :

$$Q_c = A_p \times q \times N_q \dots \dots \dots \dots \quad (2.16)$$

Dimana :

$Q_c$  = kapasitas dukung ujung yang didapat dari tanah dibawah ujung pondasi ( $\text{kg}/\text{cm}^2$ )

$N_q$  = faktor kapasitas dukung

$q$  = *effective overburned pressures* =  $\sum (\gamma \cdot h_i)$  ( $\text{kg}/\text{cm}^2$ )

Untuk tanah pada umumnya ( $c-\phi$  soils), Tomlinson memberikan persamaan kapasitas dukung ujung :

$$Q_c = A_p (c \times N_c + q \times N_q) \dots \dots \dots \dots \quad (2.17)$$

Dimana :

$Q_c$  = kapasitas dukung ujung yang didapat dari tanah dibawah ujung pondasi ( $\text{kg}/\text{cm}^2$ )

$A_p$  = luas penampang tiang pancang ( $\text{cm}^2$ )

$q$  = *effective overburned pressure* ( $\text{kg}/\text{cm}^2$ )

$c$  = kohesi yang terdapat pada ujung tiang pancang ( $\text{kg}/\text{cm}^2$ )

$N_q$  = faktor kapasitas dukung

- Daya Dukung selimut Tanah Pondasi Satu Tiang (*Single Pile*)

Cara α dari Tomlinson dapat digunakan untuk tanah berbutir halus ( $c$ -*soils*), maupun tanah pada umumnya ( $c-\phi$  soils).





$Se_{(1)}$  = Penurunan elastis tiang pancang (mm)

$Se_{(2)}$  = Penurunan tiang pancang dikarenakan beban pada ujung tiang (mm)

$Se_{(3)}$  = Penurunan tiang pancang dikarenakan beban yang ditransmisikan sepanjang kulit tiang (mm)

Total penurunan ( $Se$ ) didapat dengan hasil penjumlahan satu persatu perhitungan  $Se_{(1)}$ ,  $Se_{(2)}$  dan  $Se_{(3)}$  dengan persamaan sebagai berikut :

- Nilai  $Se_{(1)}$  diperoleh dari :

$$Se_{(1)} = \frac{(Qwp + \xi Qws)L}{Ap \times Ep} \dots\dots\dots (2.25)$$

- Untuk nilai  $Se_{(2)}$  diperoleh dari :

$$Se_{(2)} = \frac{Qwp \times Cp}{D \times qp} \dots\dots\dots (2.26)$$

- Dan untuk nilai  $Se_{(3)}$  diperoleh dari :

$$Se_{(3)} = \frac{Qws \times Cs}{L \times qp} \dots\dots\dots (2.27)$$

Dimana :

$Qwp$  = Daya dukung ijin ujung tiang (kN)

$Qws$  = Daya dukung ijin selimut tiang (kN)

$\xi$  =  $0,5 - 0,67$

$L$  = Panjang tiang pancang (m)

$Ap$  = Luas penampang tiang pancang ( $m^2$ )

$Ep$  = Modulus Elastisitas

$Cp$  = Nilai koefisien (dari tipe tanah berdasarkan jenis pondasi)

$Cs$  = Konstanta empiris  $(0,93 + 0,16 \sqrt{L/D}) \times Cp$

$D$  = Diameter tiang pancang (m)

$qp$  = Daya dukung ujung tiang per satuan luas ( $kN/m^2$ )

**Tabel 2. 3** Nilai Koefisien C<sub>p</sub>

| Jenis Tanah                  | Tiang Pancang | Tiang Bor |
|------------------------------|---------------|-----------|
| Pasir (padat hingga lepas)   | 0,02-0,04     | 0,09-0,18 |
| Lempung (teguh hingga lunak) | 0,02-0,03     | 0,03-0,06 |
| Lanau (padat hingga lepas)   | 0,03-0,05     | 0,09-0,12 |

(Sumber : (Manual Pondasi Tiang))

**Tabel 2. 4** Interval Nilai Modulus Elastisitas untuk Berbagai Tanah

| Jenis Tanah             | Harga Modulus Elastisitas |             |
|-------------------------|---------------------------|-------------|
|                         | Kg/cm <sup>2</sup>        | Psi         |
| Tanah liat sangat lunak | 3,5-30                    | 50-400      |
| Tanah liat lunak        | 20-50                     | 250-600     |
| Tanah liat sedang       | 40-80                     | 600-1200    |
| Tanah liat keras        | 70-180                    | 1000-2500   |
| Tanah liat berpasir     | 300-400                   | 4000-6000   |
| Pasir berlanau          | 70-200                    | 1000-3000   |
| Pasir lepas             | 100-250                   | 1500-3500   |
| Pasir padat             | 500-800                   | 7000-12000  |
| Pasir padat dan grosok  | 1000-2000                 | 14000-28000 |

(Sumber :(Sosrodarsono 1990))

### 2.9.2 Penurunan Fondasi Kelompok Tiang

Penurunan satu tiang sendiri biasanya kecil dan umumnya diabaikan dalam perencanaan fondasi di atas satu tiang. Akan tetapi, penurunan kelompok tiang biasanya akan lebih besar daripada penurunan satu tiang tersendiri, dan ada kalanya akan puluhan kali lebih besar. Menurut Vesic penurunan pondasi kelompok tiang ini dapat dinyatakan dengan persamaan berikut :

$$S_g = S \cdot \sqrt{\frac{B_g}{D}} \dots \dots \dots \quad (2.28)$$

Dimana :

S<sub>g</sub> = penurunan kelompok tiang (cm)

S = penurunan pondasi tiang tunggal (cm)

B<sub>g</sub> = lebar kelompok tiang (cm)

D = diameter atau sisi tiang tuanggal (cm)

## 2.10 Perhitungan Pile Cap

Untuk menentukan berat sendiri pile cap maka diperlukan rumus sebagai berikut :

$$W = (P_{pilecap} + L_{pilecap}) \times \text{berat jenis beton} \dots \dots \dots (2.29)$$

Maka total beban yang diterima pile cap :

$$\Sigma Pv = Pu + W \dots \dots \dots (2.30)$$

Untuk menentukan beban maksimum pile cap dapat dihitung dengan menggunakan rumus pada persamaan : 2.21.

$$P = \frac{\Sigma Pv}{n} \pm \frac{Mx.yi}{nx.\Sigma y^2} \pm \frac{My.xi}{ny.\Sigma x^2} \dots \dots \dots (2.31)$$

Untuk perhitungan tinggi pile cap dapat digunakan menggunakan rumus berikut :

### Kontrol tegangan geser dua arah

$$dx = h - \text{selimut beton} - \text{diameter tulangan} \dots \dots \dots (2.32)$$

$$\beta c = c_1/c_2 \dots \dots \dots (2.33)$$

$$bo = 2 \times (c_1 + d) + 2 \times (c_2 + d) \dots \dots \dots (2.34)$$

### Perhitungan kuat geser beton

$$Vc = \left(1 + \frac{2}{\beta c}\right) \times \frac{\lambda x (f_c^{0,5}) \times bo \times d}{6} \dots \dots \dots (2.35)$$

Vu dihitung berdasarkan tiang yang berada di luar bidang kritis dua arus, Maka :

$$Vu = P_1 + P_2 \dots \dots \dots (2.36)$$

### Kontrol kuat geser

Dalam memperhitungkan gaya tekan ke atas, digunakan rumus pada persamaan 2.26

$$Vc = 0,33 \times \lambda \times (f_c^{0,5}) \times bo \times d \dots \dots \dots (2.37)$$

Dimana dx dan bo didapat dari :

$$dx = h - \text{selimut beton} - \text{diameter tulangan} \dots \dots \dots (2.38)$$

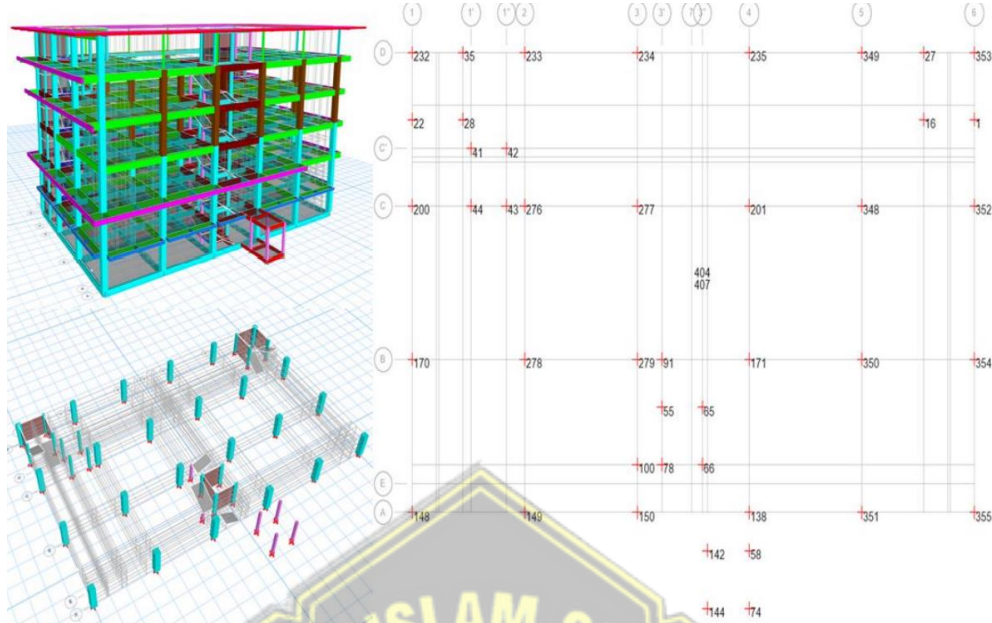
$$bo = 2 \times (c_1 + d) + 2 \times (c_2 + d) \dots \dots \dots (2.39)$$



bangunan gedung. Dengan menggunakan alat bantu ini maka proses perhitungan struktur menjadi lebih cepat dengan tingkat ketelitian yang tinggi. Di dalam menyusun input dari program aplikasi komputer ETABS 18.1 diperlukan pemahaman dan pengertian tentang pemodelan dari bangunan gedung yang dimodelkan ke dalam program ETABS18.1. Untuk mendefinisikan bangunan gedung ke dalam model maka model harus dapat mewakili dari kondisi bangunan gedung yang ada, sehingga model akan mempresentasikan dari bangunan gedung yang sebenarnya. Model yang telah di *running* akan memberikan output dari model bangunan gedung dan dapat digunakan untuk penggambaran detail dari elemen struktur gedung.

ETABS sangat relevan untuk desain struktur bagunan gedung bertingkat/*high rise building* dengan memperhitungkan beban berat sendiri struktur, beban hidup, beban angin, dan beban gempa. beban gempa akan dipelajari dalam 2 analisis yaitu dengan beban respon spektrum *function* dan dengan *time history function*. dengan demikian, analisis gempa dan angin dapat secara otomatis dihitung dengan memodifikasi nilai-nilai koefisien faktor dari peraturan ACI dan IBC sehingga sesuai dengan peraturan SNI yang berlaku di Indonesia.

Acuan yang digunakan dalam analisis pembebanan ini digunakan prinsip perencanaan pembebanan pada rumah dan gedung (SNI 1726:2019 2019), perhitungan struktur beton bangunan gedung (Badan Standarisasi Nasional Indonesia 2019) serta perencanaan ketahanan gempa bangunan gedung (SNI 1726:2019 2019).



**Gambar 2.18** Contoh Desain Bangunan Menggunakan ETABS

## 2.12 Analisa Menggunakan Program Plaxis

Program Plaxis 8.6 adalah program analisis geoteknik yang dipilih karena dapat menganalisa stabilitas tanah dengan menggunakan metode elemen hingga yang mampu melakukan analisis yang dapat mendekati perilaku sebenarnya. Plaxis 8.6 ini juga merupakan salah satu suatu program desain yang menyediakan berbagai analisis tentang *displacement*, tegangan-tegangan yang terjadi pada tanah, faktor keamanan lereng dan lain-lain.

Plaxis adalah sebuah paket program yang disusun berdasarkan metode elemen hingga yang telah dikembangkan secara khusus untuk melakukan analisis deformasi dan stabilitas dalam bidang rekayasa geoteknik. Prosedur pembuatan model secara grafis yang mudah memungkinkan pembuatan suatu model elemen hingga yang rumit dapat dilakukan dengan cepat, sedangkan berbagai fasilitas yang tersedia dapat digunakan untuk menampilkan hasil komputasi secara mendetail. Proses perhitungannya sendiri sepenuhnya berjalan secara otomatis dan didasarkan pada prosedur numerik yang handal. Konsep ini memungkinkan para pemula untuk dapat

menggunakan paket program ini hanya dengan mengikuti beberapa jam pelatihan saja.

### 2.13 Analisa Menggunakan Program *Allpile*

Program Allpile adalah salah satu program dalam bidang geoteknik yang dibuat khusus dalam menganalisa kapasitas pembebanan tiang secara efisiensi dan akurat. Program ini digunakan untuk menentukan berapa besar penurunan yang terjadi pada Proyek Pembangunan Gedung Kelas Politeknik PU Semarang terutama pada perencanaan penggunaan Fondasi Tiang Pancang, dan sebagai pembanding hasil perhitungan manual.

Program Allpile adalah program teknik sipil yang bertujuan mendesain pondasi secara sederhana dengan hasil output meliputi Total *Ultimate Capacity (Down)*, Total *Ultimate Capacity (Up)*, Total *Allowable Capacity (Down)*, Total *Allowable Capacity (Up)*, *Settlement*, *At Work Load*, *Secant Stiffness Kqz*, *Allowable Settlement*, *Capacity*, *Factor Safety*. Proses kalkulasinya dilakukan berdasarkan pada prosedur numerik yang baku. Program Allpile dibagi menjadi tujuh program yang masing-masing program mempunyai fungsi yang berbeda-beda, yaitu :

#### 1. *Pile Type*

Yang berisi tipe pondasi dan judul pekerjaan yang dapat diisi nama pekerjaan atau informasi.

#### 2. *Pile Profile*

Yang berisi data-data pile meliputi panjang pile, jarak dari permukaan tanah, kemiringan pile, serta kemiringan permukaan tanah.

#### 3. *Pile Properties*

Yang berisi data-data properti dari pile yang digunakan meliputi diameter, material, inersia dll.

#### 4. *Load and Group*

Bagian ini berisi besarnya pembebanan yang diterima *pile*. Allpile menyediakan beberapa pilihan perhitungan baik itu *single pile* ataupun *group piles*. Juga menyediakan berbagai pilihan beban.

##### 5. *Soil Properties*

Yang berisi data tanah tempat pondasi yang akan dipancang. Isinya sesuai data tanah yaitu nilai N-SPT dan juga muka air tanah.

##### 6. *Advanced Page*

Yang dapat digunakan salah satunya apabila terjadi *zero skin friction* pada kedalaman tertentu atau menginput besarnya tip *resistance* (tahanan ujung). Juga ada pilihan untuk menentukan angka keamanan yang diinginkan.

##### 7. *Vertical*

Toolbar untuk me-*Run* atau hasil *output Allpile* dari memasukkan data mulai dari *pile type* sampai *advanced page*.

#### **2.14 Perbedaan dengan Penelitian Terdahulu**

Perbedaan penelitian yang saat ini kami lakukan dengan penelitian terdahulu atau sebelumnya ialah :

- Pembebatan struktur atas menggunakan *software ETABS 18.1*
- Lokasi penelitian yang berbeda, dari lokasi penelitian sudah berbeda sehingga kondisi geologi data tanah yang diperoleh pun tentunya juga berbeda.
- Objek yang digunakan menggunakan fondasi tiang pancang berjenis *spun pile*.
- Redesain Gedung, kami melakukan redesain terhadap penambahan jumlah lantai yang awalnya 5 lantai menjadi 7 lantai.

## **BAB III**

### **METODOLOGI PENELITIAN**

#### **3.1 Pendahuluan**

Metode Penelitian ini memiliki tujuan untuk merencanakan dan menganalisis fondasi tiang pancang pada proyek Pembangunan Gedung Kelas Politeknik Pekerjaan Umum Semarang yang terdiri atas 5 lantai dan akan *redesign* ulang menjadi 7 lantai dengan menganalisis pembebanan menggunakan program ETABS serta perhitungan fondasi menggunakan Plaxis dan program AllPile.

#### **3.2 Bahan dan Alat**

Dalam pelaksanaan survei lapangan dan pengolahan data diperlukan alat dan juga bahan yang digunakan untuk mempermudah penggeraan tugas akhir ini adalah sebagai berikut :

##### **3.2.1 Bahan**

Adapun bahan yang digunakan adalah sebagai berikut :

- Gambar Kerja
- Data Tanah

##### **3.2.2 Alat**

Adapun alat yang digunakan adalah sebagai berikut :

- Program Microsoft Excel
- Program ETABS
- Program Plaxis
- Program AllPile

#### **3.3 Metode Pengolahan Data**

Metode pengolahan data menjelaskan mengenai prosedur atau tahapan yang akan digunakan untuk mengolah data yang diperoleh dari pengumpulan data baik primer maupun sekunder. Dalam tahapan yang akan digunakan untuk perhitungan perencanaan fondasi tiang pancang yaitu sebagai berikut :

a. Pembebanan Struktur Atas

Melakukan perhitungan pembebanan menggunakan program ETABS berdasarkan gambar kerja dan berdasarkan data yang ada pada pembebanan SNI untuk data yang belum tercantum pada gambar kerja.

b. Perhitungan Daya Dukung dan Penurunan Fondasi Tiang Pancang

Melakukan perhitungan terhadap penurunan daya dukung fondasi tiang pancang pada proyek pembangunan Gedung Kelas Politeknik Pekerjaan Umum Semarang menggunakan perhitungan manual dan dengan menggunakan *software* Plaxis serta AllPile. Daya dukung dan penurunan pada pondasi tiang tunggal atau tiang kelompok dihitung yaitu untuk menentukan penurunan pondasi yang terjadi, dan hasilnya dimasukkan ke dalam tabel untuk perhitungan manual dan perangkat lunak.

### 3.3.1 Permodelan Menggunakan Program ETABS

Perhitungan beban bangunan menggunakan aplikasi ETABS berikut langkah-langkahnya :

- a. Model *frame 3D, new model*. Ganti satuan menjadi Kn, m, C lalu klik 3D model.
- b. Mengatur koordinat, klik kanan, lalu klik *Edit Grid data*.
- c. Lalu klik *define-materials-modify*
- d. Klik *define-section properties-frame section-* lalu pilih bahannya karena memakai beton jadinya pilih *concrete*.
- e. Lalu pilih bentuk sesuai kebutuhan dan klik *concrete reinforcement*.
- f. Untuk plat, klik *define-section properties-area section-modify*
- g. Setelah bahan dan material ditentukan, lalu seleksi batang sesuai dengan tipe materialnya, *assign-frame section*, lalu pilih propertisnya.
- h. Klik *define – load patterns* – lalu muncul dialognya, dan isi sesuai beban yang akan diinput.
- i. Selanjutnya membuat kombinasi beban yang akan digunakan berdasarkan SNI 1727-2019: 11 :
  - 1,4 D
  - 1,2 D + 1,6 L

- 1,2 D + L +RSX
  - 1,2 D + L + RSY
  - 0,9 D + RSX
  - 0,9 D + RSY
- j. Untuk pembebanan balok, seleksi dulu kemudian dibebani, klik *Assign-frame load – distributed*.
- k. Untuk beban mati dan hidup tambahan pada plat, seleksi plat yang akan dibebani, klik *assign – area load – uniform to frame*
- l. Masukkan beban gempa respon spektrum sesuai data yang diambil dari website [http://puskim.pu.go.id/Aplikasi/desain\\_spektra\\_indonesia](http://puskim.pu.go.id/Aplikasi/desain_spektra_indonesia) dan juga SNI 1726 : 2019. Caranya klik *define – funtions – respons spectrum-* pilih *IBC2006*
- m. Klik *define-load cases-modify* RSX dan RS
- n. Setelah semua data di input, klik *Analyze-run analyze-OK*

### **3.3.2 Permodelan Menggunakan Program Software Plaxis 8.6**

Berikut langkah-langkah perhitungan pada fondasi tiang pancang menggunakan perangkat lunak program plaxis :

- a. Langkah awal pada perhitungan plaxis yaitu menentukan satuan yang akan digunakan.
- b. Kemudian klik simbol untuk mengatur permodelan geometri tanah dan disesuaikan dengan tanah.
- c. Lalu klik simbol dan tentukan jenis material tanah yang akan digunakan dalam perencanaan.
- d. Untuk selanjutnya ulangi langkah 1 sampai langkah 3 untuk menentukan material tanah lainnya.
- e. Kemudian klik kembali kumpulan data material, selanjutnya pilih plat untuk membuat data tanah material *pile* sesuai hasil dari perhitungan.

- f. Klik simbol plat  untuk menentukan permodelan fondasi tiang pancang, emudian klik simbol  yaitu untuk menentukan tekanan positif dan tekanan negatif yang terdapat pada daerah keliling fondasi.
- g. Selanjutnya isilah data material ke permodelan sesuai dengan data material yang sebelumnya telah dibuat.
- h. Klik simbol  untuk memberi beban diatas fondasi tiang pancang.
- i. Lalu klik simbol  yang berfungsi untuk melihat berapa hasil susunan jaringan antar elemen.
- j. Kemudian klik simbol kondisi awal yang terdapat di *toolbar*.
- k. Klik simbol  untuk menambah berat isi air.
- l. Setelah penambahan berat isi air kemudian klik simbol  untuk mengaktifkan tekanan air pada pori.
- m. Klik simbol  yaitu untuk mengaktifkan tekanan air pori pada saat keadaan awal.
- n. Klik simbol  pada toolbar yang berfungsi untuk mengaktifkan tekanan efektif. Selanjutnya klik OK, sehingga muncul gambar, kemudian klik perbarui.
- o. Pada langkah terakhir klik simbol  yang fungsinya untuk melihat hasil perhitungan penurunan yang terjadi pada fondasi tersebut.

### **3.3.3. Permodelan Dengan Program AllPile**

Langkah-langkah perhitungan dengan program AllPile sebagai berikut :

- Memilih tipe fondasi yang akan digunakan, lalu menulis pada *project title* atau memberi judul.
- Profil fondasi, memasukkan data yang sudah direncanakan meliputi panjang fondasi keseluruhan, panjang fondasi yang akan dimunculkan diperlukaan, kemiringan tanah, kemiringan fondasi.
- Memasukkan data fondasi, data yang diperlukan adalah bentuk fondasi, material fondasi, tulangan, kendala fondasi, ukuran fondasi. Untuk luas penampang,

- inersia modulus elastisitas, berat fondasi akan terhitung sendiri dalam programnya apabila sudah memasukkan diameter fondasi.
- d. Pembebanan, didapat dari hasil perhitungan ETABS.
  - e. *Soil properties* atau data tanah, data ini didapat dari N-SPT. Dan tidak lupa memasukkan tinggi muka air tanah serta elevasi.
  - f. Tahap akhir perencanaan adalah memasukkan angka keamanan (SF)
  - g. Menjalankan program dengan mengklik toolbar yang bertuliskan vertical dan program akan segera memproses serta mendapatkan sangka-angka yang dibutuhkan.

### **3.3.4. Metode Perhitungan**

#### **i) Perhitungan Daya Dukung Fondasi Metode Resse and Wright**

- Untuk tanah non kohesif

$$Q_p = 7 \times \left( \frac{N_1 + N_2}{2} \right) \times A_p \text{ (lebih detailnya terdapat pada bab 2 rumus 2.4)}$$

- Untuk tanah kohesif

$$Q_p = A_p \times q_p \text{ (lebih detailnya terdapat pada bab 2 rumus 2.5)}$$

#### **ii) Perhitungan Daya Dukung Fondasi Metode Meyerhoff**

- Untuk tanah kohesif

$$Q_p = 9 \times C_u \times A_p \text{ (lebih detailnya terdapat pada bab 2 rumus 2.10)}$$

$$Q_s = \alpha \times C_u \times \text{keliling} \times L_i \text{ (lebih detailnya terdapat pada bab 2 rumus 2.11)}$$

- Untuk tanah non kohesif

$$Q_p = 40N_b \times A_p \text{ (lebih detailnya terdapat pada bab 2 rumus 2.12)}$$

$$Q_s = 0,2 \text{ N-SPT} \times p \times L_i \text{ (lebih detailnya terdapat pada bab 2 rumus 2.13)}$$

#### **iii) Perhitungan Daya Dukung Fondasi Metode Tomlinson**

$$Q_c = N_c \times c \times A_p$$

$$Q_f = \alpha \times c_u \times A_s + K \times q \tan(\delta) A_s$$

$$Q_{ult} = Q_e + Q_f \text{ (lebih detailnya terdapat pada bab 2 rumus 2.14)}$$

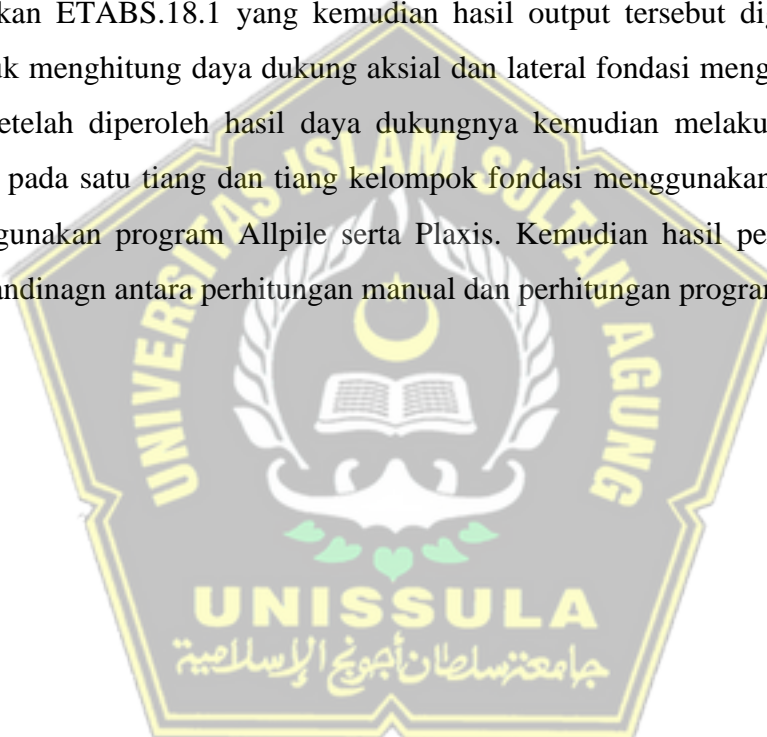
iv) Perhitungan Daya Dukung Fondasi Metode Brooms

$$Hu = \frac{2x My}{e + \frac{2f}{3}}$$

$$f = 0,82 \sqrt{\frac{Hu}{d x K_p x y}} \text{ (lebih detailnya terdapat pada bab 2 rumus 2.21)}$$

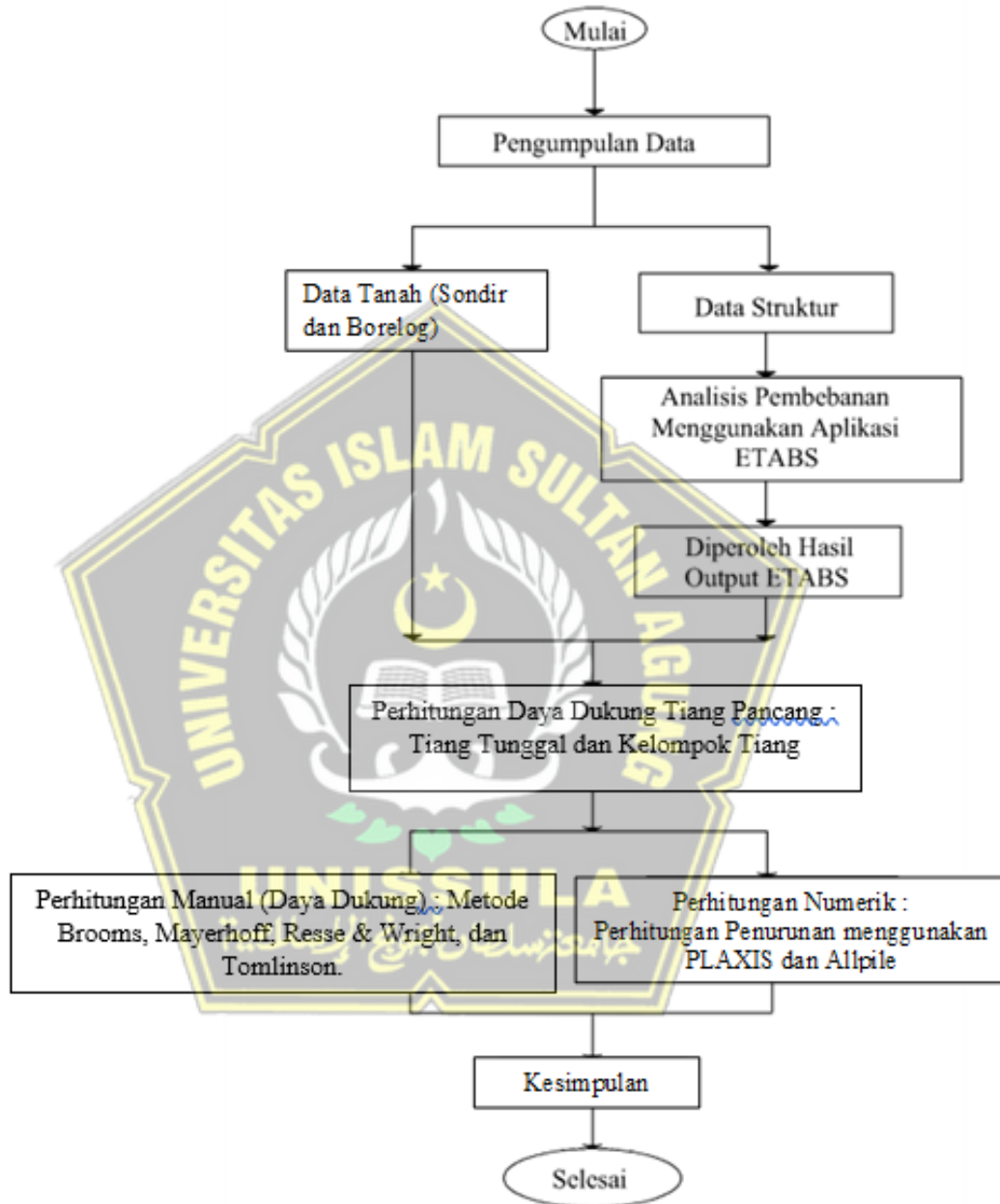
**3.3.5. Cara Pengolahan Data**

Pengolahan data ini diawali dengan melakukan analisa pembebanan aksial menggunakan ETABS.18.1 yang kemudian hasil output tersebut digunakan sebagai acuan untuk menghitung daya dukung aksial dan lateral fondasi menggunakan metode manual. Setelah diperoleh hasil daya dukungnya kemudian melakukan perhitungan penurunan pada satu tiang dan tiang kelompok fondasi menggunakan metode manual dan menggunakan program Allpile serta Plaxis. Kemudian hasil perhitungan dibuat table perbandingan antara perhitungan manual dan perhitungan program.



### 3.4 Metode Analisa

Diagram alir di bawah menunjukkan sistematika dalam menyusun laporan ini.



Gambar 3.1 Diagram Alir Analisis Fondasi Tiang Pancang

## BAB IV

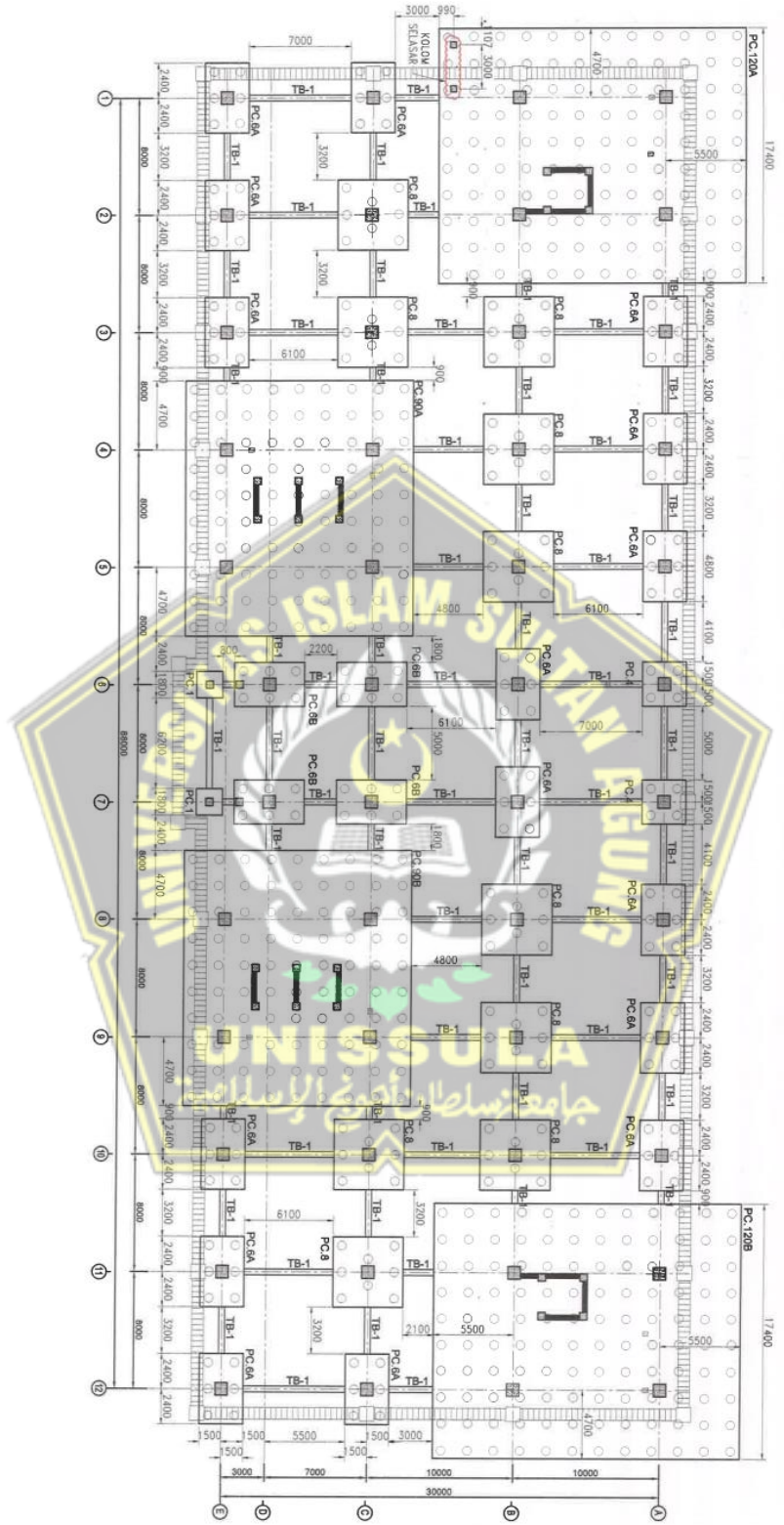
### HASIL DAN PEMBAHASAN

#### 4.1 Tinjauan Umum

Tahap analisa dan pembahasan pada bab ini adalah hasil analisa data yang diperoleh dari hasil pengolahan data pada Proyek Pembangunan Gedung Kelas Politeknik Pekerjaan Umum Semarang yang berada di jalan Arteri Soekarno Hatta Kel. Siwalan Kec. Gayamsari Kota Semarang dan pembahasan dari hasil-hasil perhitungan. Pada perencanaan fondasi proyek ini menggunakan fondasi tiang pancang diameter 600 mm. Untuk perencanaan ulang pada tugas akhir ini di rencanakan redesain yang awalnya 5 lantai menjadi 7 lantai.

Data yang tersedia akan digunakan untuk perhitungan perencanaan fondasi *driven pile*. Pada perhitungan daya dukung pondasi satu tiang (*single pile*) diambil dari data sondir dan dari data N-SPT dengan menggunakan metode Reese & Wright 1977, metode mayerhoff dan metode Tomlinson, serta untuk perhitungan daya dukung pondasi kelompok (*Group Pile*) menggunakan metode Converse-Labarre. Sedangkan pada perhitungan penurunan menggunakan metode vesic 1977 serta dilakukan perhitungan menggunakan software Plaxis dan Allpile sebagai banding.

Langkah awal yang dilakukan sebelum menghitung daya dukung dan penurunan pondasi adalah menghitung pembebanan dengan menggunakan ETABS versi 18.1 yang bertujuan untuk mengetahui besarnya beban yang akan diterima pondas, sesuai Tata Cara Perencanaan Ketahanan Gempa untuk Struktur Bangunan Gedung dan Non Gedung (SNI 1726:2019), dan Beban Minimum untuk Perancangan Bangunan Gedung dan Struktur Lain (SNI 1727:2020).



**Gambar 4. 1 Denah Pondasi (PT. Ciriajasa)**

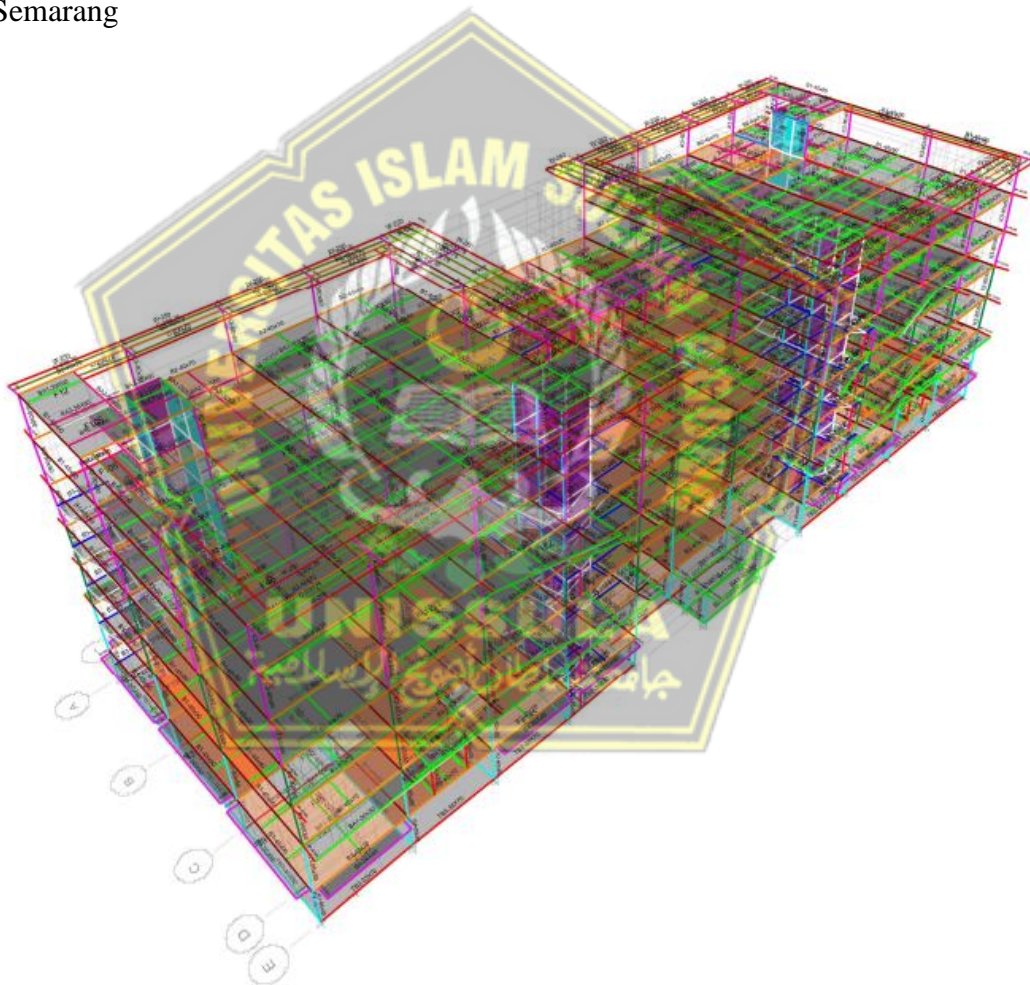
## 4.2 Permodelan Struktur Atas dengan Program *ETABS 18.1*

Tahap pemodelan pada struktur bagian atas menggunakan ETABS 18.1 untuk mengetahui gaya – gaya yang bekerja pada struktur bangunan hasil dari pembebanan. Pada balok dan kolom dimodelkan sebagai *shell*.

### 4.2.1 Data Bangunan

Data bangunan pada tugas akhir ini :

1. Nama bangunan = Gedung Kelas Politeknik Pekerjaan Umum Semarang
2. Lokasi bangunan = Jl.Arteri Soekarno Hatta Kel. Siwalan Kec. Gayamsari Kota Semarang



**Gambar 4. 2** Pemodelan Struktur Dengan Program ETABS 18.1

#### **4.2.2 Analisis Pembebanan Struktur**

Menurut Tata Cara Perencanaan Ketahanan Gempa untuk Struktur Bangunan Gedung dan Non Gedung (SNI 1726:2019), beban – beban diperhitungkan terdiri dari beban mati, beban hidup, dan beban gempa. Beban – beban tersebut dapat diuraikan seperti di bawah ini :

##### **1. Beban Mati (*dead load*)**

Beban mati adalah berat seluruh komponen konstruksi yang terpasang terhitung dari lantai, dinding, atap, tangga, bagian arsitektur serta bagian struktur lainnya. Pada pemodelan menggunakan ETABS versi 18.1 berat sendiri material dapat dihitung berdasarkan acuan SNI 1727:2020. Berikut ini adalah beban – beban yang bekerja pada struktur atas :

Pada bangunan ini menggunakan pelat yang mempunyai ketebalan sebesar 0,15 m sehingga beban pelatnya sendiri yaitu  $3,12 \text{ kN/m}^2$

➤ Beban mati pelat lantai GF :

$$\begin{aligned}\text{Berat pasir } 1 \text{ cm} &= 0,01 \text{ m} \times 16 \text{ kN/m}^2 \\ &= 0,16 \text{ kN/m}^2 \\ \text{Berat adukan semen } 3 \text{ cm} &= 0,03 \text{ m} \times 21 \text{ kN/m}^2 \\ &= 0,63 \text{ kN/m}^2 \\ \text{Berat keramik } 1 \text{ cm} &= 0,01 \text{ m} \times 24 \text{ kN/m}^2 \\ &= 0,24 \text{ kN/m}^2 \\ \text{Berat instalasi ME} &= 0,25 \text{ kN/m}^2 \\ \text{Berat langit-langit penggantung} &= 0,18 \text{ kN/m}^2 \\ \text{Berat total} &= 1,46 \text{ kN/m}^2\end{aligned}$$

Beban mati pada balok :

$$\begin{aligned} \text{Berat dinding } \frac{1}{2} \text{ bata, tinggi } 3,6 &= 3,6 \times 2,5 \text{ kN/m}^2 \\ &= 9 \text{ kN/m}^2 \end{aligned}$$

➤ Beban mati pelat lantai 2 :

$$\text{Berat pasir } 1 \text{ cm} = 0,01 \text{ m} \times 16 \text{ kN/m}^2$$

$$= 0,16 \text{ kN/m}^2$$

$$\text{Berat adukan semen } 3 \text{ cm} = 0,03 \text{ m} \times 21 \text{ kN/m}^2$$

$$= 0,63 \text{ kN/m}^2$$

$$\text{Berat keramik } 1 \text{ cm} = 0,01 \text{ m} \times 24 \text{ kN/m}^2$$

$$= 0,24 \text{ kN/m}^2$$

$$\text{Berat instalasi ME} = 0,25 \text{ kN/m}^2$$

$$\begin{aligned} \text{Berat langit-langit dan penggantung} &= 0,18 \text{ kN/m}^2 \end{aligned}$$

$$\text{Berat total} = 1,46 \text{ kN/m}^2$$

Beban mati pada balok :

$$\text{Beban dinding pasangan bata } \frac{1}{2} = 5,4 \times 2,5$$

$$\text{batu} = 13,5 \text{ kN/m}^2$$

➤ Beban mati pelat lantai 3 :

$$\text{Berat pasir } 1 \text{ cm} = 0,01 \text{ m} \times 16 \text{ kN/m}^2$$

$$= 0,16 \text{ kN/m}^2$$

$$\text{Berat adukan semen } 3 \text{ cm} = 0,03 \text{ m} \times 21 \text{ kN/m}^2$$

$$\begin{aligned}
 &= 0,63 \text{ kN/m}^2 \\
 \text{Berat keramik } 1 \text{ cm} &= 0,01 \text{ m} \times 24 \text{ kN/m}^2 \\
 &= 0,24 \text{ kN/m}^2 \\
 \text{Berat instalasi ME} &= 0,25 \text{ kN/m}^2 \\
 \text{Berat langit-langit dan penggantung} &= 0,18 \text{ kN/m}^2 \\
 \text{Berat total} &= 1,46 \text{ kN/m}^2
 \end{aligned}$$

Beban mati pada balok :

$$\begin{aligned}
 \text{Beban dinding pasangan bata } \frac{1}{2} &= 4,2 \times 2,5 \\
 \text{batu} &= 10,5 \text{ kN/m}^2
 \end{aligned}$$

➤ Beban mati pelat lantai 4 :

$$\begin{aligned}
 \text{Berat pasir } 1 \text{ cm} &= 0,01 \text{ m} \times 16 \text{ kN/m}^2 \\
 &= 0,16 \text{ kN/m}^2
 \end{aligned}$$

$$\begin{aligned}
 \text{Berat adukan semen } 3 \text{ cm} &= 0,03 \text{ m} \times 21 \text{ kN/m}^2 \\
 &= 0,63 \text{ kN/m}^2
 \end{aligned}$$

$$\begin{aligned}
 \text{Berat keramik } 1 \text{ cm} &= 0,01 \text{ m} \times 24 \text{ kN/m}^2 \\
 &= 0,24 \text{ kN/m}^2
 \end{aligned}$$

$$\text{Berat instalasi ME} = 0,25 \text{ kN/m}^2$$

$$\begin{aligned}
 \text{Berat langit-langit dan penggantung} &= 0,18 \text{ kN/m}^2 \\
 \text{penggantung} &
 \end{aligned}$$

$$\text{Berat total} = 1,46 \text{ kN/m}^2$$

Beban mati pada balok :

$$\begin{aligned}
 \text{Beban dinding pasangan bata } \frac{1}{2} &= 4,2 \times 2,5 \\
 \text{batu} &= 10,5 \text{ kN/m}^2
 \end{aligned}$$

➤ Beban mati pelat lantai 5 :

$$\begin{aligned}
 \text{Berat pasir 1 cm} &= 0,01 \text{ m} \times 16 \text{ kN/m}^2 \\
 &= 0,16 \text{ kN/m}^2 \\
 \text{Berat adukan semen 3 cm} &= 0,03 \text{ m} \times 21 \text{ kN/m}^2 \\
 &= 0,63 \text{ kN/m}^2 \\
 \text{Berat keramik 1 cm} &= 0,01 \text{ m} \times 24 \text{ kN/m}^2 \\
 &= 0,24 \text{ kN/m}^2 \\
 \text{Berat instalasi ME} &= 0,25 \text{ kN/m}^2 \\
 \text{Berat langit-langit dan penggantung} &= 0,18 \text{ kN/m}^2 \\
 \text{Berat total} &= 1,46 \text{ kN/m}^2
 \end{aligned}$$

Beban mati pada balok :

$$\begin{aligned}
 \text{Beban dinding pasangan bata } \frac{1}{2} &= 4,2 \times 2,5 \\
 \text{batu} &= 10,5 \text{ kN/m}^2
 \end{aligned}$$

➤ Beban mati pelat lantai 6 :

$$\begin{aligned}
 \text{Berat pasir 1 cm} &= 0,01 \text{ m} \times 16 \text{ kN/m}^2 \\
 &= 0,16 \text{ kN/m}^2 \\
 \text{Berat adukan semen 3 cm} &= 0,03 \text{ m} \times 21 \text{ kN/m}^2 \\
 &= 0,63 \text{ kN/m}^2
 \end{aligned}$$

|                                     |   |   |
|-------------------------------------|---|---|
| Berat keramik 1 cm                  | = | $0,01 \text{ m} \times 24 \text{ kN/m}^2$ |
|                                     | = | $0,24 \text{ kN/m}^2$                     |
| Berat instalasi ME                  | = | $0,25 \text{ kN/m}^2$                     |
| Berat langit-langit dan penggantung | = | $0,18 \text{ kN/m}^2$                     |
| Berat total                         | = | $1,46 \text{ kN/m}^2$                     |

Beban mati pada balok :

|  |   |                       |
|--|---|-----------------------|
| Beban dinding pasangan bata $\frac{1}{2}$ batu | = | $4,2 \times 2,5$      |
|  | = | $10,5 \text{ kN/m}^2$ |

➤ Beban mati pelat latai atas :

|                                     |   |   |
|-------------------------------------|---|---|
| Berat pasir 1 cm                    | = | $0,01 \text{ m} \times 16 \text{ kN/m}^2$ |
|                                     | = | $0,16 \text{ kN/m}^2$                     |
| Berat adukan semen 3 cm             | = | $0,03 \text{ m} \times 21 \text{ kN/m}^2$ |
|                                     | = | $0,63 \text{ kN/m}^2$                     |
| Berat keramik 1 cm                  | = | $0,01 \text{ m} \times 24 \text{ kN/m}^2$ |
|                                     | = | $0,24 \text{ kN/m}^2$                     |
| Berat instalasi ME                  | = | $0,25 \text{ kN/m}^2$                     |
| Berat langit-langit dan penggantung | = | $0,18 \text{ kN/m}^2$                     |
| Berat total                         | = | $1,46 \text{ kN/m}^2$                     |

Beban mati pada balok :

|  |   |                        |
|--|---|------------------------|
| Beban dinding pasangan bata $\frac{1}{2}$ batu | = | $3,95 \times 2,5$      |
|  | = | $9,875 \text{ kN/m}^2$ |

## 2. Beban Hidup (*live load*)

Beban hidup adalah berat yang diakibatkan oleh penggunaan bangunan dimana beban yang bekerja terjantung dari fungsi masing – masing ruang yang digunakan. Pada acuan (SNI 1727:2020) tentang Beban Minimum untuk Perencanaan Bangunan Gedung dan Struktur Lain, menyebutkan berat bangunan ini sebesar  $3,12 \text{ kN/m}^2$  (*lihat lampiran*).

## 3. Beban Gempa

### a. Faktor Keutamaan Struktur ( $I$ )

Berdasarkan (SNI 1726:2019) untuk bangunan gedung kelas mempunyai faktor keutamaan bangunan sebesar 1.5. dapat dilihat pada Tabel 4.1.

**Tabel 4. 1** Faktor Keutamaan Struktur

| Jenis pemanfaatan  | Kategori risiko |
|--|-----------------|
| Gedung dan nongedung yang dikategorikan sebagai fasilitas yang penting, termasuk, tetapi tidak dibatasi untuk:<br>- Bangunan-bangunan monumental<br>- Gedung sekolah dan fasilitas pendidikan  |                 |
| - Rumah ibadah<br>- Rumah sakit dan fasilitas kesehatan lainnya yang memiliki fasilitas bedah dan unit gawat darurat<br>- Fasilitas pemadam kebakaran, ambulans, dan kantor polisi, serta garasi kendaraan darurat<br>- Tempat perlindungan terhadap gempa bumi, tsunami, angin badai, dan tempat perlindungan darurat lainnya<br>- Fasilitas kesiapan darurat, komunikasi, pusat operasi dan fasilitas lainnya untuk tanggap darurat<br>- Pusat pembangkit energi dan fasilitas publik lainnya yang dibutuhkan pada saat keadaan darurat<br>- Struktur tambahan (termasuk menara telekomunikasi, tangki penyimpanan bahan bakar, menara pendingin, struktur stasiun listrik, tangki air pemadam kebakaran atau struktur rumah atau struktur pendukung air atau material atau peralatan pemadam kebakaran) yang disyaratkan untuk beroperasi pada saat keadaan darurat | IV              |
| Gedung dan nongedung yang dibutuhkan untuk mempertahankan fungsi struktur bangunan lain yang masuk ke dalam kategori risiko IV.  |                 |

| Kategori risiko | Faktor keutamaan gempa, $I_e$ |
|-----------------|-------------------------------|
| I atau II       | 1,0                           |
| III             | 1,25                          |
| IV              | 1,50                          |

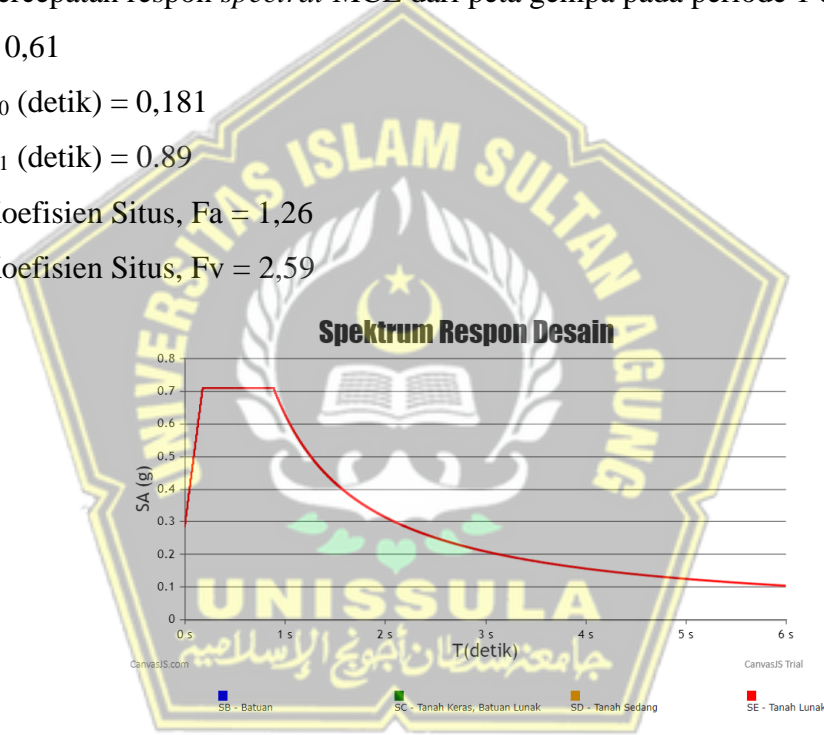
(sumber : SNI 1726:2019)

### b. Zona Wilayah Gempa

Untuk menentukan zona yang akan direncanakan yaitu berdasarkan peta gempa dan *respons spectra* 2022 sehingga akan didapatkan data – data parameter gempa dan grafik *Response Spectrum*.

- Percepatan respon *spectral MCE* dari peta gempa pada periode pendek, SS (g)  
= 0.9110

- Percepatan respon *spectral* MCE dari peta gempa pada periode 1 detik,  $S_1$  (g) = 0,3910
- Percepatan respon *spectral* MCE dari peta gempa pada periode pendek,  $S_{MS}$  (g) = 1,00
- Percepatan respon *spectral* MCE dari peta gempa pada periode 1 detik,  $S_{M1}$  (g) = 0,91
- Percepatan respon *spectral* MCE dari peta gempa pada periode pendek,  $S_{DS}$  (g) = 0,782
- Percepatan respon *spectral* MCE dari peta gempa pada periode 1 detik,  $S_{D1}$  (g) = 0,61
- $T_0$  (detik) = 0,181
- $T_1$  (detik) = 0,89
- Koefisien Situs,  $F_a$  = 1,26
- Koefisien Situs,  $F_v$  = 2,59



**Gambar 4. 3 Respons Spektrum Jenis Tanah Lunak Wilayah Semarang**  
(sumber : <http://puskim.pu.go.id/Aplikasi/>. 2022)

### c. Faktor Reduksi Gempa (R)

Berdasarkan (SNI 1726:2019) Faktor Reduksi Gempa untuk perencanaan konstruksi bangunan Gedung Kelas Politeknik PU Semarang menggunakan sistem rangka beton bertulang pemikul momen khusus untuk  $R = 7$ . Dapat dilihat pada tabel 4.2.

**Tabel 4. 2 Faktor Reduksi Gempa**

| Sistem penahan-gaya seismik   | Koefisien modifikasi respons,<br>$R^a$ | Faktor kuat-lebih sistem,<br>$\Omega_0^g$ | Faktor pembesaran defleksi,<br>$C_d^b$ | Batasan sistem struktur dan batasan tinggi struktur, $h_n$ (m) <sup>c</sup> |    |                 |                 |                 |
|---|--|---|--|---|----|-----------------|-----------------|-----------------|
|   |  |   |  | Kategori desain seismik   |    |                 |                 |                 |
|   |  |   |  | B   | C  | D <sup>d</sup>  | E <sup>d</sup>  | F <sup>e</sup>  |
| 24.Dinding rangka ringan dengan panel geser dari semua material lainnya | 2½                                     | 2½  | 2½                                     | TB  | TB | 10              | TB              | TB              |
| 25.Rangka baja dengan bresing terkekang terhadap tekuk                  | 8                                      | 2½  | 5                                      | TB  | TB | 48              | 48              | 30              |
| 26.Dinding geser pelat baja khusus                                      | 7                                      | 2   | 6                                      | TB  | TB | 48              | 48              | 30              |
| <b>C.Sistem rangka pemikul momen</b>                                    |  |   |  |   |    |                 |                 |                 |
| 1. Rangka baja pemikul momen khusus                                     | 8                                      | 3   | 5½                                     | TB  | TB | TB              | TB              | TB              |
| 2. Rangka batang baja pemikul momen khusus                              | 7                                      | 3   | 5½                                     | TB  | TB | 48              | 30              | TI              |
| 3. Rangka baja pemikul momen menengah                                   | 4½                                     | 3   | 4                                      | TB  | TB | 10 <sup>½</sup> | TI <sup>b</sup> | TI <sup>f</sup> |
| 4. Rangka baja pemikul momen biasa                                      | 3½                                     | 3   | 3                                      | TB  | TB | TI <sup>b</sup> | TI <sup>b</sup> | TI <sup>f</sup> |
| 5. Rangka beton bertulang pemikul momen khusus                          | 8                                      | 3   | 5½                                     | TB  | TB | TB              | TB              | TB              |
| 6. Rangka beton bertulang pemikul momen menengah                        | 5                                      | 3   | 4½                                     | TB  | TB | TI              | TI              | TI              |
| 7. Rangka beton bertulang pemikul momen biasa                           | 3                                      | 3   | 2½                                     | TB  | TI | TI              | TI              | TI              |
| 8. Rangka baja dan beton komposit pemikul momen khusus                  | 8                                      | 3   | 5½                                     | TB  | TB | TB              | TB              | TB              |
| 9. Rangka baja dan beton komposit pemikul momen menengah                | 5                                      | 3   | 4½                                     | TB  | TB | TI              | TI              | TI              |

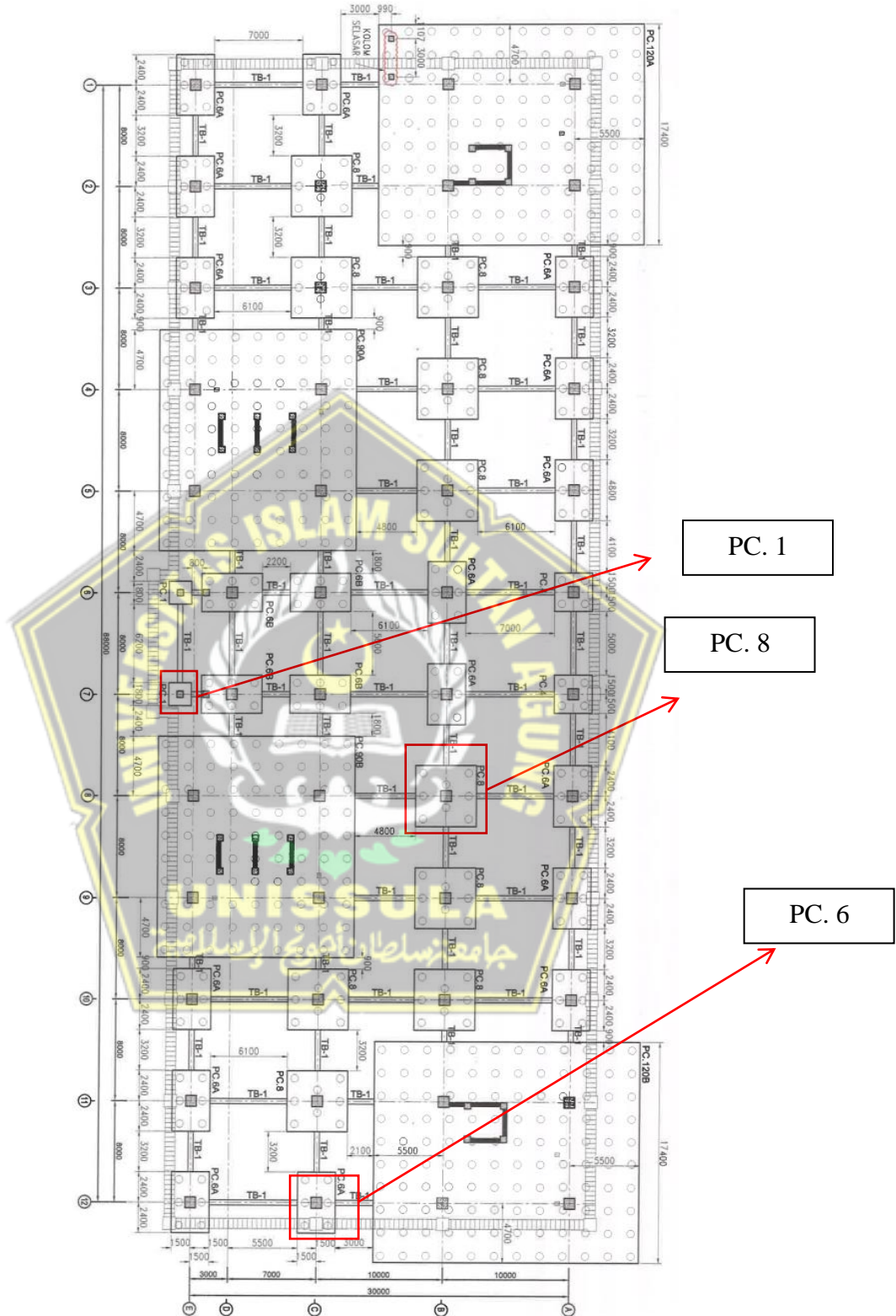
| dengan pemoatan:   |    |    |    |    |    |    |    |    |
|--|----|----|----|----|----|----|----|----|
| D. Sistem ganda dengan rangka pemikul momen khusus yang mampu menahan paling sedikit 25 % gaya seismik yang ditetapkan |    |    |    |    |    |    |    |    |
| 1. Rangka baja dengan bresing eksentris  | 8  | 2½ | 4  | TB | TB | TB | TB | TB |
| 2. Rangka baja dengan bresing konstruktif khusus   | 7  | 2½ | 5½ | TB | TB | TB | TB | TB |
| 3. Dinding geser beton bertulang khusus <sup>g,h</sup>   | 7  | 2½ | 5½ | TB | TB | TB | TB | TB |
| 4. Dinding geser beton bertulang biasa <sup>i</sup>  | 6  | 2½ | 5  | TB | TB | TI | TI | TI |
| 5. Rangka baja dan beton komposit dengan bresing eksentris   | 8  | 2½ | 4  | TB | TB | TB | TB | TB |
| 6. Rangka baja dan beton komposit dengan bresing konstruktif khusus  | 6  | 2½ | 5  | TB | TB | TB | TB | TB |
| 7. Dinding geser pelat baja dan beton komposit   | 7½ | 2½ | 6  | TB | TB | TB | TB | TB |
| 8. Dinding geser baja dan beton komposit khusus  | 7  | 2½ | 6  | TB | TB | TB | TB | TB |
| 9. Dinding geser baja dan beton komposit biasa   | 6  | 2½ | 5  | TB | TB | TI | TI | TI |
| 10. Dinding geser batu bata bertulang khusus   | 5½ | 3  | 5  | TB | TB | TB | TB | TB |
| 11. Dinding geser batu bata bertulang menengah   | 4  | 3  | 3½ | TB | TB | TI | TI | TI |
| 12. Rangka baja dengan bresing terkekang terhadap tekuk  | 8  | 2½ | 5  | TB | TB | TB | TB | TB |
| 13. Dinding geser pelat baja khusus  | 8  | 2½ | 6½ | TB | TB | TB | TB | TB |

(sumber : SNI 1726:1012)

#### d. Zona Wilayah Gempa

Untuk menentukan zona yang akan direncanakan dan mengetahui data - data wilayah yang akan digunakan maka dapat diakses melalui website <http://puskim.pu.go.id/> Aplikasi/desain\_spektra\_indonesia\_2011/, sehingga akan didapatkan data – data parameter gempa dan grafik *Response Spectrum*.

Selanjutnya data parameter gempa yang telah didapat dimasukkan ke dalam data gempa di software ETABS versi 18. Setelah seluruh beban dimasukkan pada pemodelan struktur dengan memakai program ETABS versi 18, diperoleh hasil output joint reactions. Berikut titik joint yang direncanakan dapat dilihat pada Gambar 4.5.



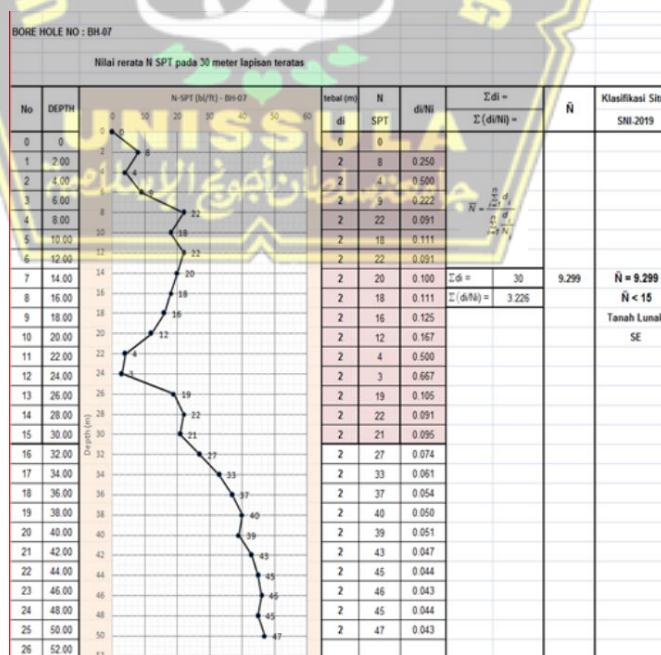
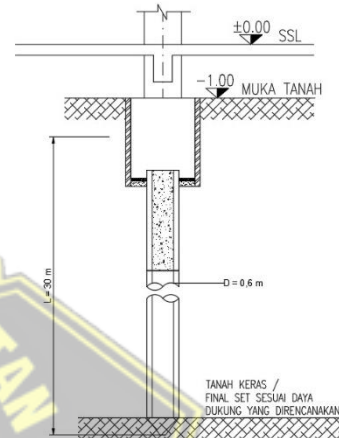
Gambar 4. 4 Titik Joint yang Direncanakan (PT. CIRIAJASA)



### 4.3 Daya Dukung Aksial Tanah Fondasi Existing (Single Pile)

Pada perencanaan proyek Gedung Kelas Politeknik Pekerjaan Umum Semarang, telah direncanakan menggunakan fondasi *spun pile* dengan diameter sebesar 600 mm. Pada perhitungan kapasitas daya dukung fondasi *spun pile* dihitung dengan metode Mayerhoff dan menggunakan data N-SPT (*Standart Penetration Test*). Adapun data fondasi *spun pile* adalah sebagai berikut :

- Diameter =  $600 \text{ cm} = 0,6 \text{ m}$
- Kedalaman = 30 m
- Keliling =  $\pi \times D$   
 $= 3,14 \times 0,6$   
 $= 1,884 \text{ m}$
- Luas ( $A_p$ ) =  $\frac{1}{4} \times \pi \times D^2$   
 $= \frac{1}{4} \times 3,14 \times 0,6^2$   
 $= 0,2826 \text{ m}^2$
- Berat tiang =  $A_p \times B_j \times \text{Kedalaman}$   
 $= 0,2826 \times 2400 \times 30$   
 $= 20347\text{kg} = 20,347 \text{ ton} = 203,47 \text{ kN}$



Gambar 4. 5 Data Tanah (PT CIRIAJASA)

| KELAS & LABORATORIUM |               |       |               |       |               |       |            |
|----------------------|---------------|-------|---------------|-------|---------------|-------|------------|
| BH-07                |               | BH-08 |               | BH-09 |               | BH-10 |            |
| N-SPT                | Type          | N-SPT | Type          | N-SPT | Type          | N-SPT | Type       |
| 8                    | Fill          | 4     | Fill          | 4     | Fill          | 36    | Fill       |
| 4                    | Fill          | 4     | Fill          | 6     | Clay          | 6     | Silty Clay |
| 9                    | Silty Clay    | 21    | Fine Sand     | 10    | Clay          | 20    | Fine Sand  |
| 22                   | Fine Sand     | 21    | Fine Sand     | 24    | Fine Sand     | 20    | Fine Sand  |
| 18                   | Fine Sand     | 21    | Fine Sand     | 23    | Fine Sand     | 22    | Fine Sand  |
| 22                   | Fine Sand     | 21    | Fine Sand     | 22    | Fine Sand     | 18    | Fine Sand  |
| 20                   | Fine Sand     | 4     | Silty Clay    | 18    | Fine Sand     | 4     | Clay       |
| 18                   | Fine Sand     | 3     | Silty Clay    | 3     | Silty Clay    | 3     | Clay       |
| 16                   | Fine Sand     | 4     | Silty Clay    | 1     | Silty Clay    | 4     | Clay       |
| 12                   | Silty Clay    | 4     | Silty Clay    | 3     | Silty Clay    | 6     | Silty Clay |
| 4                    | Silty Clay    | 5     | Clay          | 4     | Silty Clay    | 4     | Silty Clay |
| 3                    | Silty Clay    | 4     | Clay          | 16    | Clay          | 6     | Silty Clay |
| 19                   | Clay          | 11    | Clay          | 18    | Clay          | 10    | Clay       |
| 22                   | Clay          | 22    | Gravelly Clay | 23    | Clay          | 12    | Clay       |
| 21                   | Clay          | 21    | Gravelly Clay | 21    | Clay          | 14    | Clay       |
| 27                   | Clay          |       |               | 28    | Clay          |       |            |
| 33                   | Clay          |       |               | 32    | Clay          |       |            |
| 37                   | Clay          |       |               | 38    | Clay          |       |            |
| 40                   | Clay          |       |               | 39    | Clay          |       |            |
| 39                   | Clay          |       |               | 38    | Clay          |       |            |
| 43                   | Clay          |       |               | 42    | Clay          |       |            |
| 45                   | Clay          |       |               | 44    | Gravelly Clay |       |            |
| 46                   | Gravelly Clay |       |               | 46    | Gravelly Clay |       |            |
| 45                   | Gravelly Clay |       |               | 44    | Gravelly Clay |       |            |
| 47                   | Gravelly Clay |       |               | 43    | Gravelly Clay |       |            |
|                      |               |       |               | 45    | Gravelly Clay |       |            |
|                      |               |       |               | 47    | Gravelly Clay |       |            |

Gambar 4.6 Keterangan Tanah (PT CIRIAJASA)

#### 4.3.1 Daya Dukung Aksial Tanah Fondasi Metode Reese & Wright

a. Daya Dukung Ujung Fondasi

$$Q_p = A_p \times \left(7 \times \frac{N_1 + N_2}{2}\right) \text{ (Untuk tanah non kohesif)}$$

$$q_{p\text{non kohesif}} = \left(7 \times \frac{N_1 + N_2}{2}\right)$$

$$Q_p = A_p \times q_p \text{ (Untuk tanah kohesif)}$$

Dimana :

$Q_p$  = Daya dukung ujung tiang (kN)

$A_p$  = Luas penampang tiang ( $m^2$ )

$q_p$  = Tahanan ujung tiang ( $kN/m^2$ )

Untuk tanah non kohesif pada lapisan tanah kedalaman 2 meter berikut ini :

$$q_{p\text{non kohesif}} = \left(7 \times \frac{N_1 + N_2}{2}\right)$$

$$N_1 = 4 \times D \times L$$

$$= 4 \times 0.6 \times 2$$

$$= 4,4 \text{ m}$$

$= N\text{-SPT } 2 = 8$   
 $= N\text{-SPT } 4 = 4$   
 $= N\text{-SPT } 6 = 9$   
 $= N\text{-SPT rata-rata} = 7$   
 $N_2 = L - 8 \times D$   
 $= 2 \times 8 \times 0.6$   
 $= -2,8 \text{ m}$   
 $= N\text{-SPT } -2 = 0$   
 $= N\text{-SPT } 0 = 0$   
 $= N\text{-SPT } 2 = 8$   
 $= N\text{-SPT } 4 = 4$   
 $= N\text{-SPT } 6 = 9$   
 $= N\text{-SPT rata-rata} = 2,4$   
 $q_p^{\text{non kohesif}} = (7 \times \frac{N_1 + N_2}{2})$   
 $= (7 \times \frac{7+2,4}{2})$   
 $= 39,2$   
 $Q_p = A_p \times (7 \times \frac{N_1 + N_2}{2})$   
 $= 0,2826 \times q_p$   
 $= 0,2826 \times 39,2$   
 $= 11,08 \text{ kN}$

Untuk tanah kohesif pada lapisan tanah kedalaman 20 meter berikut ini :

$$\begin{aligned}
 Cu &= N\text{-SPT} \times 2/3 \times 10 \\
 &= 12 \times 2/3 \times 10 \\
 &= 80 \\
 q_p \text{ kohesif} &= 9 \times Cu \\
 &= 9 \times 80
 \end{aligned}$$

$$= 720$$

$$\begin{aligned} Q_p &= A_p \times q_p \\ &= 0,2826 \times 720 \\ &= 203,47 \text{ kN} \end{aligned}$$

### b. Daya Dukung Gesek Fondasi Tiang

Gesekan selimut tiang per-satuan luas dipengaruhi oleh jenis tanah dan parameter kuat geser tanah.

$$Q_s = f \times L_i \times p$$

$$f_{(\text{kohesif})} = \alpha \times C_u$$

$$f_{(\text{non kohesif})} = \alpha \times N\text{-SPT}$$

Dimana :

$Q_s$  = Daya Dukung Selimut Tiang (kN)

$f$  = Gesekan selimut tiang ( $\text{kN}/\text{m}^2$ )

$\alpha$  = Faktor Adhesi

- 0,32 untuk tanah non-kohesif

- 0,55 untuk tanah kohesif

$C_u$  = Kohesi tanah ( $\text{kN}/\text{m}^2$ )

Untuk tanah non kohesif pada lapisan tanah kedalaman 2 meter berikut ini :

$$\begin{aligned} f_{(\text{non kohesif})} &= \alpha \times N\text{-SPT} \\ &= 0,32 \times 8 \\ &= 2,56 \text{ kN}/\text{m}^2 \end{aligned}$$

$$\begin{aligned} Q_s &= f \times L_i \times p \\ &= 2,56 \times 2 \times 1,884 \\ &= 9,646 \text{ kN} \end{aligned}$$

Untuk tanah kohesif pada lapisan tanah kedalaman 20 meter berikut ini :

$$\begin{aligned} f_{(\text{kohesif})} &= \alpha \times C_u \\ &= 0,55 \times 80 \\ &= 44 \text{ kN}/\text{m}^2 \end{aligned}$$

$$\begin{aligned}
 Q_s &= f \times L_i \times p \\
 &= 44 \times 20 \times 1,884 \\
 &= 165,79 \text{ kN} \\
 \sum Q_s &= (f \times L_i \times P) + \sum Q_s(0 \text{ m} - 18 \text{ m}) \\
 &= (44 \times 2 \times 1,884) + 278,681 \\
 &= 444,473 \text{ kN}
 \end{aligned}$$

c. Daya Dukung Ultimit Tiang Tunggal (*Single Pile*)

- Untuk kedalaman 2 meter

$$\begin{aligned}
 Q_{ult} &= Q_p + \sum Q_s \\
 &= 11,08 + 9,647 \\
 &= 20,72 \text{ kN}
 \end{aligned}$$

- Untuk kedalaman 20 meter

$$\begin{aligned}
 Q_{ult} &= Q_p + \sum Q_s \\
 &= 203,47 + 444,473 \\
 &= 647,95 \text{ kN}
 \end{aligned}$$

d. Daya Dukung Ijin Tiang Tunggal (*Single Pile*)

- Untuk kedalaman 2 meter

$$\begin{aligned}
 Q_{all} &= \frac{Q_{ult}}{\text{SF}} \\
 &= \frac{20,72}{3} \\
 &= 6,908 \text{ kN}
 \end{aligned}$$

- Untuk kedalaman 20 meter

$$\begin{aligned}
 Q_{all} &= \frac{Q_{ult}}{\text{SF}} \\
 &= \frac{647,95}{3} \\
 &= 215,98 \text{ kN}
 \end{aligned}$$

Untuk perhitungan kedalaman berikutnya, dapat dilihat pada Tabel 4.4



Untuk tanah non-kohesif pada lapisan tanah kedalaman 2 meter berikut ini :

$$\begin{aligned} \text{Nb} &= \text{Nilai rata-rata dari } 8D \text{ diatas ujung fondasi dan } 4 \\ &\quad D \text{ dibawah ujung pondasi} \\ 8D &= 8 \times 0,6 = 4,8 \text{ m} \\ 3D &= 3 \times 0,6 = 2,4 \text{ m} \end{aligned}$$

Nilai SPT rata-rata pada kedalaman 30 m yaitu 8D ke atas s/d 4D ke bawah :

$$\begin{aligned} \text{Nb} &= (12 + 23 + 21 + 28 +)/4 \\ &= 91/4 = 22,75 \\ \text{Qp} &= 40 \text{ Nb} \times \text{Ap} \\ &= 40 \times 22,75 \times 0,2826 \\ &= 257,17 \text{ kN} \end{aligned}$$

- Daya dukung ujung (Qp) untuk tanah kohesif

$$\begin{aligned} \text{Qp} &= 9 \text{ Cu} \times \text{Ap} \\ \text{Dimana :} \\ \text{Cu} &= \text{Kohesi tanah (kN/m}^2\text{)} \\ \text{Ap} &= \text{Luas penampang tiang (m}^2\text{)} \end{aligned}$$

Untuk tanah kohesif pada lapisan tanah kedalaman 20 meter berikut ini :

$$\begin{aligned} \text{Cu} &= N\text{-SPT} \times 2/3 \times 10 \\ &= 12 \times 2/3 \times 10 \\ &= 80 \\ \text{Qp} &= 9 \text{ Cu} \times \text{Ap} \\ &= 9 \times 80 \times 0,2826 \\ &= 203,47 \text{ kN} \end{aligned}$$

#### b. Daya Dukung Selimut Tiang

- Daya dukung selimut tiang (Qs) untuk tanah non-kohesif
- $$Qs = 0,2 N\text{-SPT} \times p \times Li$$

Dimana :

$p$  = Keliling penampang tiang (m)

$Li$  = Tebal lapisan tanah ke-i (m)

Untuk tanah non-kohesif pada lapisan tanah kedalaman 2 meter berikut ini :

$$\begin{aligned} Q_s &= (0,2 \text{ N-SPT} \times p \times Li) \\ &= (0,2 \times 8 \times 1,884 \times 2) \\ &= 6.0288 \text{ kN} \end{aligned}$$

- Daya dukung selimut tiang ( $Q_s$ ) untuk tanah kohesif

$Q_s = \alpha \times Cu \times p \times Li$

Dimana :

$\alpha$  = Faktor adhesi (didapat dari grafik pada Gambar 2.16)

$Cu$  = Kohesi tanah ( $\text{kN}/\text{m}^2$ )

$p$  = Keliling penampang tiang (m)

$Li$  = Tebal lapisan tanah ke-i (m)

Untuk tanah kohesif pada lapisan tanah kedalaman 20 meter berikut ini :

$$\begin{aligned} Q_s &= \alpha \times Cu \times p \times Li \\ &= 0,6 \times 80 \times 1,884 \times 2 \\ &= 180,864 \text{ kN} \end{aligned}$$

$$\begin{aligned} \sum Q_s &= \alpha \times Cu \times p \times Li + \sum Q_s (0 \text{ m} - 18 \text{ m}) \\ &= 0,6 \times 80 \times 1,884 \times 2 + 232,787 \\ &= 180,864 + 232,787 \\ &= 413,651 \text{ kN} \end{aligned}$$

c. Daya Dukung Ultimit Tanah Pondasi Satu Tiang (Qult)

- Untuk kedalaman 2 meter

$$\begin{aligned} Qult &= Q_p + \sum Q_s \\ &= 257,17 + 6,0288 \\ &= 263,194 \text{ kN} \end{aligned}$$

- Untuk kedalaman 20 meter

$$\begin{aligned} Qult &= Q_p + \sum Q_s \\ &= 203,472 + 382,828 \\ &= 586,300 \text{ kN} \end{aligned}$$

d. Daya Dukung Ijin Tanah Pondasi Satu Tiang (Qall)

- Untuk kedalaman 2 meter

$$\begin{aligned} Qall &= \frac{Qult}{SF} \\ &= \frac{263,194}{3} \\ &= 87,731 \text{ kN} \end{aligned}$$

- Untuk kedalaman 20 meter

$$\begin{aligned} Qall &= \frac{Qult}{SF} \\ &= \frac{586,300}{3} \\ &= 195,434 \text{ kN} \end{aligned}$$

Untuk kedalaman berikutnya, dapat dilihat pada Tabel 4.5 dibawah ini.

**Tabel 4. 5 Daya Dukung Aksial Menggunakan Metode Mayerhoff**

| Depth<br>(m) | N-SPT | 40Nb  | 0.2 N- | Cu (kN) | $\alpha_{\text{eff}}$ | Li  | Keliling | Ap     | Qs      |            | Qp     | Qult     | Qall    |
|--------------|-------|-------|--------|---------|-----------------------|-----|----------|--------|---------|------------|--------|----------|---------|
|              |       |       | SPT    | /m2)    |                       | (m) | (m)      | (m2)   | Local   | Cumulative |        |          |         |
| 0            | 0     | 22.75 | 0      | 0       | 1                     | 0   | 1.884    | 0.2826 | 0       | 0          | 257.17 | 257.166  | 85.722  |
| 2            | 8     | 22.75 | 1.6    | 53.33   | 0.8                   | 2   | 1.884    | 0.2826 | 6.0288  | 6.0288     | 257.17 | 263.1948 | 87.7316 |
| 4            | 4     | 22.75 | 0.8    | 26.67   | 0.9                   | 2   | 1.884    | 0.2826 | 3.0144  | 9.0432     | 257.17 | 266.2092 | 88.7364 |
| 6            | 9     | 22.75 | 1.8    | 60      | 0.6                   | 2   | 1.884    | 0.2826 | 135.648 | 144.6912   | 152.6  | 297.2952 | 99.0984 |
| 8            | 22    | 22.75 | 4.4    | 146.7   | 0.5                   | 2   | 1.884    | 0.2826 | 16.5792 | 161.2704   | 257.17 | 418.4364 | 139.479 |
| 10           | 18    | 22.75 | 3.6    | 120     | 0.5                   | 2   | 1.884    | 0.2826 | 13.5648 | 174.8352   | 257.17 | 432.0012 | 144     |
| 12           | 22    | 22.75 | 4.4    | 146.7   | 0.5                   | 2   | 1.884    | 0.2826 | 16.5792 | 191.4144   | 257.17 | 448.5804 | 149.527 |
| 14           | 20    | 22.75 | 4      | 133.3   | 0.5                   | 2   | 1.884    | 0.2826 | 15.072  | 206.4864   | 257.17 | 463.6524 | 154.551 |
| 16           | 18    | 22.75 | 3.6    | 120     | 0.5                   | 2   | 1.884    | 0.2826 | 13.5648 | 220.0512   | 257.17 | 477.2172 | 159.072 |
| 18           | 16    | 22.75 | 3.2    | 106.7   | 0.5                   | 2   | 1.884    | 0.2826 | 12.0576 | 232.1088   | 257.17 | 489.2748 | 163.092 |
| 20           | 12    | 22.75 | 2.4    | 80      | 0.5                   | 2   | 1.884    | 0.2826 | 150.72  | 382.8288   | 203.47 | 586.3008 | 195.434 |
| 22           | 4     | 22.75 | 0.8    | 26.67   | 0.9                   | 2   | 1.884    | 0.2826 | 90.432  | 473.2608   | 67.824 | 541.0848 | 180.362 |
| 24           | 3     | 22.75 | 0.6    | 20      | 1                     | 2   | 1.884    | 0.2826 | 75.36   | 548.6208   | 50.868 | 599.4888 | 199.83  |
| 26           | 19    | 22.75 | 3.8    | 126.7   | 0.5                   | 2   | 1.884    | 0.2826 | 238.64  | 787.2608   | 322.16 | 1109.425 | 369.808 |
| 28           | 22    | 22.75 | 4.4    | 146.7   | 0.5                   | 2   | 1.884    | 0.2826 | 276.32  | 1143.581   | 373.03 | 1516.613 | 505.538 |
| 30           | 21    | 22.75 | 4.2    | 140     | 0.5                   | 2   | 1.884    | 0.2826 | 263.76  | 1407.341   | 356.08 | 1763.417 | 591.139 |

(sumber : Hasil Perhitungan 2022)

#### 4.3.3 Daya Dukung Tanah Fondasi Metode Tomlinson

Berdasarkan data karakteristik fondasi tiang pancang, diketahui :

- a. Panjang tiang L/d>15 ; L = 25 m = 2500 cm

Kapasitas dukung ujung

Luas penampang (Ap) = 0,2826 m<sup>2</sup> = 2826 cm<sup>2</sup>

Kohesi rata-rata tanah (Cr)

$$\begin{aligned} Cr &= \frac{C1.L1 + C2.L2}{L1 + L2} \\ &= \frac{0.149.2 + 16.0,074}{2+16} \\ &= 0,083 \text{ kg/cm}^2 \end{aligned}$$

Sudut geser rata-rata ( $\phi r$ )

$$\phi r = \tan^{-1} \frac{\tan \phi 1 \cdot L1 + \tan \phi 2 \cdot L2}{L1 + L2}$$

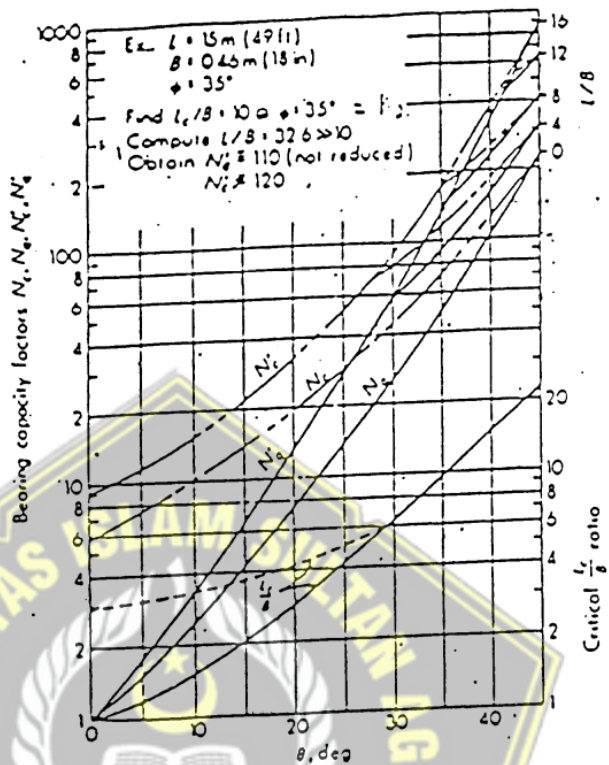
$$\phi r = \tan^{-1} \frac{\tan 5.839^\circ \cdot 2 + \tan 3.309^\circ \cdot 16}{2+16}$$

$$\phi r = \tan^{-1} \frac{0.2045 + 0.925}{2+16}$$

$$\phi r = \tan^{-1} \frac{1.1295}{18}$$

$$\phi r = \tan^{-1} 0.06275$$

$$\phi r = 3,6^\circ$$



**Gambar 4.5** Penentuan angka kedalaman kritis

Dari gambar didapat harga-harga dengan sudut  $3,6^\circ$

$$N_q = 1,8$$

$$N_c = 7,6$$

Harga *effective overburden pressure* ( $\bar{q}$ )

$$\bar{q} = \sum \gamma \cdot h_i$$

$$= \gamma_1 \cdot h_1 + \gamma_2 \cdot h_2$$

$$= 1,363 \cdot 2 + 1,345 \cdot 16$$

$$= 2,425 \text{ kg/cm}^2$$

Kapasitas dukung ujung pondasi tiang tunggal  $L/d > 15$ , menurut Tomlinson adalah

$$\begin{aligned} Q_e &= A_p (c \cdot N_c + \bar{q} \cdot N_q) \\ &= 2826 (0,083 \cdot 7,6 + 2,425 \cdot 1,8) \end{aligned}$$

$$= 14118,13 \text{ kg}$$

$$= 138,45 \text{ kN}$$

Kapasitas dukung friksi

Lapisan 1 ( $L=2,00 \text{ m} = 200 \text{ cm}$ )

$$c = 0,149 \text{ kg/cm}^2$$

$$\phi = 5,389^\circ ; \phi' = 2/3. \Phi = 3,6^\circ$$

$$\delta = 2/3. \phi' = 2,4^\circ$$

$$\bar{q} = \gamma \cdot h_1 = 1,363 \cdot 200 = 272,6 \text{ kg/cm}^2$$

$$K = K_0 = (1 - \sin \phi') \sqrt{OCR} ; \text{ nilai OCR diambil } = 1$$

$$= (1 - \sin 3,6^\circ) \sqrt{1}$$

$$= 0,937^\circ$$

$$As = 2 \cdot \pi \cdot r \cdot L$$

$$= 2 \cdot 3,14 \cdot 25 \cdot 200$$

$$= 31400 \text{ cm}^2 = 3,14 \text{ m}$$

$$Qu = 0,252 \text{ kg/cm}^2 = 25,2 \text{ KN/m}^2$$

$$Cu = 0,5 \cdot qu = 12,6 \text{ KN/m}^2$$

$$Qf1 = \infty \cdot c \cdot As + K \cdot \bar{q} \cdot \tan \delta \cdot As$$

$$= 1 \cdot 0,149 \cdot 31400 + 0,937 \cdot 272,6 \cdot 0,042 \cdot 31400$$

$$= 4678,6 + 3368,56$$

$$= 8047,161 \text{ kg} = 78.9157 \text{ Kn}$$

Lapisan 2 ( $L=16 \text{ m} = 1600 \text{ cm}$ )

$$C = 0,074 \text{ kg/cm}^2$$

$$\phi = 3,309^\circ ; \phi' = 2/3. \Phi = 2,206^\circ$$

$$\delta = 2/3 \cdot \phi' = 1,470^\circ$$

$$\bar{q} = \gamma_1 h_1 + \gamma_2 h_2 = 24244,6 \text{ kg/cm}^2$$

$$K = K_0 = (1 - \sin \phi') \sqrt{OCR}; \text{ nilai OCR diambil } = 1$$

$$= (1 - \sin 33,09^\circ) \sqrt{1}$$

$$= 0,942^\circ$$

$$As = 2 \cdot \pi \cdot r \cdot L$$

$$= 2 \cdot 3,14 \cdot 25 \cdot 1600$$

$$= 251200 \text{ cm}^2 = 25,12 \text{ m}$$

$$qu = 0,429 \text{ kg/cm}^2 = 42,9 \text{ KN/m}^2$$

$$Cu = 0,5 \cdot qu = 21,45 \text{ KN/m}^2$$

$$Qf_2 = \infty \cdot c \cdot As + K \cdot \bar{q} \cdot \tan \delta \cdot As$$

$$= 1 \cdot 0,074 \cdot 251200 + 0,942 \cdot 24244,6 \cdot 0,026 \cdot 251200$$

$$= 18588,8 + 149162,244$$

$$= 1645,08 \text{ kN}$$

$$Qf_{\text{total}} = Qf_1 + Qf_2$$

$$= 8047,161 + 167751,044$$

$$= 1723,99 \text{ kN}$$

Maka kapasitas dukung ultimit pondasi tiang pancang  $L/d > 15$  menurut Tomlinson adalah :

$$Q_{ult} = Q_e + Q_f$$

$$= 10199,034 + 175798,205 = 1824,01 \text{ kN}$$

$$Q_{all} = Q_{ult}/SF$$

$$= 185997,239/2,5 = 729,6 \text{ kN}$$

#### **4.3.4 Hasil Perhitungan**

Berikut perhitungan menggunakan metode Reese & Wright, Meyerhof, dan Tomlinson untuk menentukan daya dukung aksial tanah fondasi. Tabel 4.6 pada teks di bawah ini berisi hasil perhitungan dan perbandingan.

**Tabel 4. 6 Perbandingan Perhitungan Daya Dukung Aksial Fondasi**

| <b>Metode</b>                       | <b>Ujung<br/>(Qp)(kN)</b> | <b>Selimut<br/>(Qs) (kN)</b> | <b>Ultimit<br/>(Qult)(kN)</b> | <b>Ijin<br/>(Qall)<br/>(kN)</b> |
|-------------------------------------|---------------------------|------------------------------|-------------------------------|---------------------------------|
| Reese & Wright                      | 356,08                    | 1397,78                      | 1753,9                        | 584,62                          |
| Meyerhof                            | 356,08                    | 1407,341                     | 1763,417                      | 591,139                         |
| Tomlinson                           | 138,45                    | 1723,99                      | 1824,01                       | 729,6                           |
| <b>Daya dukung<br/>yang dipakai</b> | <b>356,08</b>             | <b>1397,78</b>               | <b>1753,9</b>                 | <b>584,62</b>                   |

(sumber : Hasil Perhitungan 2022)

Daya dukung fondasi yang memiliki nilai paling kecil pada tabel 4.6 dapat digunakan sebagai panduan dalam perhitungan berikut. Daya dukung minimum pondasi yang dihitung menggunakan metode Reese & Wright adalah 356,08 kN pada titik ujung, 1397,78 kN pada titik selimut, 1753,9 kN pada titik ultimit, dan 584,62 kN pada titik yang diijinkan.

## 4.4 Daya Dukung Lateral Pondasi Satu Tiang (*Single Pile*)

### 4.4.1 Daya Dukung Lateral Ultimit Menurut Metode Broms

$$\gamma = 1,319 \text{ kN/m}^3$$

$$K_p = \tan^3 \left( 45 + \frac{\phi}{2} \right)$$

$$K_p = 3,044$$

Spesifikasi tiang

$$D = 0,6 \text{ m}$$

$$L = 30 \text{ m}$$

$$f'_c = 350 \text{ kg/cm}^3 = 30 \text{ MPa}$$

Cek kekakuan tiang fondasi

$$\begin{aligned} E &= 4700\sqrt{f'_c} \\ &= 4700\sqrt{30} \\ &= 25742,96 \text{ kN/m}^2 \end{aligned}$$

Kekakuan tiang fondasi

$$\begin{aligned} I &= \frac{1}{64} \times \pi \times D^4 \\ &= \frac{1}{64} \times 3,14 \times 0,6^4 \\ &= 0,006 \text{ m}^4 \end{aligned}$$

Untuk mencari nilai kekakuan dari fondasi tiang dibutuhkan nilai  $\eta h$  yang didapat dari Tabel nilai – nilai  $\eta h$  untuk tanah kohesif.

Nilai  $\eta h$  didapat 280 kN/m<sup>2</sup>

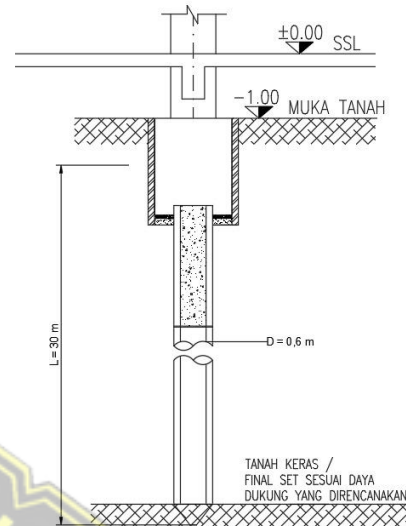
Untuk faktor kekakuan tanah

$$\begin{aligned} T &= \left( \frac{E_p \times I_p}{\eta h} \right)^{1,5} \\ &= \left( \frac{25742,96 \times 0,006}{280} \right)^{1,5} \\ &= 0,409 \end{aligned}$$

$$4T = 4 \times T$$

$$= 4 \times 0,409$$

$$= 1,636 \text{ m}$$



Dari hasil perhitungan diatas,  $L > 4T$ , maka tiang fondasi termasuk tiang fondasi Panjang yang elastis.

Cek keruntuan tanah

$$\begin{aligned} M_{max} &= D \times \gamma \times L^3 \times K_p \\ &= 0,6 \times 1,319 \times 30^3 \times 3,044 \\ &= 2168,11944 \text{ kN.m} \end{aligned}$$

Cek nilai  $H_u$

$$\begin{aligned} f &= 0,82 \sqrt{\frac{H_u}{D \times k_p \times \gamma}} \\ &= 0,82 \sqrt{\frac{H_u}{0,6 \times 3,044 \times 1,319}} \end{aligned}$$

$$f = 1,81662$$

$$\begin{aligned} H_u &= \frac{2My}{e + \frac{2f}{3}} \\ &= \frac{2 \times 1500}{0 + (2 \times 0,133) \frac{\sqrt{H_u}}{3}} \end{aligned}$$

$$H_u = \frac{34482,76}{\sqrt{H_u}}$$

$$H_u^{2/3} = 34482,76$$

$$H_u = 1059,42 \text{ kN}$$

$$\begin{aligned} H_{ijin} &= \frac{H_u}{SF} \\ &= \frac{1059,42}{3} \end{aligned}$$

$$= 353,14 \text{ kN}$$

Perhitungan pada tahanan lateral ijin adalah :

$$55 = \frac{H_u}{k_p \times \gamma \times D^2}$$

$$55 = \frac{H_u}{3,044 \times 1,319 \times 0,6^2}$$

$$H_u = 7,9497715 \text{ kN}$$

## 4.5 Daya Dukung Fondasi Kelompok Tiang (*Group Pile*)

Jika memiliki hitungan daya dukung untuk masing-masing tiang pancang, dapat menggunakan persamaan pendekatan Converse-Labbare untuk mendapatkan daya dukung kelompok tiang pancang. Inilah jumlah tiang pancang yang akan dibuat:

### 4.5.1 Menetukan Jumlah Pile

**Tabel 4. 7** Perhitungan Jumlah Tiang Akibat Beban Aksial

| joint | n1 | n2 | S   | D  | $\theta$ | Efisiensi Group | %   | n | Qall Single | Qallowable | Beban Kolom | Keterangan |
|-------|----|----|-----|----|----------|-----------------|-----|---|-------------|------------|-------------|------------|
| 55    | 1  | 1  | 180 | 60 | 36.87    | 1               | 100 | 1 | 584.6       | 584.6      | 458.47      | AMAN       |
| 89    | 1  | 1  | 180 | 60 | 36.87    | 1               | 100 | 1 | 584.6       | 584.6      | 458.47      | AMAN       |
| 95    | 1  | 1  | 180 | 60 | 36.87    | 1               | 100 | 1 | 584.6       | 584.6      | 458.47      | AMAN       |
| 26    | 1  | 1  | 180 | 60 | 36.87    | 1               | 100 | 1 | 584.6       | 584.6      | 509.66      | AMAN       |
| 3     | 1  | 1  | 180 | 60 | 36.87    | 1               | 100 | 1 | 584.6       | 584.6      | 509.66      | AMAN       |
| 2     | 1  | 1  | 180 | 60 | 36.87    | 1               | 100 | 1 | 584.6       | 584.6      | 509.66      | AMAN       |
| 61    | 1  | 1  | 180 | 60 | 36.87    | 1               | 100 | 1 | 584.6       | 584.6      | 549.85      | AMAN       |
| 48    | 1  | 1  | 180 | 60 | 36.87    | 1               | 100 | 1 | 584.6       | 584.6      | 549.85      | AMAN       |
| 83    | 1  | 1  | 180 | 60 | 36.87    | 1               | 100 | 1 | 584.6       | 584.6      | 549.85      | AMAN       |
| 29    | 1  | 1  | 180 | 60 | 36.87    | 1               | 100 | 1 | 584.6       | 584.6      | 474.879     | AMAN       |
| 66    | 1  | 1  | 180 | 60 | 36.87    | 1               | 100 | 1 | 584.6       | 584.6      | 474.879     | AMAN       |
| 1     | 1  | 1  | 180 | 60 | 36.87    | 1               | 100 | 1 | 584.6       | 584.6      | 474.879     | AMAN       |
| 87    | 1  | 1  | 180 | 60 | 36.87    | 1               | 100 | 1 | 584.6       | 584.6      | 474.879     | AMAN       |
| 39    | 3  | 3  | 180 | 60 | 36.87    | 0.73            | 50  | 8 | 584.6       | 3414.06    | 5582.12     | AMAN       |
| 52    | 3  | 3  | 180 | 60 | 36.87    | 0.73            | 50  | 8 | 584.6       | 3414.06    | 5582.66     | AMAN       |
| 28    | 3  | 3  | 180 | 60 | 36.87    | 0.73            | 50  | 8 | 584.6       | 3414.06    | 5621.29     | AMAN       |
| 54    | 3  | 3  | 180 | 60 | 36.87    | 0.73            | 50  | 8 | 584.6       | 3414.06    | 5621.30     | AMAN       |
| 31    | 3  | 3  | 180 | 60 | 36.87    | 0.73            | 50  | 8 | 584.6       | 3414.06    | 5732.43     | AMAN       |
| 50    | 3  | 3  | 180 | 60 | 36.87    | 0.73            | 50  | 8 | 584.6       | 3414.06    | 5732.44     | AMAN       |
| 60    | 3  | 3  | 180 | 60 | 36.87    | 0.73            | 50  | 8 | 584.6       | 3414.06    | 5737.17     | AMAN       |
| 78    | 3  | 3  | 180 | 60 | 36.87    | 0.73            | 50  | 8 | 584.6       | 3414.06    | 5737.18     | AMAN       |
| 70    | 3  | 3  | 180 | 60 | 36.87    | 0.73            | 73  | 9 | 584.6       | 3840.82    | 6075.17     | AMAN       |
| 77    | 3  | 3  | 180 | 60 | 36.87    | 0.73            | 73  | 9 | 584.6       | 3840.82    | 6217.57     | AMAN       |
| 91    | 3  | 3  | 180 | 60 | 36.87    | 0.73            | 73  | 9 | 584.6       | 3840.82    | 6217.58     | AMAN       |
| 51    | 3  | 3  | 180 | 60 | 36.87    | 0.73            | 73  | 9 | 584.6       | 3840.82    | 6217.59     | AMAN       |
| 81    | 3  | 3  | 180 | 60 | 36.87    | 0.73            | 73  | 9 | 584.6       | 3840.82    | 6013.42     | AMAN       |
| 93    | 3  | 3  | 180 | 60 | 36.87    | 0.73            | 73  | 9 | 584.6       | 3840.82    | 6013.43     | AMAN       |
| 56    | 3  | 3  | 180 | 60 | 36.87    | 0.73            | 73  | 9 | 584.6       | 3840.82    | 6013.44     | AMAN       |
| 72    | 3  | 3  | 180 | 60 | 36.87    | 0.73            | 73  | 9 | 584.6       | 3840.82    | 6223.34     | AMAN       |
| 92    | 3  | 3  | 180 | 60 | 36.87    | 0.73            | 73  | 9 | 584.6       | 3840.82    | 6223.35     | AMAN       |
| 73    | 3  | 3  | 180 | 60 | 36.87    | 0.73            | 73  | 9 | 584.6       | 3840.82    | 6223.36     | AMAN       |

(Sumber : Hasil Perhitungan 2022)

$$N = \left( \frac{P}{Qa} \right)$$

Dimana :

P = Beban bangunan pada joint

Qa = Qallowable

### 4.5.2 Menentukan Jarak Tiang

- a. Syarat jarak tiang (as ke as)

$$2,5D < S < 3D$$

$$(2,5 \times 60) < s < (3 \times 60) = 150 < S < 180$$

$$= 180 \text{ cm} = 1,8 \text{ m}$$

b. Syarat jarak as tiang ke tepi

$$S < 1,25D$$

$$\begin{aligned} S &< 1,25 \times 0,6 \\ &= S < 7,5 \\ &= 7,5 \text{ m} \end{aligned}$$

#### **4.5.3 Perhitungan Daya Dukung Kelompok Tiang**

Lakukan perhitungan yang diperlukan untuk menentukan kapasitas daya dukung tiang pancang kelompok dengan menggunakan faktor efisiensi. Untuk menentukan faktor efisiensi, gunakan persamaan Converse-labarre sebagai berikut:

$$Eg = 1 - \left[ \frac{(n_1 - 1) \cdot n_2 + (n_2 - 1) \cdot n_1}{90 \cdot n_1 \cdot n_2} \right] \cdot \theta$$

Dimana :

$n_1$  = jumlah baris tiang

$n_2$  = jumlah tiang dalam satu baris

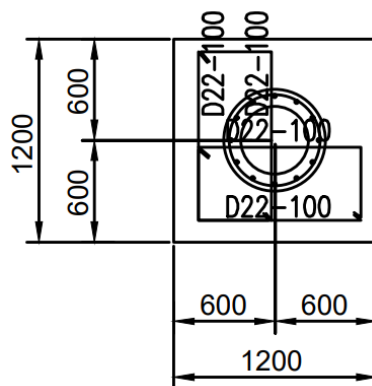
$s$  = jarak antar tiang

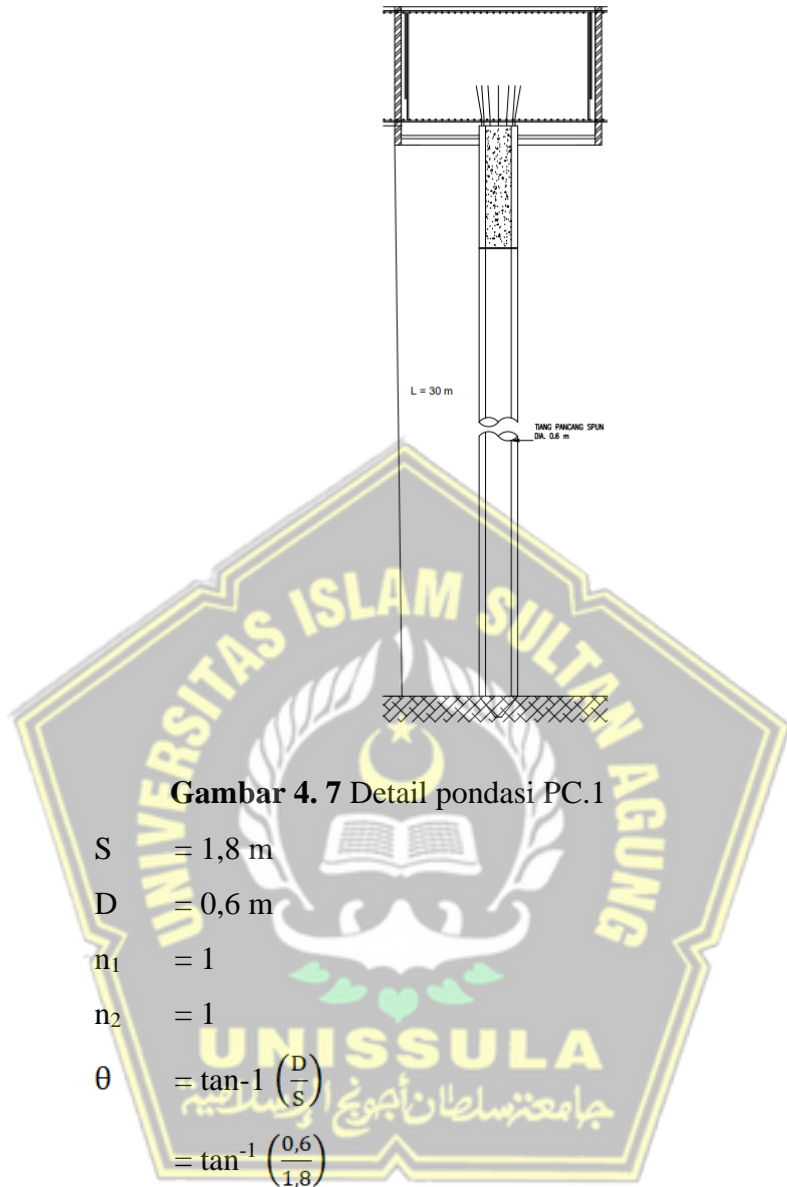
$D$  = diameter atau sisi tiang

$\theta$  =  $\tan^{-1}(D/s)$  ( $^{\circ}$ )

#### **a. Perhitungan daya dukung kelompok tiang PC 1**

Pada gambar 4.8 menggambarkan ilustrasi menyeluruh dari pondasi dengan *pile cap* tipe PC.1.





Gambar 4. 7 Detail pondasi PC.1

$$S = 1,8 \text{ m}$$

$$D = 0,6 \text{ m}$$

$$n_1 = 1$$

$$n_2 = 1$$

$$\theta = \tan^{-1} \left( \frac{D}{S} \right)$$

$$= \tan^{-1} \left( \frac{0,6}{1,8} \right)$$

$$= 36,87$$

$$Eg = 1 - \left[ \frac{(1-1).1 + (1-1).1}{90.1.1} \right] . 36,87$$

$$= 1$$

$$= 100 \%$$

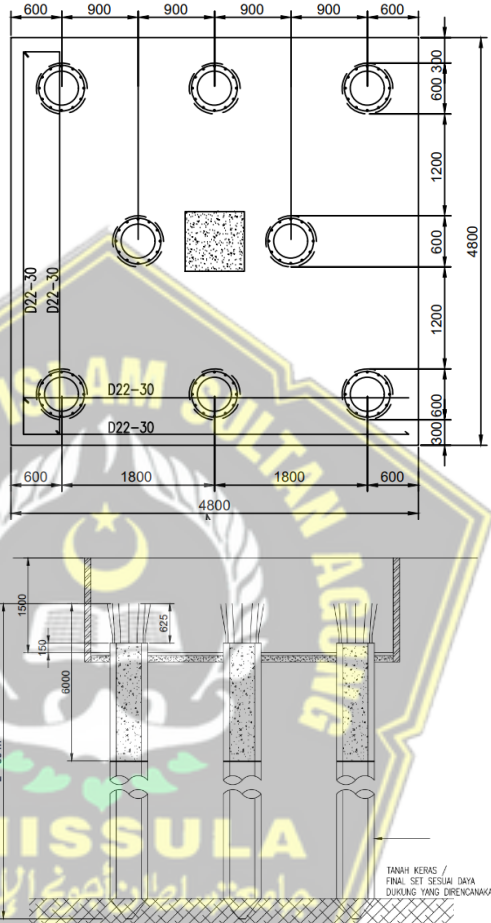
$$Q_{\text{all}(group)} = n \times Q_{\text{all}(single)} \times Eg$$

$$= 1 \times 584,6 \times 1$$

$$= 584,6 \text{ kN}$$

## b. Perhitungan Daya Dukung Kelompok Tiang PC 6

Pada Gambar 4.9, kami memiliki representasi diagramatis dari alas dengan *pile cap* tipe PC.6.



**Gambar 4. 8** Detail pondasi PC.6

$$S = 1,8 \text{ m}$$

$$D = 0,6 \text{ m}$$

$$n_1 = 3$$

$$n_2 = 3$$

$$\theta = \tan^{-1} \left( \frac{D}{S} \right)$$

$$= \tan^{-1} \left( \frac{1}{3} \right)$$

$$= 36,87$$

$$Eg = 1 - \left[ \frac{(3-1).3 + (3-1).3}{90.3.3} \right] . 36,87$$

$$= 0,73$$

$$= 73 \%$$

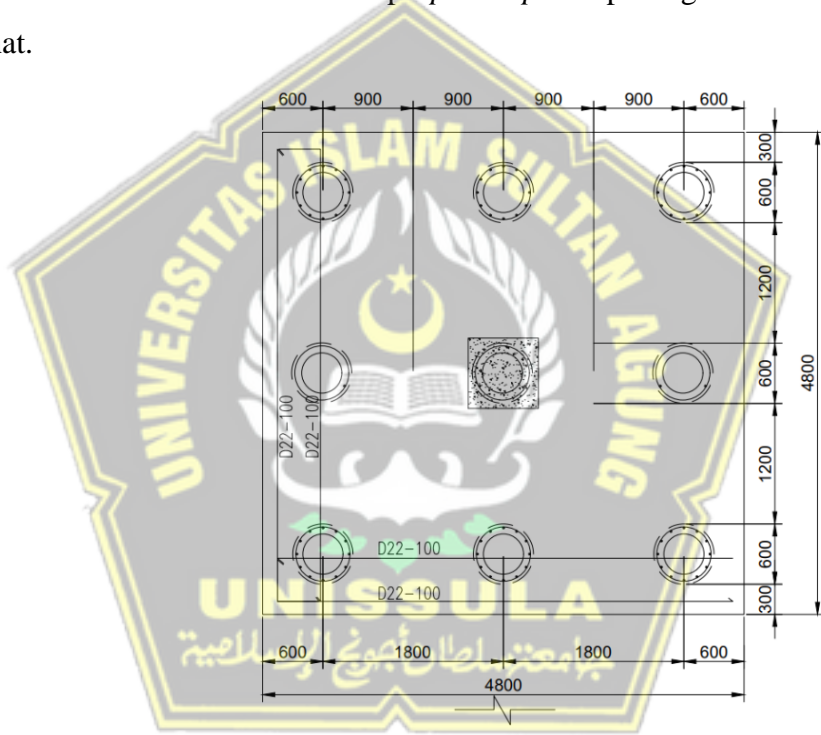
$$Q_{all(group)} = n \times Q_{all(single)} \times Eg$$

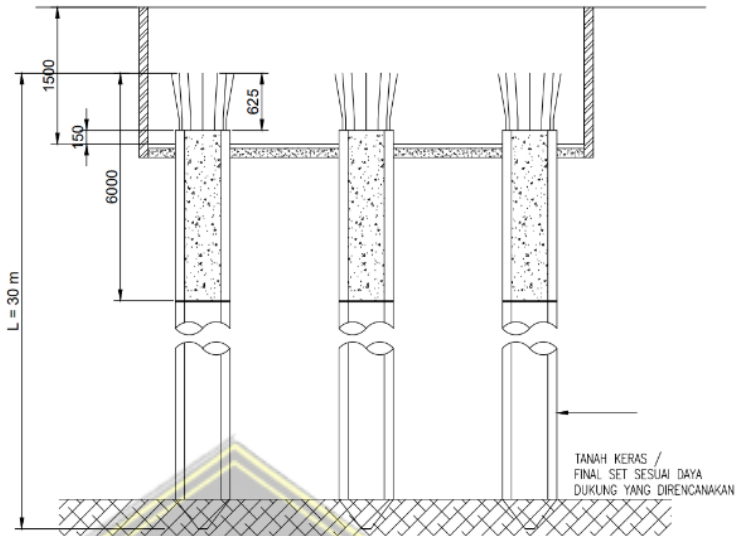
$$= 8 \times 584,6 \times 0,73$$

$$= 3414,06 \text{ kN}$$

### c. Perhitungan Daya Dukung Kelompok Tiang PC 8

Gambar detail fondasi bertipe *pile cap* PC pada gambar 4.10 yang bisa dilihat.





Gambar 4.9 Detail pondasi PC.8

$$S = 1,8 \text{ m}$$

$$D = 0,6 \text{ m}$$

$$n_1 = 3$$

$$n_2 = 3$$

$$\theta = \tan^{-1} \left( \frac{D}{S} \right)$$

$$= \tan^{-1} \left( \frac{1}{3} \right)$$

$$= 36,87$$

$$Eg = 1 - \left[ \frac{(3-1) \cdot 3 + (3-1) \cdot 3}{90 \cdot 3 \cdot 3} \right] \cdot 36,87$$

$$= 0,73$$

$$= 73 \%$$

$$Q_{\text{all}(group)} = n \times Q_{\text{all}(single)} \times Eg$$

$$= 9 \times 584,6 \times 0,73$$

$$= 3840,82 \text{ kN}$$

Pada tabel 4.8, dapat kita lihat hasil perhitungan daya dukung kelompok tiang.

**Tabel 4. 8** Perhitungan Daya Dukung Kelompok Tiang Pondasi

| Type  | Beban<br>(kN) | N | Eg   | Qall<br>Group<br>(kN) | Keterangan |
|-------|---------------|---|------|-----------------------|------------|
| PC. 1 | 574,899       | 1 | 1    | 584,6                 | AMAN       |
| PC. 6 | 1686,811      | 6 | 0,73 | 3414,06               | AMAN       |
| PC. 8 | 3397,474      | 8 | 0,73 | 3840,82               | AMAN       |

(sumber : Hasil Perhitungan 2022)

#### 4.6 Penurunan Pondasi Tiang Pancang Menggunakan Metode Vesic

Ada dua jenis perhitungan penurunan pondasi yang dijelaskan oleh Vesic (1977): pertama ada penurunan pondasi kelompok tiang dan yang kedua ada pondasi tunggal tiang.

##### 4.6.1 Perhitungan Penurunan Fondasi Tiang Pancang Tunggal (Single Pile)

Vesic (1977) menyarankan rumus berikut untuk menentukan pengendapan elastis pada masing-masing tiang :

$$Se = Se_{(1)} + Se_{(2)} + Se_{(3)}$$

Dimana :

$Se$  = Total penurunan tiang pancang

$Se_{(1)}$  = Penurunan elastis tiang pancang

$Se_{(2)}$  = Penurunan tiang pancang dikarenakan beban pada ujung tiang

$Se_{(3)}$  = Penurunan tiang pancang dikarenakan beban yang ditransmisikan sepanjang kulit tiang

- Nilai  $Se_{(1)}$  diperoleh dari :

$$Se_{(1)} = \frac{(Qwp + \xi Qws)L}{Ap \times Ep}$$

- Untuk nilai  $Se_{(2)}$  diperoleh dari :

$$Se_{(2)} = \frac{Qwp \times Cp}{D \times qp}$$

- Dan untuk nilai  $Se_{(3)}$  diperoleh dari :

$$Se_{(3)} = \frac{Qws \times Cs}{L \times qp}$$

**a. Perhitungan Kapasitas Dukung Fondasi**

$$Qp = 356,08 \text{ kN}$$

$$Qwp = 356,08 / 4 = 89,02 \text{ kN}$$

$$Qs = 1397,78 \text{ kN}$$

$$Qws = 1397,78 / 4 = 349,445 \text{ kN}$$

$\xi$  = 0,67 (Faktor empiric dari tipe tanah dengan tiang pancang)

$$L = 30 \text{ m}$$

$$Ap = \frac{1}{4} \times \pi \times D^2 = \frac{1}{4} \times 3,14 \times 0,6^2 = 0,2826 \text{ m}^2$$

$$Ep = 2,1 \times 10^6 \text{ kN/m}^2$$

$Cp$  = 0,03 (Faktor empirik dari tipe tanah dengan tipe tiang pancang)

$$Cs = \text{Konstanta empiris } (0,93 + 0,16 \sqrt{L/D}) \times Cp$$

$$= (0,93 + 0,16 \sqrt{30/0,6}) \times 0,03$$

$$= 0,061841$$

$$D = 0,6 \text{ m}$$

$$qp = Qwp / Ap = 89,02 / 0,2826$$

$$= 315 \text{ kN/m}^2 \text{ (tahanan ultimate ujung tiang)}$$

**b. Perhitungan Penurunan Elastis Tiang Tunggal**

$$Se_{(1)} = \frac{(Qwp + \xi Qws)L}{Ap \times Ep}$$

$$= \frac{(89,02 + 0,67 \times 349,445) \times 30}{0,2826 \times 2,1 \times 10^6}$$

$$= 0,016335 \text{ m}$$

$$Se_{(2)} = \frac{Qwp \times Cp}{D \times qp}$$

$$= \frac{89,02 \times 0,03}{0,6 \times 315}$$

$$= 0,01413 \text{ m}$$

$$Se_{(3)} = \frac{Qws \times Cs}{L \times qp}$$

$$= \frac{349,445 \times 0,061841}{30 \times 315} \\ = 0,0023 \text{ m}$$

Total penurunan :

$$\begin{aligned} S_e &= S_{e(1)} + S_{e(2)} + S_{e(3)} \\ &= 0,016335 + 0,01413 + 0,035645 \\ &= 0,03275 \text{ m} = 32,75 \text{ mm} \end{aligned}$$

### c. Penurunan Yang Dijinkan ( $S_{ijin}$ ) Menurut Terzaghi (1969) :

$$\begin{aligned} S_{ijin} &= 10\% \times D \\ &= 10\% \times 0,6 \\ &= 0,06 \text{ m} = 60 \text{ mm} \end{aligned}$$

Jadi penurunan tiang tunggal lebih kecil dari syarat yang diijinkan yaitu  $32,75 \text{ mm} < 60 \text{ mm}$ , sehingga syarat penurunan tersebut terpenuhi.

#### 4.6.2 Perhitungan Penurunan Kelompok Tiang Fondasi Tiang Pancang (Group Pile)

Rumus berikut ini, yang dikembangkan oleh Vesic (1977), dapat digunakan untuk menentukan penurunan elastis suatu kelompok tiang :

$$S_g = S_e \times \sqrt{\frac{B_g}{D}}$$

Dimana :

$S_g$  = Penurunan pondasi pada tiang kelompok (m)

$B_g$  = Lebar kelompok tiang (m)

$D$  = Diameter tiang (m)

##### a. Pondasi PC 1

Diketahui :

$S_e = 0,03275 \text{ m}$

$B_g = 1,2 \text{ m}$

$D = 0,6 \text{ m}$

$$\begin{aligned}
 Sg &= S_e \times \sqrt{\frac{Bg}{D}} \\
 &= 0,03275 \times \sqrt{\frac{1,2}{10,6}} \\
 &= 0,046319 \text{ m} = 46,319 \text{ mm}
 \end{aligned}$$

Hasil penurunan yang terjadi pada pondasi PC 1 adalah 46,319 mm.

#### b. Pondasi PC 6

Diketahui :

$$S_e = 0,03275 \text{ m}$$

$$Bg = 4,8 \text{ m}$$

$$D = 0,6 \text{ m}$$

$$\begin{aligned}
 Sg &= S_e \times \sqrt{\frac{Bg}{D}} \\
 &= 0,03275 \times \sqrt{\frac{4,8}{0,6}} \\
 &= 0,073237 \text{ m} = 73,237 \text{ mm}
 \end{aligned}$$

Hasil penurunan yang terjadi pada pondasi PC 6 adalah 73,237 mm.

#### c. Pondasi PC 8

Diketahui :

$$S_e = 0,03275 \text{ m}$$

$$Bg = 4,8 \text{ m}$$

$$D = 0,6 \text{ m}$$

$$\begin{aligned}
 Sg &= S_e \times \sqrt{\frac{Bg}{D}} \\
 &= 0,03275 \times \sqrt{\frac{4,8}{0,6}} \\
 &= 0,092638 \text{ m} = 92,638 \text{ mm}
 \end{aligned}$$

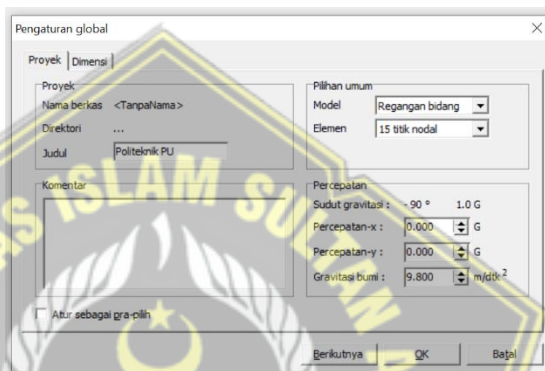
hasil penurunan yang terjadi pada pondasi PC 8 adalah 92,638 mm.

## 4.7 Hasil Perhitungan Menggunakan Aplikasi

### 4.7.1 Penurunan Fondasi Tiang Pancang Menggunakan Plaxis 8.6

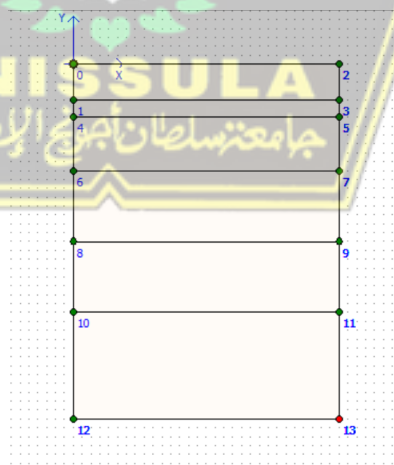
Permodelan Fondasi Tiang Pancang *Spun Pile* menggunakan Plaxis 8.6 untuk menghitung penurunan fondasi tiang pancang yang terjadi akibat beban *axial*. Berikut Langkah Langkah perhitungan fondasi P1 dengan menggunakan *software* Plaxis sebagai berikut :

1. Langkah awal pada perhitungan plaxis yaitu menentukan satuan yang akan digunakan.



Gambar 4. 10 Pengaturan global - dimensi

2. Kemudian klik simbol untuk mengatur pemodelan geometri tanah dan disesuaikan dengan data tanah.



Gambar 4. 11 Permodelan Profil Tanah

3. Kemudian klik simbol lalu tentukan jenis material tanah yang akan digunakan dalam perencanaan.

Mohr-Coulomb - Layer 1

Umum | Parameter | Antarmuka |

Kumpulan material

Identifikasi: Layer 1  
Model material: Mohr-Coulomb  
Jenis material: Terdrainase

Sifat umum

$\gamma_{unsat}$ : 1.758 kN/m<sup>3</sup>  
 $\gamma_{sat}$ : 1.298 kN/m<sup>3</sup>

Komentar

Permeabilitas

$k_x$ : 0.000 m/hari  
 $k_y$ : 0.000 m/hari

Tingkat lanjut...

SoilTest Berikutnya OK Batal

Gambar 4. 12 Data Umum Material Fill

Umum | Parameter | Antarmuka |

Kekakuan

$E_{ref}$ : 4.780E+04 kN/m<sup>2</sup>  
 $v_{(nu)}$ : 0.200

$c_{ref}$ : 2.000E+04 N/m<sup>2</sup>  
 $\phi \text{ (phi)}$ : 5.893°  
 $v_{(ps)}$ : 0.000

Alternatif

$G_{ref}$ : 1.991E+04 kN/m<sup>2</sup>  
 $E_{dud}$ : 5.314E+04 kN/m<sup>2</sup>

Kecepatan

$V_s$ : 333.200 m/dik  
 $V_p$ : 334.600 m/dik

Tingkat lanjut...

SoilTest Berikutnya OK Batal

Gambar 4. 13 Data parameter

Mohr-Coulomb - Layer 1

Umum | Parameter | Antarmuka |

Kekakuan

Kalui  
 Manual

$R_{inter}$ : 1.000

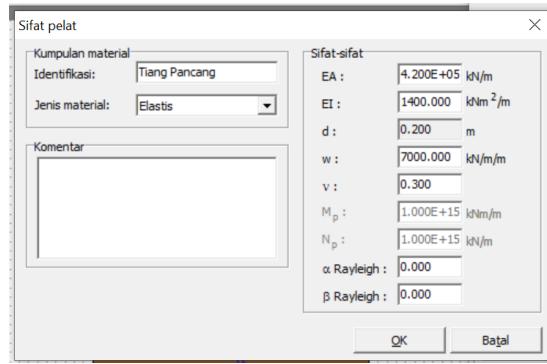
Tebal antarmuka sebenarnya

$C_{inter}$ : 0.000

SoilTest Berikutnya OK Batal

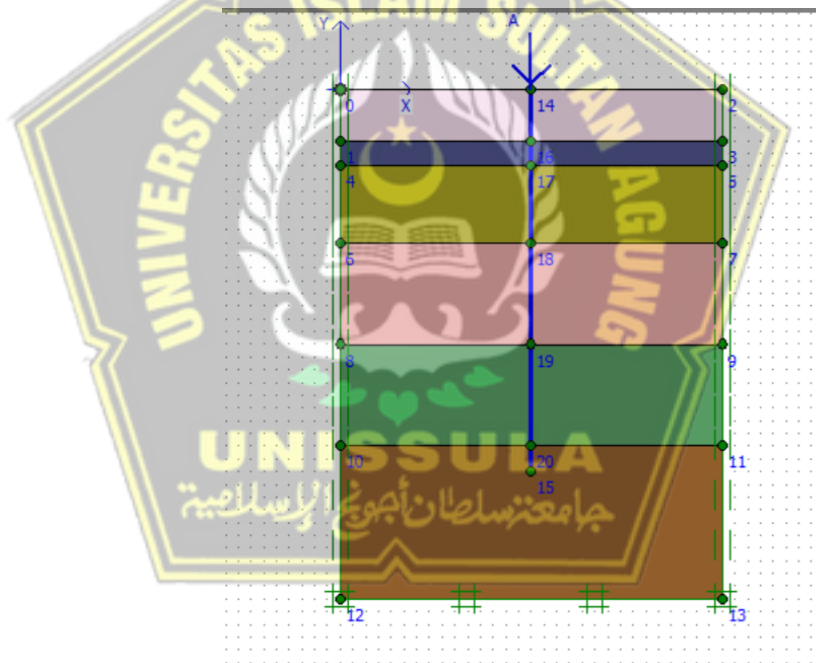
Gambar 4. 14 Data Antar Muka Material

4. Untuk selanjutnya ulangi langkah 1 sampai 3 untuk menentukan material tanah lainnya
5. Kemudian klik kembali kumpulan data material, selanjutnya pilih plat untuk membuat data tanah material *pile* sesuai hasil dari perhitungan.



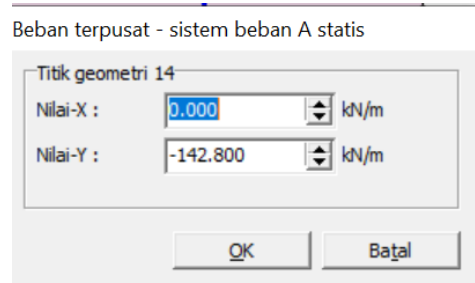
**Gambar 4. 15 Data Material Fondasi**

6. Klik simbol plat  untuk menentukan pemodelan fondasi tiang pancang, kemudian klik simbol  yaitu untuk menentukan tekanan positif dan tekanan negatif yang terdapat pada daerah keliling fondasi.

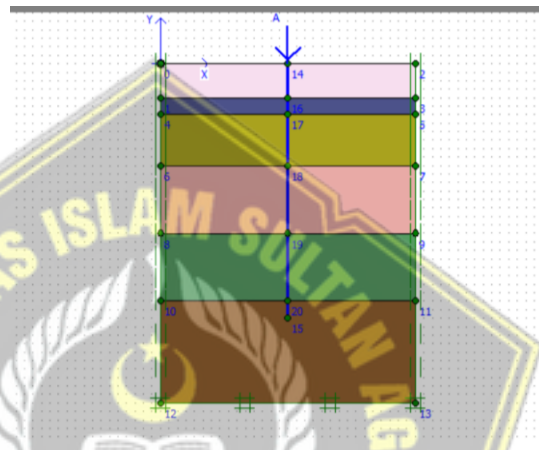


**Gambar 4. 16 Permodelan Fondasi Tiang Pancang**

7. Selanjutnya isilah data material ke pemodelan sesuai dengan data material yang sebelumnya telah dibuat.
8. Klik simbol  untuk memberi beban sebesar kN/ m<sup>2</sup> diatas fondasi tiang pancang.

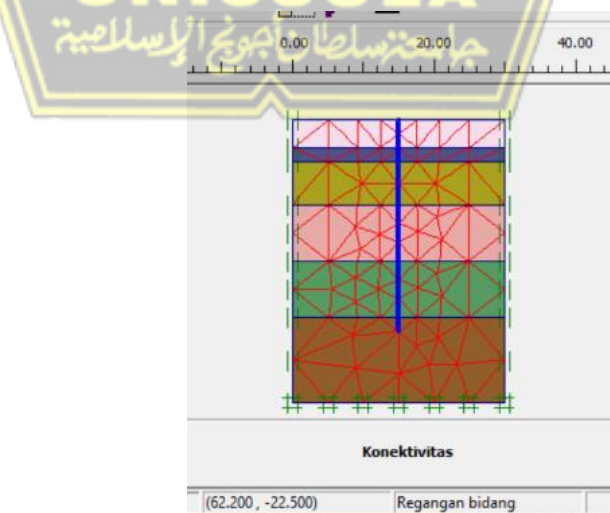


**Gambar 4. 17** Input Pembebaan



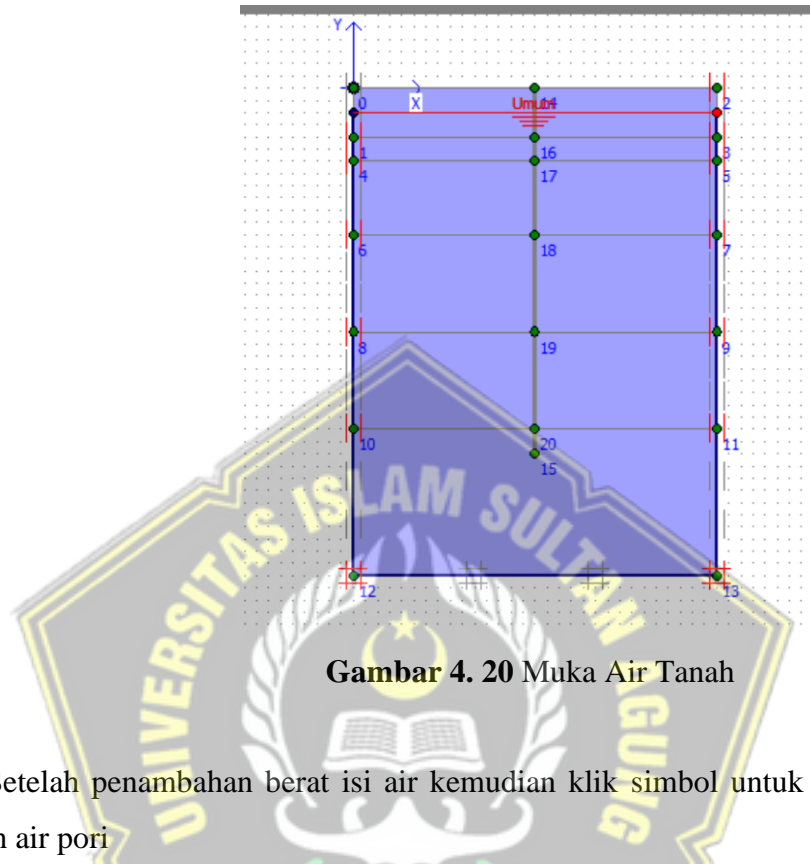
**Gambar 4. 18** Beban pada Tiang Pancang

9. Lalu klik simbol yang berfungsi untuk melihat berapa hasil dari susunan jaringan antar elemen

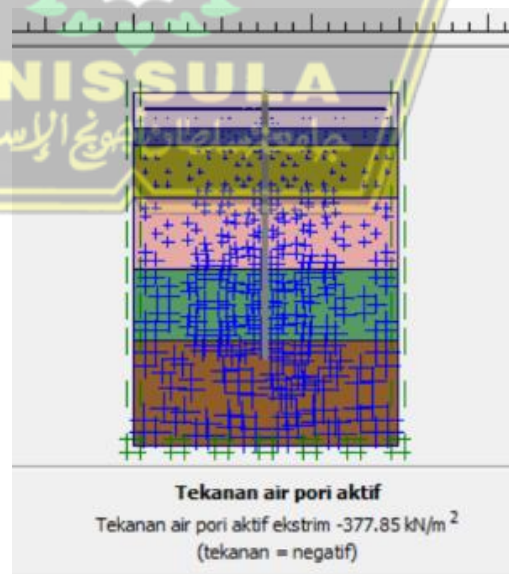


**Gambar 4. 19** Susunan Jaringan Elemen

10. Kemudian klik simbol kondisi awal yang terdapat di *toolbar*
11. Klik symbol  untuk menambah berat isi air

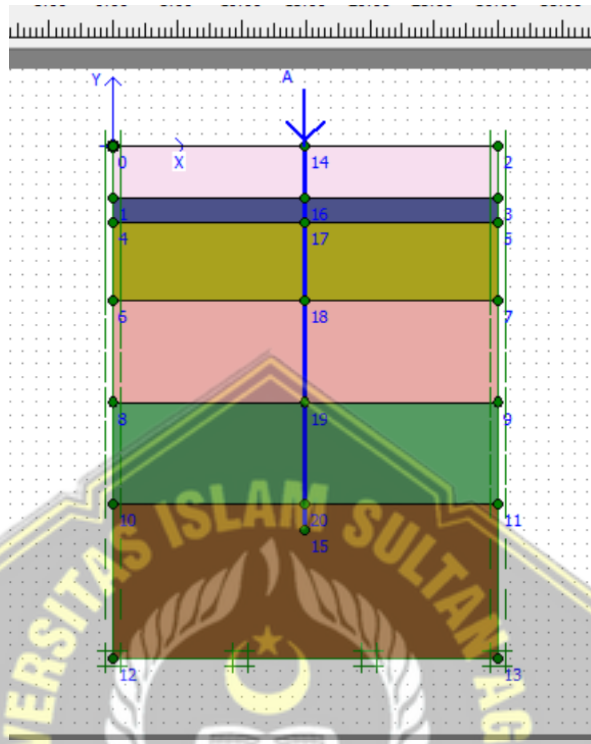


12. Setelah penambahan berat isi air kemudian klik simbol untuk mengaktifkan tekanan air pori



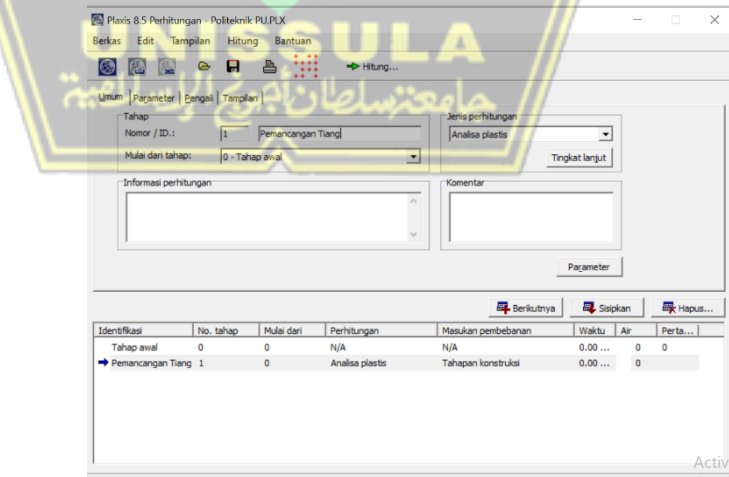
**Gambar 4. 21 Tekanan Air Pori Aktif**

13. Klik symbol ● yaitu untuk memulai tekanan air pori yang sudah ada sebelumnya.



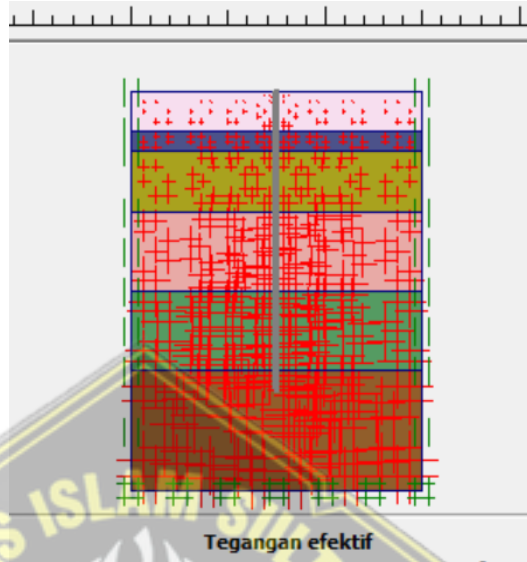
Gambar 4. 22 Mengaktifkan Tekanan Air Pori Awal

14. Untuk mengaktifkan tekanan kuat, pilih ikon dari toolbar. Diikuti dengan klik "ok" untuk menampilkan gambar, dan terakhir klik "perbarui".



Gambar 4. 23 Tahap-tahap Perhitungan Konsrtuksi

15. Dan yang terakhir klik simbol tujuannya biar bisa memeriksa output hitungan turunan pondasi.



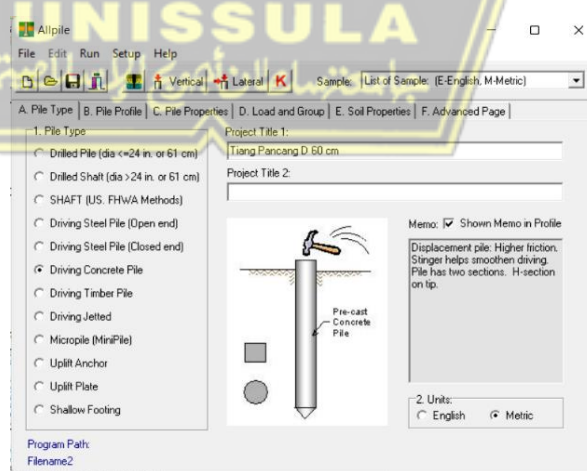
**Gambar 4. 24** Perpindahan Total Ekstrim

Jadi penurunan pada fondasi P1 menggunakan aplikasi plaxis adalah 0,44 cm.

#### 4.7.2 Analisa Permodelan dengan Program Aplikasi (AllPile)

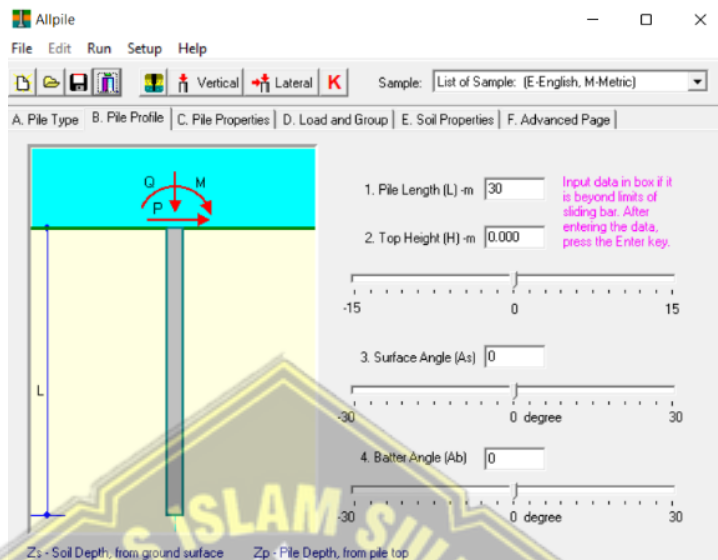
Langkah-langkah penyelesaian dengan menggunakan aplikasi AllPile adalah :

1. Pilih jenis fondasi yang akan digunakan, dan beri nama untuk usaha tersebut.



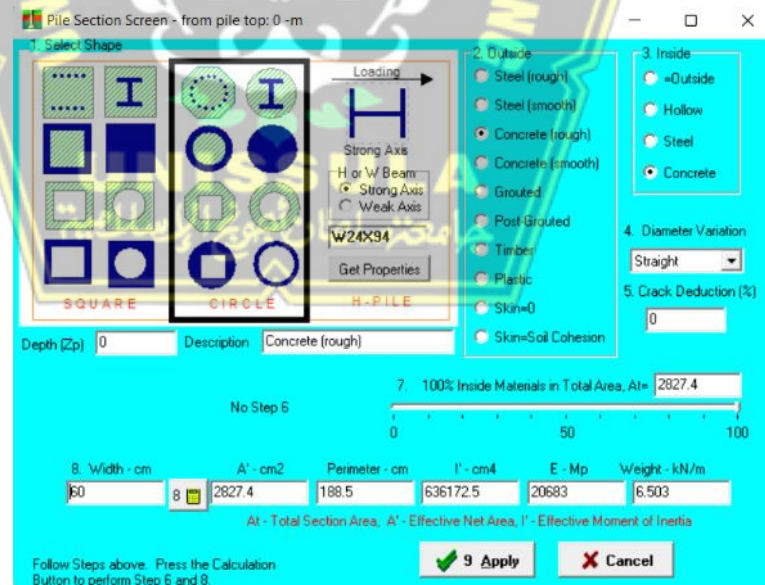
**Gambar 4. 25** Gambar Input pada Pile Type

2. Panjang keseluruhan pondasi, kedalaman pondasi yang akan disembunyikan di bawah tanah, kemiringan tanah, dan kemiringan pondasi harus dimasukkan.

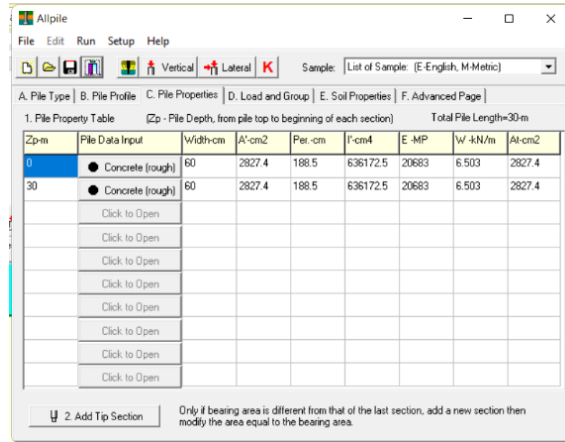


**Gambar 4. 26** Gambar Input pada Pile Profile

3. Memasukkan dan memilih data-data fondasi yang akan direncanakan berdasarkan material, tulangan, ukuran fondasi.

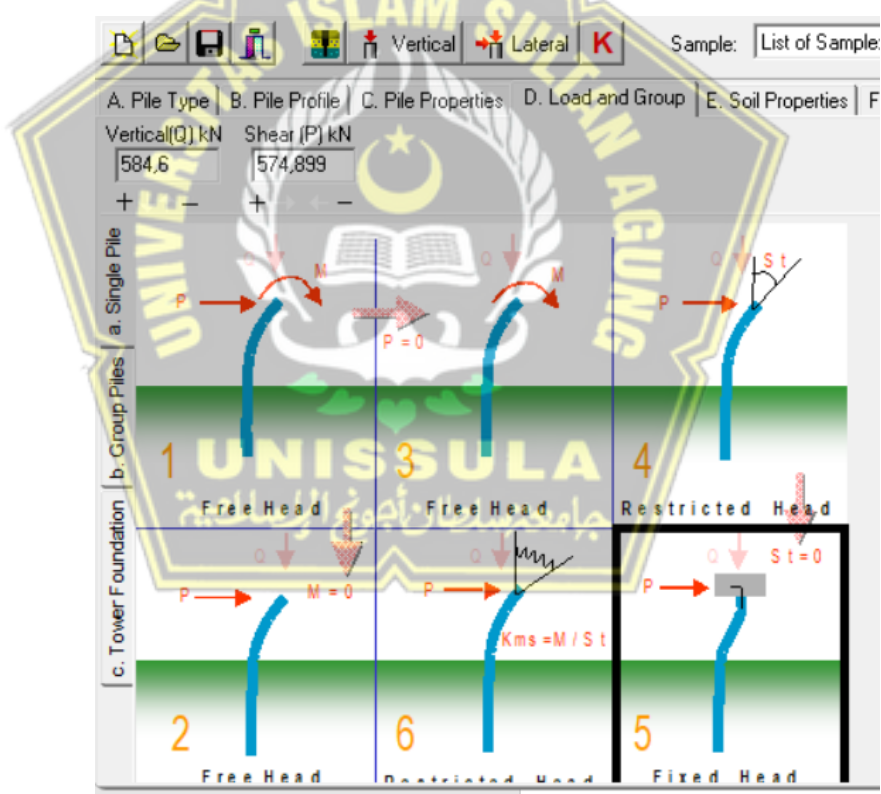


**Gambar 4. 27** Gambar Hasil Input pada Pile Section



**Gambar 4. 28** Gambar Hasil *Input* pada *Pile Properties*

4. Memasukkan pembebanan yang diterima yang diperoleh dari hasil perhitungan ETABS.



**Gambar 4. 29** Gambar Hasil *Input* pada *Load and Group*

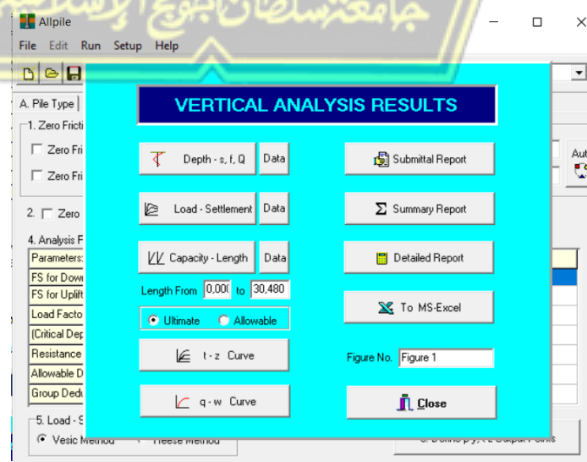
5. Memasukkan data-data tanah yang diperoleh dari N-SPT, serta kedalaman tanah berserta parameter-parameter yang akan direncanakan.

**Gambar 4. 30 Gambar Hasil Input dari Soil Properties**

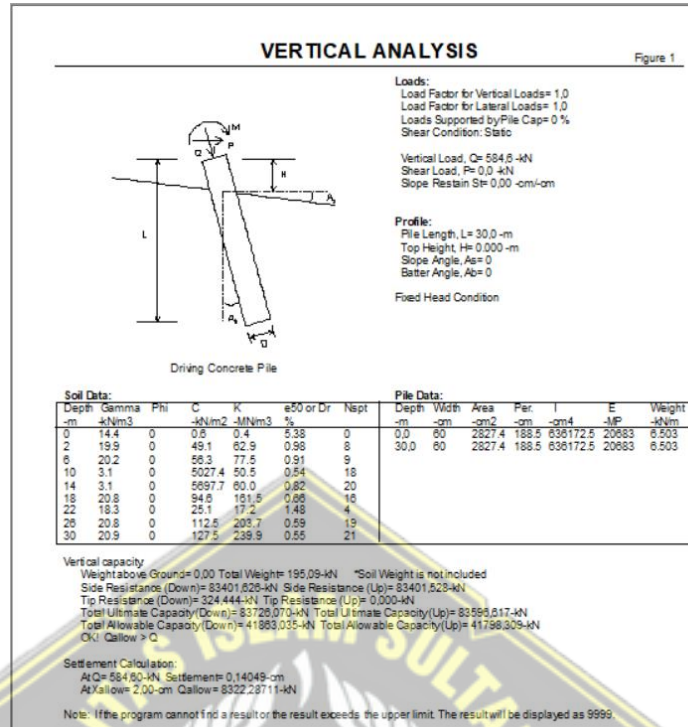
#### 6. Memasukkan angka keamanan/safety factor (SF)

**Gambar 4. 31 Gambar Hasil Input dari Advance Page**

#### 7. Pada tahap terakhir yaitu memilih toolbar yang bertuliskan vertkcal dan program akan segera memproses serta mendapatkan angka-angka yang dibutuhkan.



**Gambar 4. 32 Gambar Hasil dari Vertical Analysis**



Gambar 4. 33 Gambar Hasil yang Diperoleh dari *Vertical Analysis*

#### 4.7.3 Hasil Perhitungan Penurunan Fondasi

Tabel 4.9 menampilkan hasil perbandingan penurunan pondasi tiang yang ditentukan secara manual dengan menggunakan metode Vesic 1977 dan secara otomatis dengan menggunakan perangkat lunak yang memanfaatkan aplikasi Plaxis dan AllPile.

**Tabel 4. 9** Hasil Perhitungan

| Fondasi | Vesic 1977 | Plaxis  | AllPile |
|---------|------------|---------|---------|
| P1      | 4,63 cm    | 0,44 cm | 0,14 cm |
| P6      | 7,32 cm    | 2,06 cm | 1,96 cm |
| P8      | 9,26 cm    | 0,76 cm | 1,24 cm |

(Sumber : Hasil Perhitungan 2022)

Hasil perhitungan menggunakan metode manual Vesic, memiliki hasil penurunan yang lebih besar dibandingkan dengan program karena pada perhitungan Vesic tidak mencantumkan beban aksial dan berat sendiri *pilecap*.

#### 4.8 Perhitungan *Pile Cap*

##### 4.8.1 Berat Sendiri *Pile Cap*

###### • Pile Tipe 1

$$\text{Panjang} = 1,2$$

$$\text{Lebar} = 1,2$$

$$Pu = 574,8991 \text{ Ton}$$

$$\begin{aligned} W &= (P_{pile cap} + L_{pile cap}) \times \text{berat jenis beton} \\ &= (1,2 + 1,2) \times 2,4 \\ &= 5,76 \end{aligned}$$

Maka total beban yang diterima *pile cap* :

$$\begin{aligned} \Sigma Pv &= Pu + W \\ &= 574,8991 + 5,76 \\ &= 580,6591 \text{ Ton} \end{aligned}$$

###### • Pile Tipe 6

$$\text{Panjang} = 4,8$$

$$\text{Lebar} = 4,8$$

$$Pu = 1686,811$$

$$\begin{aligned} W &= (P_{pile cap} + L_{pile cap}) \times \text{berat jenis beton} \\ &= (4,8 + 4,8) \times 2,4 \\ &= 23,04 \end{aligned}$$

Maka total beban yang diterima *pile cap* :

$$\begin{aligned} \Sigma Pv &= Pu + W \\ &= 1686,811 + 23,04 \\ &= 1709,851 \text{ Ton} \end{aligned}$$

 Pile Tipe 8

$$\text{Panjang} = 4,8$$

$$\text{Lebar} = 4,8$$

$$P_u = 3397,474$$

$$W = (P_{pile cap} + L_{pile cap}) \times \text{berat jenis beton}$$

$$= (4,8 + 4,8) \times 2,4$$

$$= 23,04$$

Maka total beban yang diterima *pile cap* :

$$\begin{aligned}\Sigma Pv &= P_u + W \\ &= 3397,474 + 23,04 \\ &= 3420,514 \text{ Ton}\end{aligned}$$

#### 4.8.2 Perhitungan Beban Maksimum Yang Diterima Satu Tiang

- a. Pada *Pile Cap* P1

$$\Sigma Pv = 580,659 \text{ ton}$$

$$M_x = 103,45 \text{ ton}$$

$$M_y = 44,47 \text{ ton}$$

Beban Pmaks dan Pmin yaitu :

$$\begin{aligned}P &= \frac{\Sigma Pv}{n} \pm \frac{M_x \cdot y_i}{n_x \cdot \Sigma y^2} \pm \frac{M_y \cdot x_i}{n_y \cdot \Sigma x^2} \\ &= \frac{39,49}{1} \pm \frac{13,45 \cdot 0,6}{1 \cdot 0,72} \pm \frac{4,47 \cdot 0,6}{1 \cdot 0,72}\end{aligned}$$

$$\text{Pmaks} = 503,926 \text{ ton}$$

$$\text{Pmin} = 457,392 \text{ ton}$$

Maka :

$$n = 1$$

$$n_x = 1$$

$$n_y = 1$$

$$x_i = 0,6 \text{ m}$$

$$y_i = 0,6 \text{ m}$$

$$\Sigma x^2 = (0,6^2) + (0,6^2) = 0,72 \text{ m}^2$$

$$\Sigma y^2 = (0,6^2) + (0,6^2) = 0,72 \text{ m}^2$$

Maka perhitungan

Pmaks < Q allgrup

$$503,926 < 584,6$$

Jadi beban maksimumnya yaitu :

$$P1 = 503,926 \text{ ton}$$

$$P2 = 457,392 \text{ ton}$$

- b. Pada *Pile Cap P6*

$$\Sigma Pv = 1705,53 \text{ ton}$$

$$Mx = 151,67 \text{ ton}$$

$$My = 75,98 \text{ ton}$$

Beban Pmaks dan Pmin adalah :

$$\begin{aligned} P &= \frac{\Sigma Pv}{n} \pm \frac{Mx.yi}{nx.\Sigma y^2} \pm \frac{My.xi}{ny.\Sigma x^2} \\ &= \frac{1705,532}{8} \pm \frac{151,67.2,4}{3.11,52} \pm \frac{75,98.2,4}{3.11,52} \end{aligned}$$

$$Pmaks = 229 \text{ ton}$$

$$Pmin = 197,82 \text{ ton}$$

Maka :

$$n = 8 \quad \text{جامعة سلطان احمد الجامعية الإسلامية}$$

$$n_x = 3$$

$$n_y = 3$$

$$x_i = 2,4$$

$$y_i = 2,4$$

$$\Sigma x^2 = (2,4^2) + (2,4^2) = 11,52 \text{ m}^2$$

$$\Sigma y^2 = (2,4^2) + (2,4^2) = 11,52 \text{ m}^2$$

Maka perhitungan

Pmaks < Q allgrup

$229 < 3414,06$  (OK)

Jadi beban maksimumnya yaitu :

$$P_1 = 229 \text{ ton}$$

$$P_2 = 197,82 \text{ ton}$$

c. Pada *Pile Cap P8*

$$\Sigma Pv = 3420,514 \text{ ton}$$

$$M_x = 215,06 \text{ ton}$$

$$M_y = 91,39 \text{ ton}$$

Beban Pmaks dan Pmin yaitu :

$$\begin{aligned} P &= \frac{\Sigma Pv}{n} \pm \frac{M_x \cdot y_i}{n \cdot x \cdot \Sigma y^2} \pm \frac{M_y \cdot x_i}{n \cdot y \cdot \Sigma x^2} \\ &= \frac{3020,514}{8} \pm \frac{215,06 \cdot 2,4}{3,11,52} \pm \frac{91,39 \cdot 2,4}{3,11,52} \end{aligned}$$

$$P_{\max} = 401,339 \text{ ton}$$

$$P_{\min} = 358,776 \text{ ton}$$

Maka :

$$n = 9$$

$$n_x = 3$$

$$n_y = 3$$

$$x_i = 2,4$$

$$y_i = 2,4$$

$$\Sigma x^2 = (2,4^2) + (2,4^2) = 11,52 \text{ m}^2$$

$$\Sigma y^2 = (2,4^2) + (2,4^2) = 11,52 \text{ m}^2$$

Maka perhitungan

$P_{\max} < Q_{\text{allgrup}}$

$$401,339 < 3840,82$$

Jadi beban maksimum diperoleh :

$$P_1 = 401,339 \text{ ton}$$

$$P_2 = 358,776 \text{ ton}$$

$$P_{maks} = 401,339 \text{ ton}$$

$$P_{min} = 358,776 \text{ ton}$$

#### 4.8.3 Perhitungan Tinggi Pile Cap

##### ⊕ Pile Cap tipe P1

$$P_u = 574,8991 \text{ ton}$$

$$C_1 = 500 \text{ mm}$$

$$C_2 = 500 \text{ mm}$$

$$B_x = 550 \text{ mm}$$

$$B_y = 550 \text{ mm}$$

$$M_x = 103,45 \text{ ton}$$

$$A_s = 275 \text{ mm}^2$$

$$D_{tulangan} = 22 \text{ mm}$$

$$F_{c'} = 30 \text{ MPa}$$

$$F_y = 420 \text{ MPa}$$

$$\lambda = 1, \text{ untuk beton normal}$$

$$\text{Selimut beton} = 50 \text{ mm}$$

$$\text{Asumsi tebal Pile cap} = 600 \text{ mm}$$

Perhitungan :

a. Kontrol tegangan Geser Dua Arah

Perhitungan tinggi efektif

$$d_x = h - \text{selimut beton} - \text{diameter tulangan}$$

$$= 1000 - 50 - 22$$

$$= 928$$

$$\beta_c = c_1/c_2$$

$$= 500/500$$

$$= 1$$

$$b_o = 2 \times (c_1 + d) + 2 \times (c_2 + d)$$

$$= 2 \times (500 + 928) + 2 \times (500 + 928)$$

$$= 5712$$

b. Perhitungan Kuat Geser Beton

$$\begin{aligned}
 \bullet Vc &= \left(1 + \frac{2}{\beta_c}\right) \times \frac{\lambda x (fc^{0.5}) x bo x d}{6} \\
 &= \left(1 + \frac{2}{1}\right) \times \frac{1 x (30^{0.5}) x 3712 x 928}{6} \\
 &= 14516663.39N \\
 &= 14516.66339 \text{ kN} \\
 \bullet Vc &= \frac{as x d}{b_0} + 2 x \lambda x (fc^{0.5}) x bo x d \\
 &= \frac{275 x 928}{1720} + 2 x 1 x (30^{0.5}) x 3712 x 928 \\
 &= 58066698.25 \text{ N} \\
 &= 58066.69825 \text{ kN} \\
 \bullet Vc &= 0,33 x \lambda x (fc^{0.5}) x bo x d \\
 &= 0,33 x 1 x (30^{0.5}) x 3712 x 928 \\
 &= 9580997.839 \text{ N} \\
 &= 9580.997839 \text{ kN} \\
 Vu &= P1 \\
 &= 503,932 \text{ Ton}
 \end{aligned}$$

Dipilih  $Vc$  yang nilainya terkecil, jadi  $= 0,75 \times 9580.997839 = 7185.748379 \text{ kN} = 732.74 \text{ ton}$ . Sehingga syarat  $Vc > Vu$  terpenuhi, yaitu  $732.74 \text{ ton} > 503,932 \text{ ton}$ , maka tebal pile cap aman.

 Pile Cap tipe P6

$$\begin{aligned}
 Pu &= 1686,811 \text{ ton} \\
 C1 &= 700 \text{ mm} \\
 C2 &= 700 \text{ mm} \\
 Bx &= 750 \text{ mm} \\
 By &= 750 \text{ mm} \\
 Mx &= 151,67 \text{ ton} \\
 As &= 375 \text{ mm}
 \end{aligned}$$

$D_{\text{tulangan}} = 22 \text{ mm}$   
 $F_c' = 30 \text{ MPa}$   
 $F_y = 420 \text{ MPa}$   
 $\lambda = 1$ , untuk beton normal  
 Selimut beton = 50 mm  
 Asumsi tebal Pile cap = 800 mm  
 Perhitungan :

a. Kontrol tegangan Geser Dua Arah

Perhitungan tinggi efektif

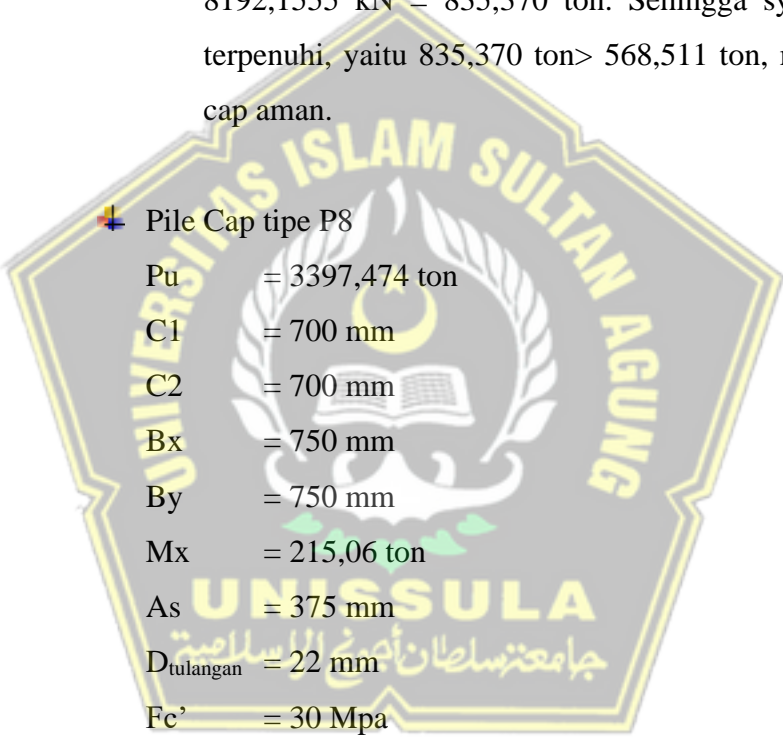
$$\begin{aligned}
 dx &= h - \text{selimut beton} - \text{diameter tulangan} \\
 &= 1000 - 50 - 22 \\
 &= 928 \\
 \beta_c &= c_1/c_2 \\
 &= 700 / 700 \\
 &= 1 \\
 b_o &= 2 \times (c_1 + d) + 2 \times (c_2 + d) \\
 &= 2 \times (700 + 928) + 2 \times (700 + 928) \\
 &= 6512
 \end{aligned}$$

b. Perhitungan Kuat Geser Beton

$$\begin{aligned}
 \bullet V_c &= \left(1 + \frac{2}{\beta_c}\right) \times \frac{\lambda \times (f_c^{0.5}) \times b_o \times d}{6} \\
 &= \left(1 + \frac{2}{1}\right) \times \frac{1 \times (30^{0.5}) \times 6512 \times 928}{6} \\
 &= 16549809,526 \text{ N} \\
 &= 16549,809526 \text{ kN} \\
 \bullet V_c &= \frac{as \times d}{b_o} + 2 \times \lambda \times (f_c^{0.5}) \times b_o \times d \\
 &= \frac{375 \times 928}{6512} + 2 \times 1 \times (30^{0.5}) \times 6512 \times 928 \\
 &= 52,439 + 66199238,105 \\
 &= 66199290,544 \text{ N} \\
 &= 66199,290 \text{ kN}
 \end{aligned}$$

- $$\begin{aligned}
 V_c &= 0,33 \times \lambda \times (f_c^{0,5}) \times b_o \times d \\
 &= 0,33 \times 1 \times (30^{0,5}) \times 6512 \times 928 \\
 &= 10922874,287 \text{ N} \\
 &= 10922,874 \text{ kN} \\
 V_u &= P_1 + P_2 \\
 &= 309,022 + 259,489 \\
 &= 568,511 \text{ Ton}
 \end{aligned}$$

Dipilih  $V_c$  yang nilainya terkecil, jadi  $= 0,75 \times 10922,874 = 8192,1555 \text{ kN} = 835,370 \text{ ton}$ . Sehingga syarat  $V_c > V_u$  terpenuhi, yaitu  $835,370 \text{ ton} > 568,511 \text{ ton}$ , maka tebal pile cap aman.

- 
- Pile Cap tipe P8
  - $P_u = 3397,474 \text{ ton}$
  - $C_1 = 700 \text{ mm}$
  - $C_2 = 700 \text{ mm}$
  - $B_x = 750 \text{ mm}$
  - $B_y = 750 \text{ mm}$
  - $M_x = 215,06 \text{ ton}$
  - $A_s = 375 \text{ mm}^2$
  - $D_{\text{tulangan}} = 22 \text{ mm}$
  - $f'_c = 30 \text{ Mpa}$
  - $f_y = 420 \text{ Mpa}$
  - $\lambda = 1$ , untuk beton normal

Selimut beton = 50 mm

Asumsi tebal Pile cap = 900 mm

Perhitungan :

c. Kontrol tegangan Geser Dua Arah

Perhitungan tinggi efektif

$$dx = h - \text{selimut beton} - \text{diameter tulangan}$$

$$= 1200 - 50 - 22$$

$$= 1128$$

$$\beta_c = c_1/c_2$$

$$= 700/700$$

$$= 1$$

$$b_o = 2 \times (c_1 + d) + 2 \times (c_2 + d)$$

$$= 2 \times (700 + 1128) + 2 \times (700 + 1128)$$

$$= 7312$$

d. Perhitungan Kuat Geser Beton

$$\bullet V_c = \left(1 + \frac{2}{\beta_c}\right) \times \frac{\lambda \times (f_c^{0.5}) \times b_o \times d}{6}$$

$$= \left(1 + \frac{2}{1}\right) \times \frac{1 \times (30^{0.5}) \times 7312 \times 1128}{6}$$

$$= 22587903 \text{ N}$$

$$= 22587,903 \text{ kN}$$

$$\bullet V_c = \frac{as \times d}{b_0} + 2 \times \lambda \times (f_c^{0.5}) \times b_o \times d$$

$$= \frac{375 \times 1128}{b_0} + 2 \times 1 \times (30^{0.5}) \times 7312 \times 1128$$

$$= 90351669.85 \text{ N}$$

$$= 90351,6699 \text{ kN}$$

$$\bullet V_c = 0,33 \times \lambda \times (f_c^{0.5}) \times b_o \times d$$

$$= 0,33 \times 1 \times (30^{0.5}) \times 7312 \times 1128$$

$$= 14908015,98 \text{ N}$$

$$= 14908,01598 \text{ kN}$$

$$V_u = P_1 + P_2$$

$$= 398,846 + 356,283$$

$$= 755,129 \text{ Ton}$$

Dipilih  $V_c$  yang nilainya terkecil, jadi  $= 0,75 \times 14908,01598$

$= 11181.01199 \text{ kN} = 1140,15 \text{ ton}$ . Sehingga syarat  $V_c > V_u$

terpenuhi, yaitu  $1140,15 \text{ ton} > 755,129 \text{ ton}$ , maka tebal pile cap aman.

#### 4.8.4 Perhitungan Penulangan Pile Cap

##### Pile Cap Tipe P1

Direncanakan :

Tebal pile cap = 600 mm

Selimut beton = 50 mm

Diameter tulangan = 22 mm

$M_{ux}$  dari ETABS = 13,45 ton

$M_{uy}$  dari ETABS = 4,47 ton

$B_x$  = 550 mm

$B_y$  = 550 mm

$F_y$  = 420 MPa

$F_{c'}$  = 30 MPa

$\phi$  = 0,8 (untuk momen lentur)

$\beta$  = 0,83

Tulangan arah X :

$M_{ux} = 13,45 \text{ ton} = 134500000 \text{ kg.mm}$

$d = 0,9 \times \text{lebar}$

$= 0,9 \times 1200$

$= 1080 \text{ mm}$

$$\begin{aligned} R_n &= \frac{Mu}{\phi \times 0,85 \times f_c \times bx} \\ &= \frac{13,45}{0,83 \times 0,85 \times 30 \times 550} \\ &= 0,0012 \end{aligned}$$

$$\begin{aligned} W_n &= 1 - (\sqrt{1-2xR_n})^{1/2} \\ &= 1 - (\sqrt{1-2 \times 0,0012})^{1/2} \\ &= 0,9 \end{aligned}$$

$$\rho = \frac{w \times 0,85 f_c}{f_v}$$

$$\rho = \frac{0,9 \times 0,85 \times 30}{420}$$

$$\rho = 0,054$$

$$\rho_{\text{min}} = \frac{1,4}{f_y}$$

$$\rho_{\text{min}} = \frac{1,4}{420}$$

$$\rho_{\text{min}} = 0,003$$

$$\begin{aligned}\rho_{\text{max}} &= 0,75 \times \frac{0,85 \times \beta \times f}{f} \times \frac{6000}{6000+f_y} \\ &= 0,75 \times \frac{0,85 \times 0,83 \times 420}{420} \times \frac{6000}{6000+420} \\ &= 0,494\end{aligned}$$

Cek syarat rasio tulangan :

$$\rho_{\text{min}} < \rho < \rho_{\text{maks}}$$

Karena  $\rho_{\text{min}} > \rho$  maka diambil  $\rho_{\text{min}} = 0,054$

$$\begin{aligned}\text{Luas tulangan perlu} &= \rho_{\text{pakai}} \times b \times d \\ &= 0,003 \times 1200 \times 1080 \\ &= 3888 \text{ m}^2\end{aligned}$$

$$\text{Luas tulangan D22} = \frac{1}{4} \times \pi \times D^2$$

$$\begin{aligned}&= \frac{1}{4} \times 3,14 \times 22^2 \\ &= 379,94 \text{ mm}^2\end{aligned}$$

Jumlah tulangan yang dibutuhkan, yaitu =  $3888/379,94 = 11$   
buah

Jarak antar tulangan

$$S = \frac{b}{n \text{ tulangan}} = \frac{1200}{11} = 100 \text{ mm}$$

Jadi dipakai tulangan D22-100 mm

Tulangan arah Y :

$$M_{UY} = 4,47 \text{ ton}$$

$$\begin{aligned}D &= 0,9 \times \text{lebar} \\ &= 0,9 \times 1200\end{aligned}$$

$$= 1080 \text{ mm}$$

$$\begin{aligned} R_n &= \frac{Mu}{\phi \times 0,85 \times f_c \times b_x} \\ &= \frac{4,47}{0,83 \times 0,85 \times 30 \times 550} \\ &= 0,00038 \end{aligned}$$

$$\begin{aligned} W_n &= 1 - (\sqrt{1-2xR_n})^{1/2} \\ &= 1 - (\sqrt{1-2 \times 0,00038})^{1/2} \\ &= 0,00019 \end{aligned}$$

$$\begin{aligned} \rho &= \frac{w \times 0,85 f_c}{f_v} \\ \rho &= \frac{0,00019 \times 0,85 \times 30}{420} \\ \rho &= 0,00011 \\ \rho_{\min} &= \frac{1,4}{f_y} \\ \rho_{\min} &= \frac{1,4}{420} \\ \rho_{\min} &= 0,003 \\ \rho_{\max} &= 0,75 \times \frac{0,85 \times \beta \times f}{f} \times \frac{6000}{6000+f_y} \\ &= 0,75 \times \frac{0,85 \times 0,83 \times 420}{420} \times \frac{6000}{6000+420} \\ &= 0,494 \end{aligned}$$

Cek syarat rasio tulangan :  
 $\rho_{\min} < \rho < \rho_{\max}$

Karena  $\rho_{\min} > \rho$  maka diambil  $\rho = 0,054$

$$\begin{aligned} \text{Luas tulangan perlu} &= \rho \times b \times d \\ &= 0,003 \times 1200 \times 1080 \\ &= 3888 \text{ m}^2 \end{aligned}$$

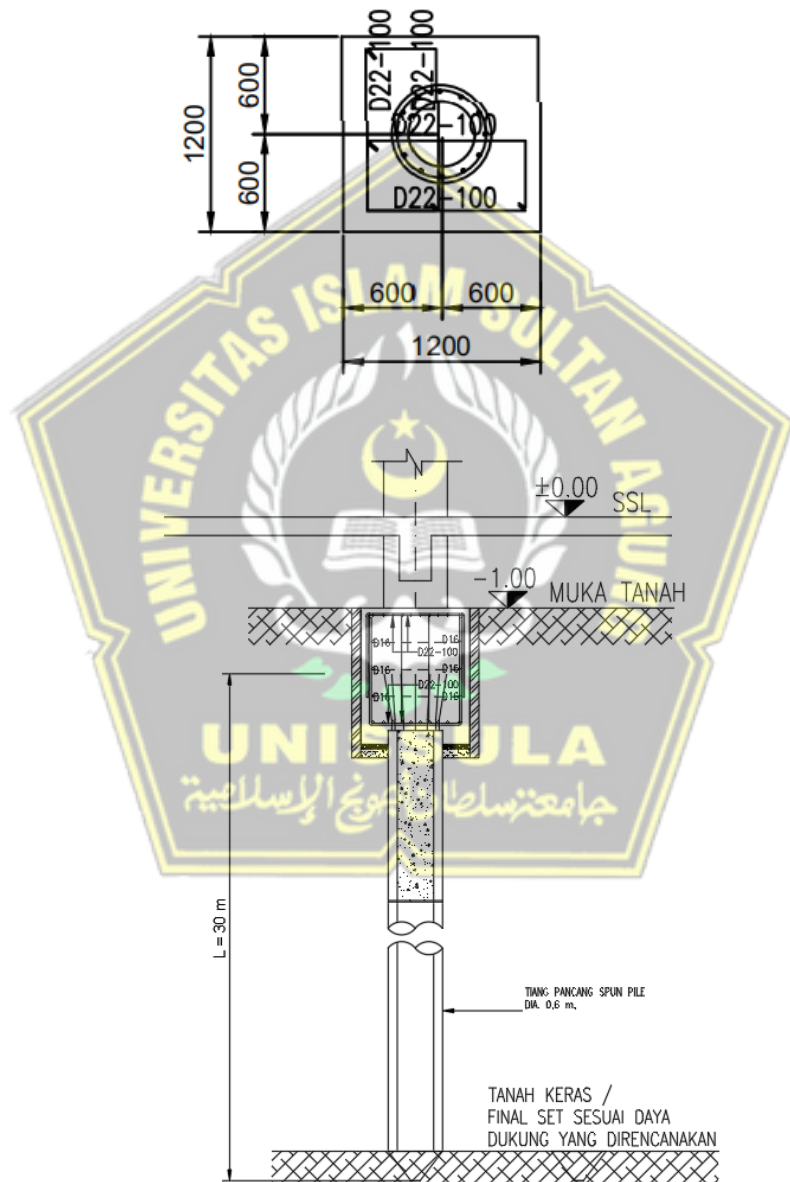
$$\begin{aligned} \text{Luas tulangan D22} &= \frac{1}{4} \times \pi \times D^2 \\ &= \frac{1}{4} \times 3,14 \times 22^2 \\ &= 379,94 \text{ mm}^2 \end{aligned}$$

Jumlah tulangan yang dibutuhkan, yaitu =  $3888/379,94 = 11$   
buah

Jarak antar tulangan

$$S = \frac{b}{n \text{ tulangan}} = \frac{1200}{11} = 100 \text{ mm}$$

Jadi dipakai tulangan D22-100 mm



Gambar 4. 34 Detail Pile Cap PC.1

## Pada Pile Cap tipe P6

Direncanakan :

$$\text{Tebal pile cap} = 800 \text{ mm}$$

$$\text{Selimut beton} = 50 \text{ mm}$$

$$\text{Diameter tulangan} = 22 \text{ mm}$$

$$M_{ux} \text{ dari ETABS} = 11,67 \text{ ton}$$

$$M_{uy} \text{ dari ETABS} = 5,98 \text{ ton}$$

$$B_x = 750 \text{ mm}$$

$$B_y = 750 \text{ mm}$$

$$F_y = 420 \text{ MPa}$$

$$F_{c'} = 30 \text{ MPa}$$

$$\phi = 0,8 \text{ (untuk momen lentur)}$$

$$\beta = 0,83$$

Tulangan arah X :

$$M_{ux} = 11,67 \text{ ton} = 116700000 \text{ kg.mm}$$

$$d = 0,9 \times \text{lebar}$$

$$= 0,9 \times 4800$$

$$= 4320 \text{ mm}$$

$$R_n = \frac{M_u}{\phi \times 0,85 \times f_c \times b_x}$$

$$= \frac{11,67}{0,83 \times 0,85 \times 30 \times 750}$$

$$= 0,0007$$

$$W_n = 1 - (\sqrt{1 - 2 \times R_n})^{1/2}$$

$$= 1 - (\sqrt{1 - 2 \times 0,0007})^{1/2}$$

$$= 0,0035$$

$$\rho = \frac{w \times 0,85 f_c}{f_v}$$

$$\rho = \frac{0,0035 \times 0,85 \times 30}{420}$$

$$\rho = 0,0002$$

$$\rho_{\min} = \frac{1,4}{f_y}$$

$$\rho_{\min} = \frac{1,4}{420}$$

$$\rho_{\min} = 0,003$$

$$\begin{aligned}\rho_{\max} &= 0,75 \times \frac{0,85 \times \beta \times f}{f} \times \frac{6000}{6000+f_y} \\ &= 0,75 \times \frac{0,85 \times 0,83 \times 420}{420} \times \frac{6000}{6000+420} \\ &= 0,494\end{aligned}$$

Cek syarat rasio tulangan :

$$\rho_{\min} < \rho < \rho_{\max}$$

Karena  $\rho_{\min} > \rho$  maka diambil  $\rho_{\min} = 0,003$

Luas tulangan perlu =  $\rho$  pakai  $b \times d$

$$\begin{aligned}&= 0,003 \times 4800 \times 4320 \\ &= 62208 \text{ m}^2\end{aligned}$$

$$\begin{aligned}\text{Luas tulangan D22} &= \frac{1}{4} \times \pi \times D^2 \\ &= \frac{1}{4} \times 3,14 \times 22^2 \\ &= 379,94 \text{ mm}^2\end{aligned}$$

Jumlah tulangan yang dibutuhkan, yaitu =  $62208/379,94 = 164$   
buah

Jarak antar tulangan

$$S = \frac{b}{n \text{ tulangan}} = \frac{4800}{163} = 30 \text{ mm}$$

Jadi dipakai tulangan D22-30 mm

Tulangan arah Y :

$$M_{UY} = 5,98 \text{ ton}$$

$$\begin{aligned}D &= 0,9 \times \text{lebar} \\ &= 0,9 \times 3000 \\ &= 2700 \text{ mm}\end{aligned}$$

$$\begin{aligned}R_n &= \frac{Mu}{\phi \times 0,85 \times fc \times bx} \\ &= \frac{5,98}{0,83 \times 0,85 \times 30 \times 750}\end{aligned}$$

$$= 0,00037$$

$$\begin{aligned} W_n &= 1 - (\sqrt{1-2xR_n})^{1/2} \\ &= 1 - (\sqrt{1-2 \times 0,00037})^{1/2} \\ &= 0,00019 \end{aligned}$$

$$\begin{aligned} \rho &= \frac{w \times 0,85 \times f_c}{f_v} \\ \rho &= \frac{0,00019 \times 0,85 \times 30}{420} \end{aligned}$$

$$\rho = 0,00011$$

$$\rho_{\min} = \frac{1,4}{f_y}$$

$$\rho_{\min} = \frac{1,4}{420}$$

$$\rho_{\min} = 0,003$$

$$\begin{aligned} \rho_{\max} &= 0,75 \times \frac{0,85 \times \beta \times f}{f} \times \frac{6000}{6000+f_y} \\ &= 0,75 \times \frac{0,85 \times 0,83 \times 420}{420} \times \frac{6000}{6000+420} \\ &= 0,494 \end{aligned}$$

Cek syarat rasio tulangan :

$$\rho_{\min} < \rho < \rho_{\max}$$

Karena  $\rho_{\min} > \rho$  maka diambil  $\rho_{\min} = 0,003$

Luas tulangan perlu =  $\rho$  pakai  $x b \times d$

$$\begin{aligned} &= 0,003 \times 4800 \times 3000 \\ &= 43200 \text{ m}^2 \end{aligned}$$

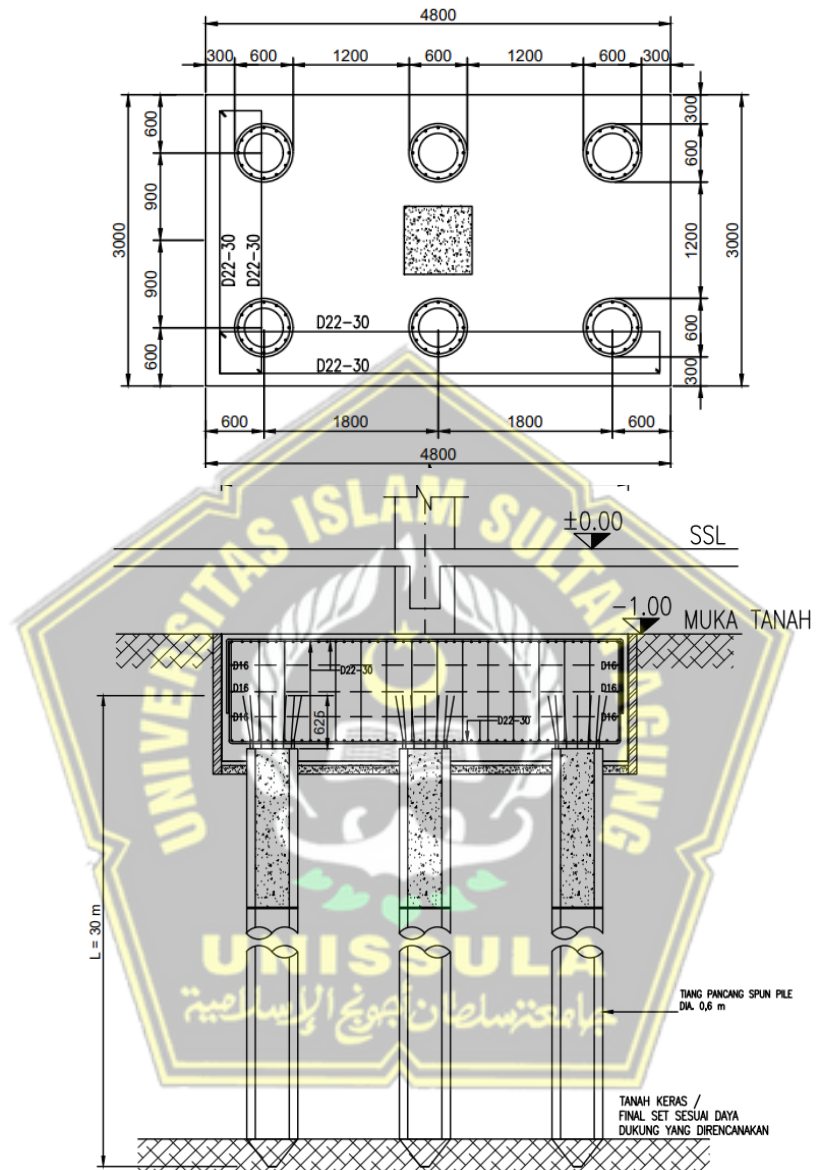
$$\begin{aligned} \text{Luas tulangan D22} &= \frac{1}{4} \times \pi \times D^2 \\ &= \frac{1}{4} \times 3,14 \times 22^2 \\ &= 379,94 \text{ mm}^2 \end{aligned}$$

Jumlah tulangan yang dibutuhkan, yaitu =  $43200 / 379,94 = 113$   
buah

Jarak antar tulangan

$$S = \frac{b}{n \text{ tulangan}} = \frac{3000}{113} = 30 \text{ mm}$$

Jadi dipakai tulangan D22-30 mm



**Gambar 4. 35 Detail Pile Cap PC.6**

**Pada Pile Cap tipe P8**

Direncanakan :

Tebal pile cap = 900 mm

Selimut beton = 50 mm

Diameter tulangan = 22 mm

|                |                            |
|----------------|----------------------------|
| Mux dari ETABS | = 23,26 ton                |
| Muy dari ETABS | = 11,91 ton                |
| Bx             | = 750 mm                   |
| By             | = 750 mm                   |
| Fy             | = 420 MPa                  |
| Fc'            | = 30 MPa                   |
| ϕ              | = 0,8 (untuk momen lentur) |
| β              | = 0,83                     |

Tulangan arah X :

$$Mux = 23,26 \text{ ton} = 232600000 \text{ kg.mm}$$

$$d = 0,9 \times \text{lebar}$$

$$= 0,9 \times 4800$$

$$= 4320 \text{ mm}$$

$$R_n = \frac{Mu}{\phi \times 0,85 \times f_c \times b_x}$$

$$= \frac{23,26}{0,83 \times 0,85 \times 30 \times 750}$$

$$= 0,0015$$

$$W_n = 1 - (\sqrt{1 - 2 \times R_n})^{1/2}$$

$$= 1 - (\sqrt{1 - 2 \times 0,0015})^{1/2}$$

$$= 0,0075$$

$$\rho = \frac{w \times 0,85 \times f_c}{f_v}$$

$$\rho = \frac{0,0075 \times 0,85 \times 30}{420}$$

$$\rho = 0,0005$$

$$\rho_{\min} = \frac{1,4}{f_y}$$

$$\rho_{\min} = \frac{1,4}{420}$$

$$\rho_{\min} = 0,003$$

$$\rho_{\max} = 0,75 \times \frac{0,85 \times \beta \times f}{f} \times \frac{6000}{6000 + f_y}$$

$$= 0,75 \times \frac{0,85 \times 0,83 \times 420}{420} \times \frac{6000}{6000+420}$$

$$= 0,494$$

Cek syarat rasio tulangan :

$$\rho_{\text{min}} < \rho < \rho_{\text{maks}}$$

Karena  $\rho_{\text{min}} > \rho$  maka diambil  $\rho_{\text{min}} = 0,003$

Luas tulangan perlu  $= \rho_{\text{pakai}} \times b \times d$

$$= 0,003 \times 4800 \times 4320$$

$$= 62208 \text{ m}^2$$

$$\begin{aligned} \text{Luas tulangan D22} &= \frac{1}{4} \times \pi \times D^2 \\ &= \frac{1}{4} \times 3,14 \times 22^2 \\ &= 379,94 \text{ mm}^2 \end{aligned}$$

Jumlah tulangan yang dibutuhkan, yaitu  $= 62208/379,94 = 164$  buah

Jarak antar tulangan

$$S = \frac{b}{n \text{ tulangan}} = \frac{4800}{163} = 30 \text{ mm}$$

Jadi dipakai tulangan D22-30 mm

Tulangan arah Y :

$$M_{UY} = 11,91 \text{ ton}$$

$$D = 0,9 \times \text{lebar}$$

$$\begin{aligned} &= 0,9 \times 4800 \\ &= 4320 \text{ mm} \end{aligned}$$

$$\begin{aligned} R_n &= \frac{Mu}{\phi \times 0,85 \times f_c \times b_x} \\ &= \frac{11,91}{0,83 \times 0,85 \times 30 \times 750} \\ &= 0,00073 \end{aligned}$$

$$\begin{aligned} W_n &= 1 - (\sqrt{1-2xR_n})^{1/2} \\ &= 1 - (\sqrt{1-2 \times 0,00073})^{1/2} \\ &= 0,0036 \end{aligned}$$

$$\rho = \frac{w \times 0,85 \, fc}{fv}$$

$$\rho = \frac{0,0036 \times 0,85 \times 30}{420}$$

$$\rho = 0,00022$$

$$\rho_{\text{min}} = \frac{1,4}{fy}$$

$$\rho_{\text{min}} = \frac{1,4}{420}$$

$$\rho_{\text{min}} = 0,003$$

$$\begin{aligned}\rho_{\text{max}} &= 0,75 \times \frac{0,85 \times \beta \times f}{f} \times \frac{6000}{6000+fy} \\ &= 0,75 \times \frac{0,85 \times 0,83 \times 420}{420} \times \frac{6000}{6000+420} \\ &= 0,494\end{aligned}$$

Cek syarat rasio tulangan :

$$\rho_{\text{min}} < \rho < \rho_{\text{maks}}$$

Karena  $\rho_{\text{min}} > \rho$  maka diambil  $\rho_{\text{min}} = 0,003$

$$\begin{aligned}\text{Luas tulangan perlu} &= \rho_{\text{pakai}} \times b \times d \\ &= 0,003 \times 4800 \times 4320 \\ &= 62208 \text{ m}^2\end{aligned}$$

$$\text{Luas tulangan D22} = \frac{1}{4} \times \pi \times D^2$$

$$\begin{aligned}&= \frac{1}{4} \times 3,14 \times 22^2 \\ &= 379,94 \text{ mm}^2\end{aligned}$$

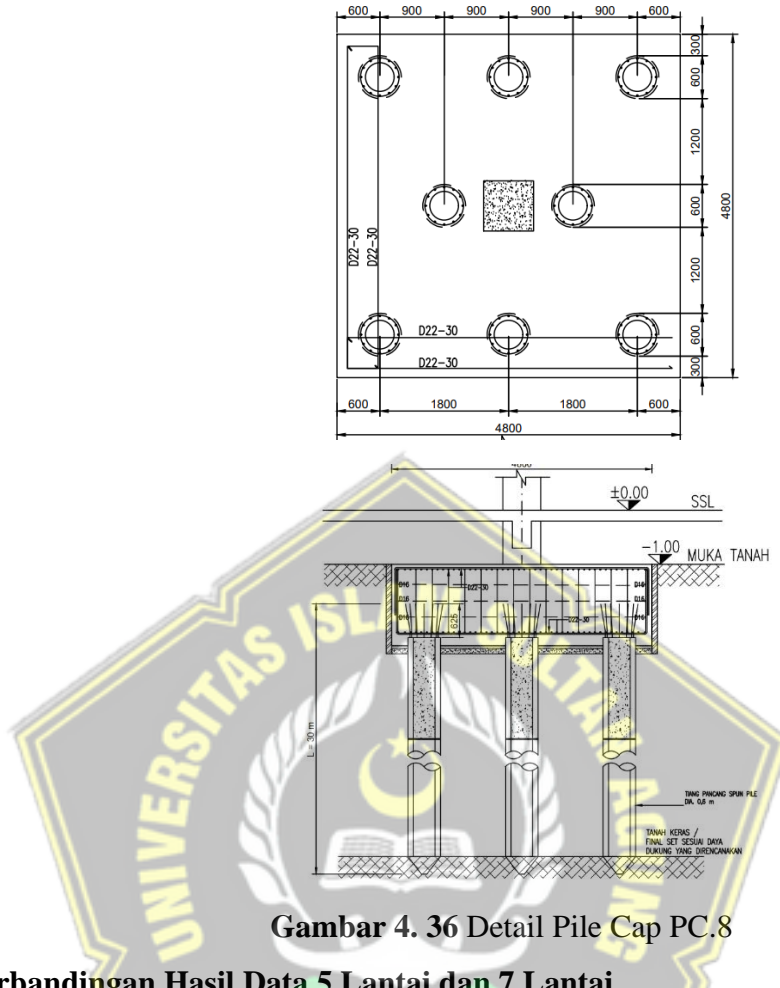
Jumlah tulangan yang dibutuhkan, yaitu =  $62208/379,94 = 163$

buah

Jarak antar tulangan

$$S = \frac{b}{n \text{ tulangan}} = \frac{4800}{163} = 30 \text{ mm}$$

Jadi dipakai tulangan D22-30 mm



Gambar 4. 36 Detail Pile Cap PC.8

#### 4.9 Perbandingan Hasil Data 5 Lantai dan 7 Lantai

**Tabel 4. 10** Perbandingan Hasil Data Struktur 5 Lantai dan 7 Lantai

| Struktur | D    | L   | n    |      |      | P      |         |         |
|----------|------|-----|------|------|------|--------|---------|---------|
|          | (mm) | (m) | Pc 1 | Pc 6 | Pc 8 | Pc 1   | Pc 6    | Pc 8    |
| 5 lantai | 0.6  | 30  | 1    | 6    | 8    | 458.87 | 3014.17 | 3310,79 |
| 7 lantai | 0.6  | 30  | 1    | 8    | 9    | 458.87 | 5582.12 | 6217.57 |

Dari tabel diatas terlihat bahwa terdapat perubahan pada jumlah tiang pancang pada *pile cap* 6 dan 8, yang awalnya pada *pile cap* 6 berisi 6 tiang pancang bertambah menjadi 8 tiang pancang, sedangkan pada *pile cap* 8 bertambah menjadi 9 tiang pancang. Kemudian pada beban P juga menjadi bertambah lebih besar.

## BAB V

### KESIMPULAN DAN SARAN

#### 5.1 Kesimpulan

Berdasarkan hasil perhitungan yang didapatkan dalam analisa fondasi tiang pancang pada Proyek Pembangunan Gedung Kelas Politeknik Pekerjaan Umum Semarang dengan menggunakan metode manual serta menggunakan *software* dapat disimpulkan sebagai berikut :

1. Berdasarkan hasil pembebanan struktur atas menggunakan ETABS, pada *pilecap* 1, *pilecap* 6, dan *pilecap* 8 didapatkan beban sebesar  $P_1 : 574,899 \text{ kN}$ ,  $P_6 : 1686,811 \text{ kN}$ , dan  $P_8 : 3397,474 \text{ kN}$ .
2. Berdasarkan hasil perhitungan nilai daya dukung fondasi tiang pancang yang dihitung manual menggunakan metode Resse & Wright karena memiliki nilai terkecil agar aman untuk dijadikan acuan pada perhitungan berikutnya. Diperoleh nilai daya dukung  $Q_p : 356,08 \text{ kN}$ ,  $Q_s : 1397,78 \text{ kN}$ ,  $Q_{ult} : 1753,9 \text{ kN}$ , dan  $Q_{all} : 584,62 \text{ kN}$ .
3. Berdasarkan hasil perhitungan nilai penurunan fondasi yang dihitung dengan manual dan menggunakan aplikasi dipilih nilai yang terkecil yaitu pada analisis menggunakan *software* Allpile. Dengan diperoleh nilai angka penurunan sebesar  $P_1 : 0,14 \text{ cm}$ ,  $P_6 : 1,96 \text{ cm}$ , dan  $P_8 : 1,24 \text{ cm}$ . sehingga besarnya angka penurunan tersebut dapat disimpulkan bahwa perhitungan aman.

## **5.2 Saran**

Dari penyusunan tugas akhir yang dilakukan, berikut saran yang harus dilakukan untuk ke depannya :

- a. Dalam perencanaan dan perhitungan fondasi diperlukan adanya pengalaman serta keahlian dalam mengambil keputusan, sehingga akan memperoleh hasil perencanaan yang baik dan sesuai dengan standart konstruksi yang ada di Indonesia.
- b. Diperlukan kesesuaian dengan kondisi lapangan dalam melakukan perhitungan dan juga perencanaan fondasi, dalam hal ini perhitungan manual dan perhitungan menggunakan software, sehingga menghasilkan perencanaan yang sesuai.



## DAFTAR PUSTAKA

- Agnes Dwiyanti Winoto. 2017. *Merencanakan Fondasi Bangunan*. Surakarya: Taka Publisher.
- Anugrah Pamungkas & Erny Harianti. 2013. *Desain Pondasi Tahan Gempa*. yogyakarta: ANDI.
- Badan Standarisasi Nasional Indonesia. 2019. “SNI 2847-2019 : Persyaratan Beton Struktural untuk Bangunan Gedung.” *Standar Nasional Indonesia* (8):720.
- Bowless, J. E. 1997. *Analisis Dan Desain Fondasi Jilid 2*. Jakarta: Erlangga.
- Broms. 1964. “Lateral Resistance of Piles in Cohesionless Soil.”
- Das, Bradja. M. 2011. *No Title*. Jakarta: Erlangga.
- Hardiyatmo, Hary Christady. 2018. *Analisis dan Perancangan Fondasi*. yogyakarta: Gadjah Mada University Press.
- Iin Oktaviani, Asmaheni. 1997. “Studi Komparasi Kapasitas Dukung Pondasi Tiang Pancang Antara metode Meyerhof dengan Metode Tomlinson.”
- L.D. Wesley. 1972. *Mekanika Tanah*. yogyakarta: ANDI.
- Mayerhof. 1965. “Shallow Foundation.” *Journal of the Soil Mechanics and Foundations Division*.
- Reese, L.C. & Wright, S. ... 1977. *Drilled Shaft Design and Construction Guidelines Manual, Vol.I*. Washington D.C: U.S Department of Transportation.
- Sni 1726:2019. 2019. “Sni 1726:2019.” *Tata Cara Perencanaan Ketahanan Gempa Untuk Struktur Bangunan Gedung dan Non Gedung* (8):254.
- Sosrodarsono. 1990. *Mekanika Tanah dan Teknik Pondasi*. Jakarta: PT Pradnya Paramita.
- Vesic. 1977. “Design Of Pile Foundations.” *Transportation Research Board National Academy Of Sciences*.